

# **Camada equivalente aplicada ao processamento e interpretação de dados de campos potenciais**

Vanderlei C. Oliveira Jr.

2016



**Observatório  
Nacional**



# Anomalia de Campo Total (parte A)

Vanderlei C. Oliveira Jr.

2016



Observatório  
Nacional



A técnica da camada equivalente pode  
ser aplicada pra processar e  
interpretar anomalias de campo total

A técnica da camada equivalente pode  
ser aplicada pra processar e  
interpretar anomalias de campo total

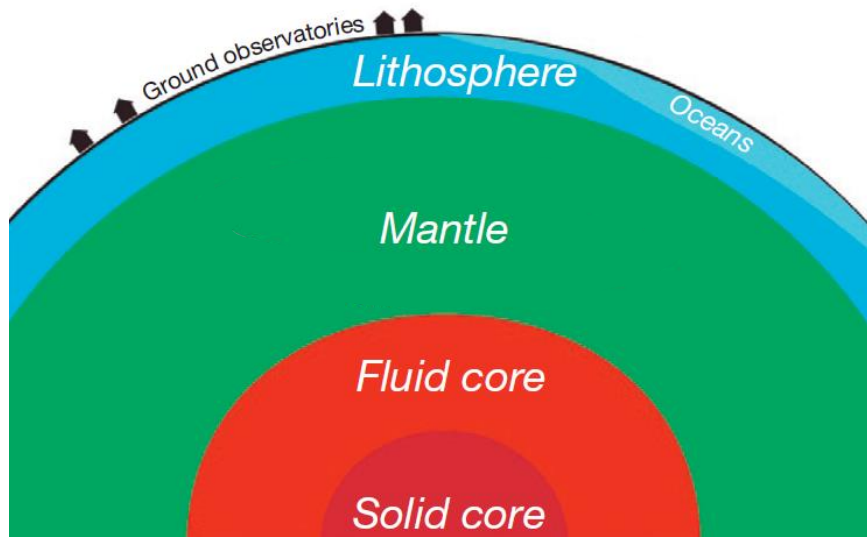
Nesse sentido, é preciso definir o que  
é uma anomalia de campo total

Para tanto, é importante definirmos alguns elementos da estrutura interna da Terra e também do campo magnético terrestre ou **campo geomagnético**

Para tanto, é importante definirmos alguns elementos da estrutura interna da Terra e também do campo magnético terrestre ou **campo geomagnético**

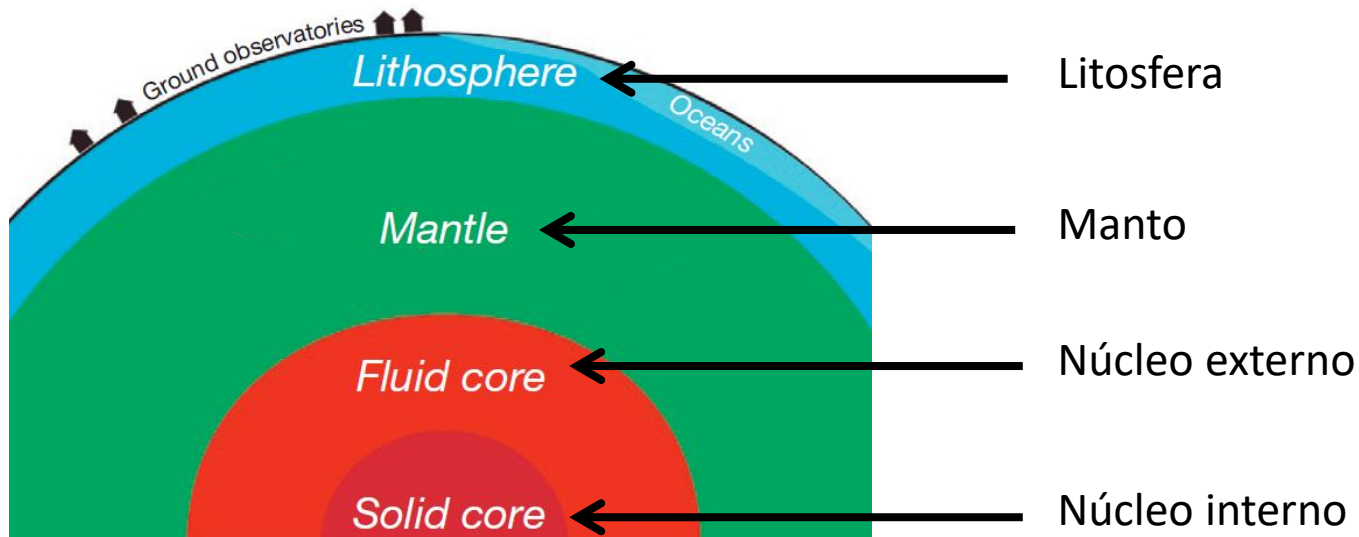
Além disso, também é importante ressaltar que o campo geomagnético é produzido por apenas dois tipos de **fontes: rochas magnetizadas e correntes elétricas**

# Representação simplificada da estrutura interna da Terra



Modificado de Hulot et al. (2015)

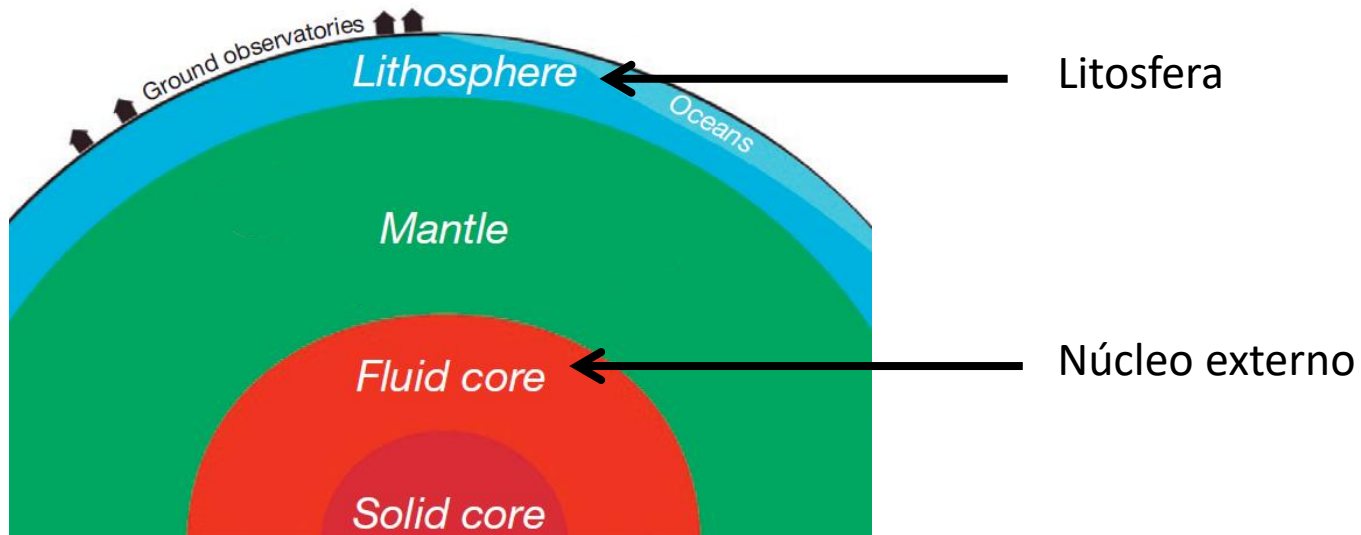
## Representação simplificada da estrutura interna da Terra



Modificado de Hulot et al. (2015)

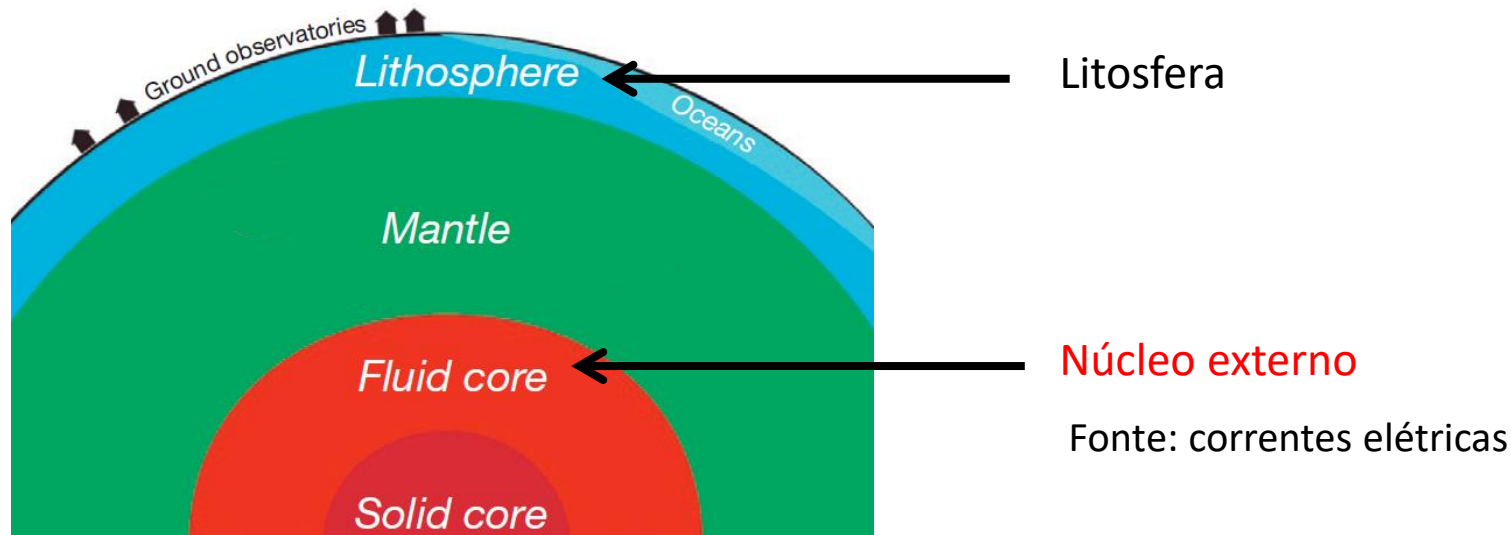


Importantes fontes do  
campo geomagnético  
estão na litosfera e no  
núcleo externo



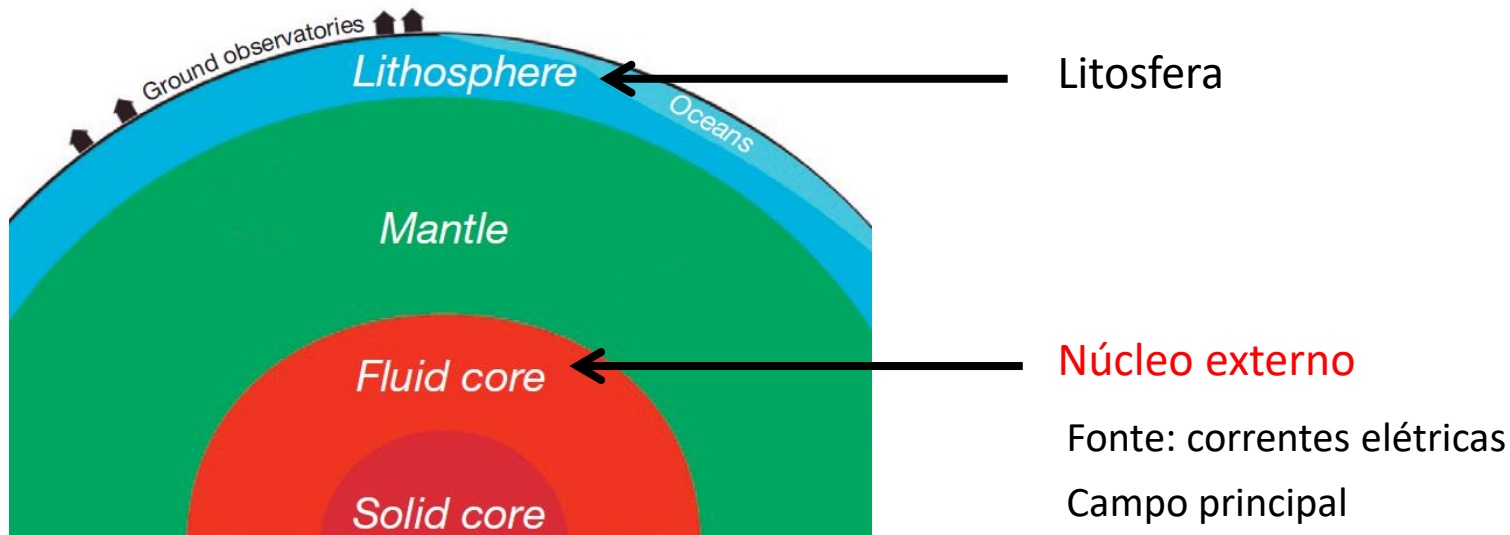
Modificado de Hulot et al. (2015)

De acordo com a teoria mais aceita pela comunidade geofísica, a principal fonte do campo geomagnético (responsável por mais de 95% do campo) são as **correntes elétricas** provenientes do movimento do **núcleo externo**, que é líquido e contém ferro e níquel.



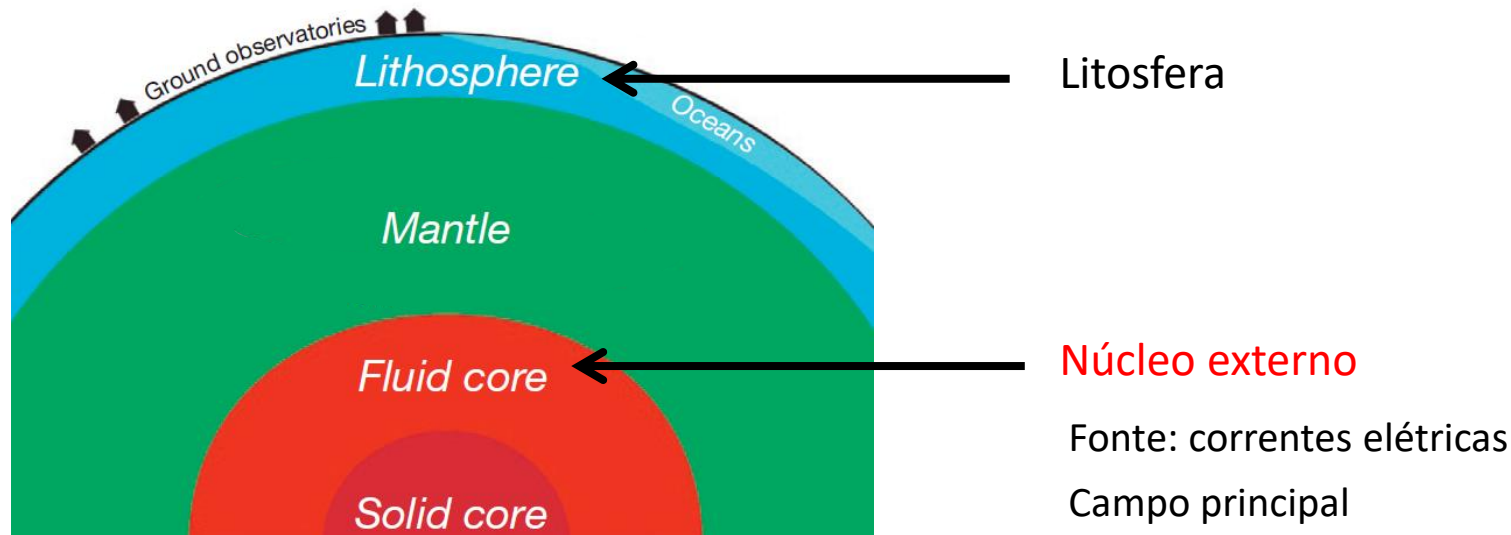
Modificado de Hulot et al. (2015)

O campo produzido por estas fontes é denominado **campo principal** (Langel e Hinze, 1998; Hulot et al., 2015).



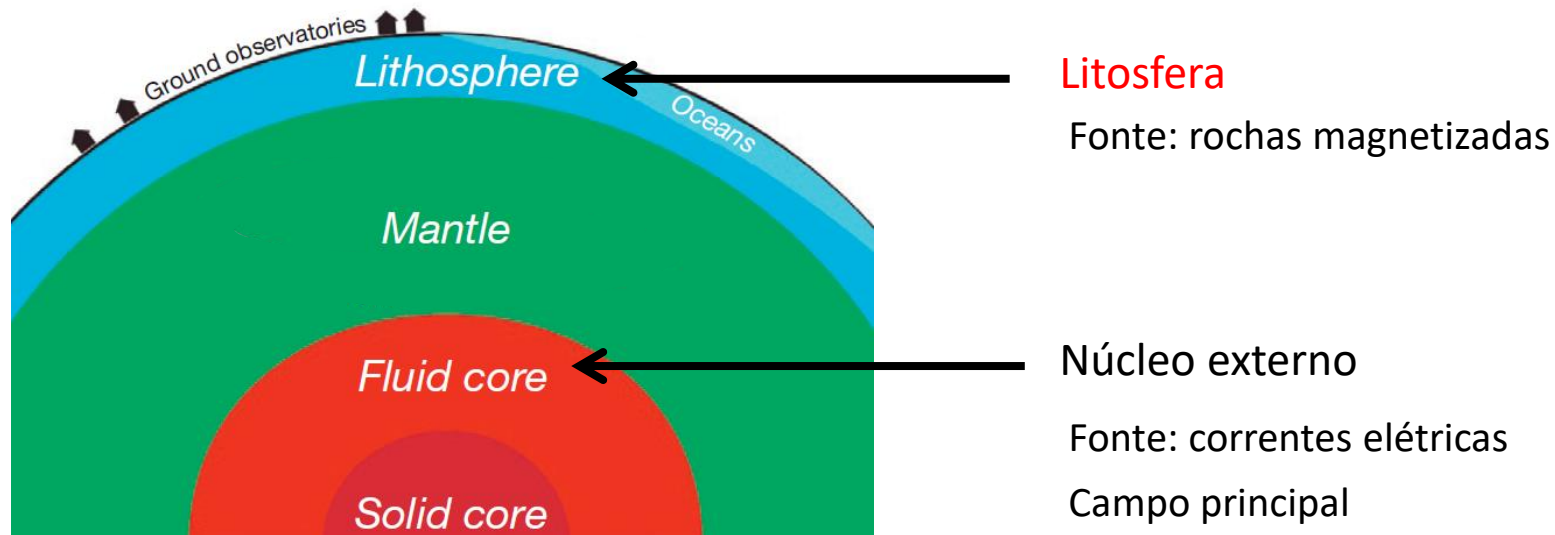
Modificado de Hulot et al. (2015)

Este campo é predominantemente dipolar (já já veremos o que isso quer dizer), suas variações temporais são da ordem de anos e sua amplitude varia de  $\approx 22\,600$  nT, sobre a anomalia magnética do Atlântico Sul, até  $\approx 66\,670$  nT, próximo ao pólo sul (Hulot et al., 2015).



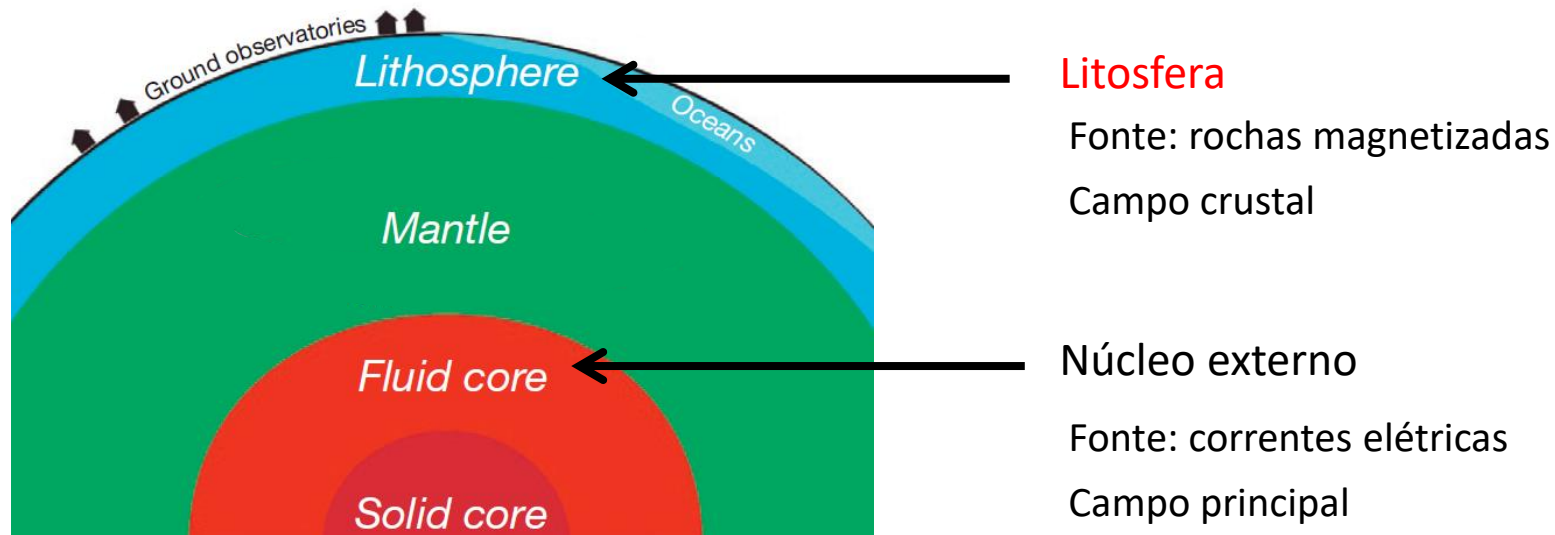
Modificado de Hulot et al. (2015)

As fontes presentes na **litosfera** são **rochas magnetizadas**. Estas rochas se mantêm magnetizadas porque estão abaixo de suas respectivas temperaturas de Curie.



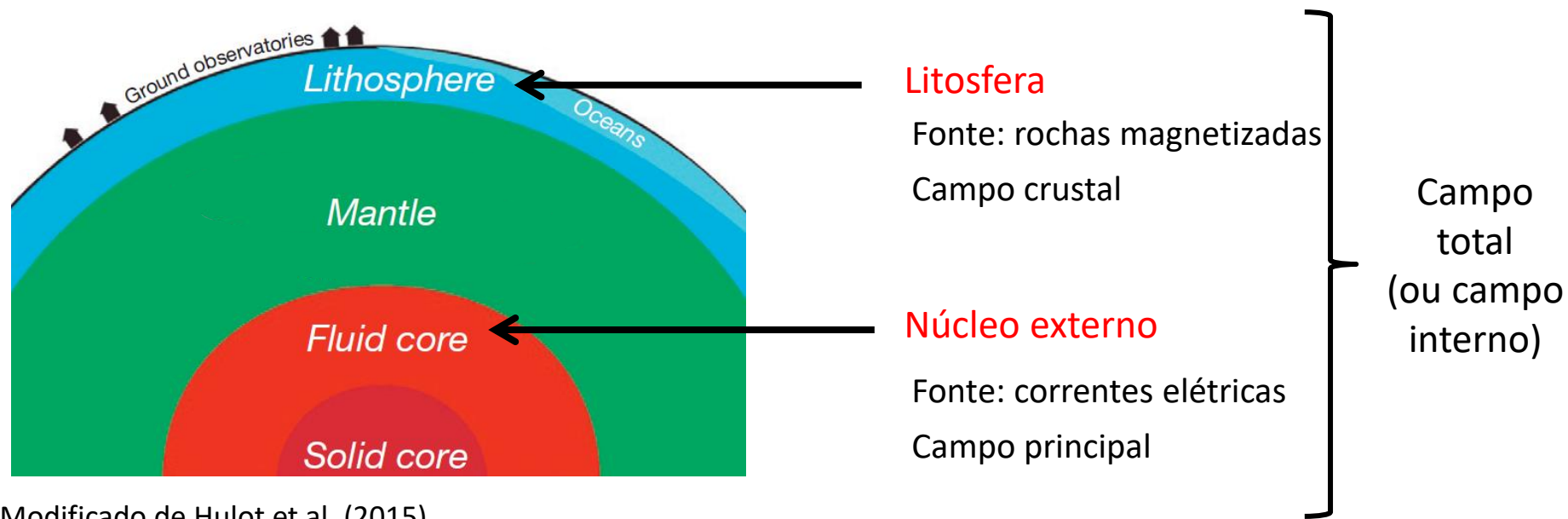
Modificado de Hulot et al. (2015)

O campo produzido por estas fontes é denominado **campo crustal** (Langel e Hinze, 1998; Hulot et al., 2015) e representa a principal componente do campo geomagnético para estudos de geofísica aplicada (Blakely, 1996; Nabighian et al., 2005).



Modificado de Hulot et al. (2015)

Em geomagnetismo, a soma dos campos crustal e principal é denominada **campo interno** (Langel e Hinze, 1998; Hulot et al., 2015). Já em geofísica aplicada, é denominada **campo total** (Blakely, 1996; Nabighian et al., 2005).



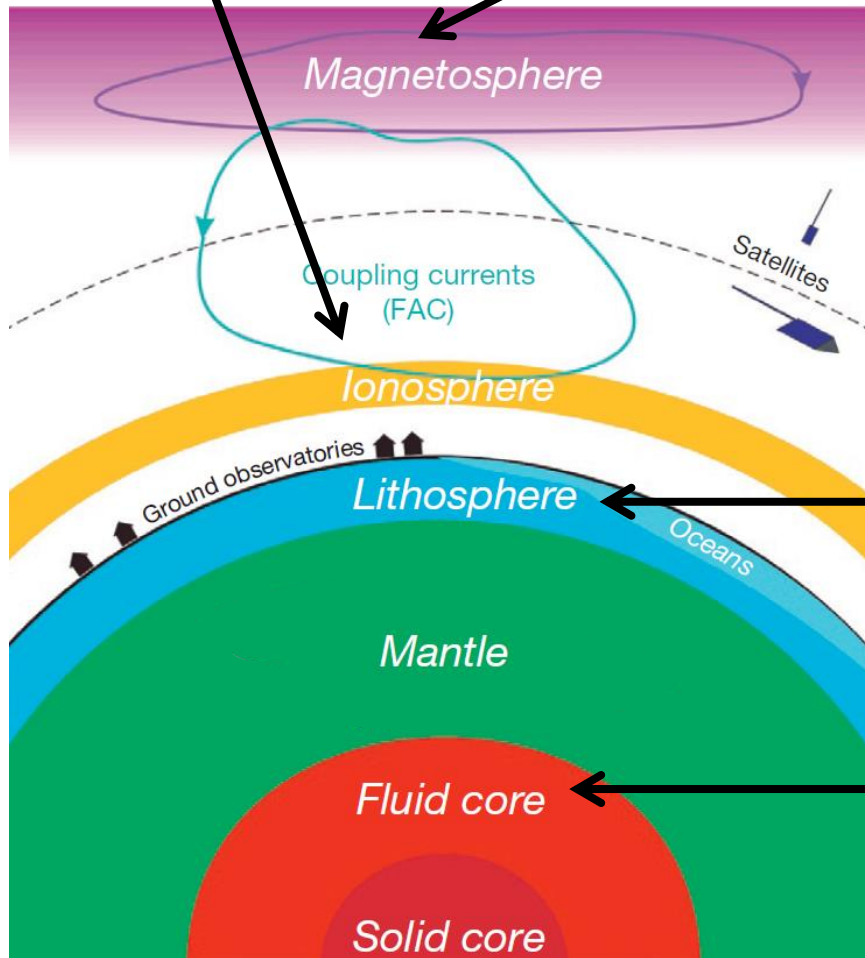
Modificado de Hulot et al. (2015)

Fonte: correntes elétricas

Fonte: correntes elétricas

**Ionosfera**

**Magnetosfera**



Outras fontes do campo geomagnético são correntes elétricas provenientes do movimento de partículas carregadas na **magnetosfera** e **ionosfera**.

Litosfera

Fonte: rochas magnetizadas

Campo crustal

Núcleo externo

Fonte: correntes elétricas

Campo principal

Campo total  
(ou campo interno)

Modificado de Hulot et al. (2015)



Campo ionosférico

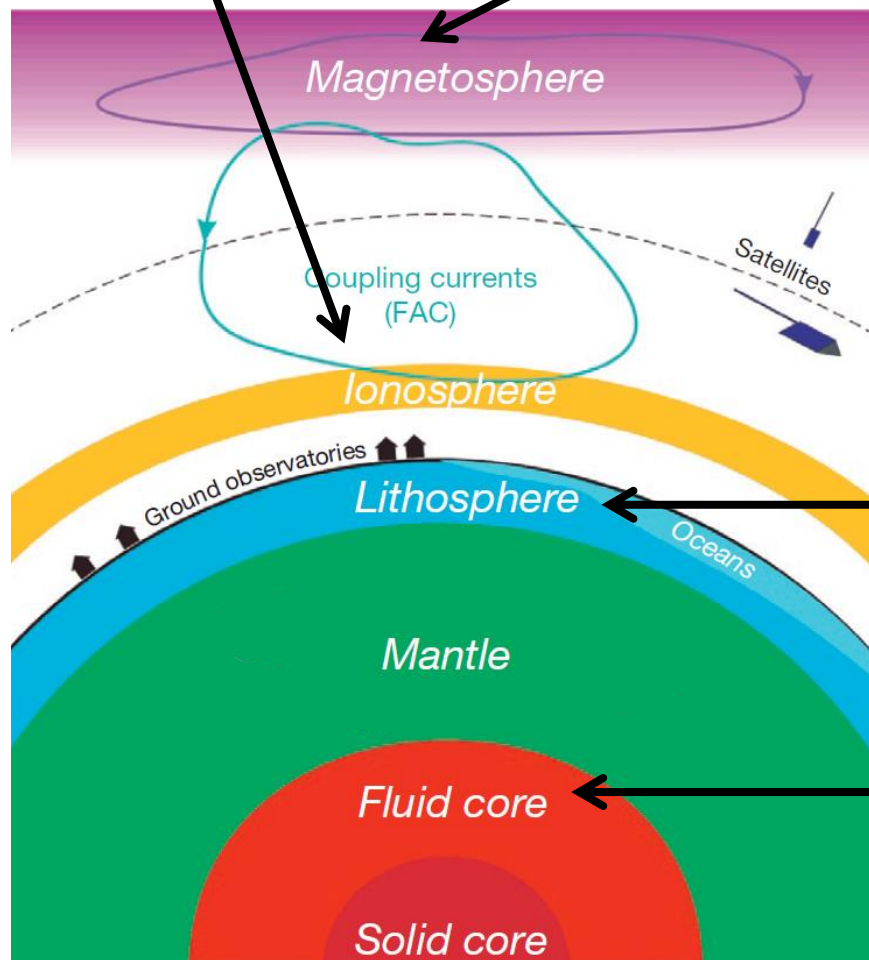
Fonte: correntes elétricas

Campo magnetosférico

Fonte: correntes elétricas

**Ionosfera**

**Magnetosfera**



Os campos produzidos por estas fontes são denominados, respectivamente, **campo magnetosférico** e **campo ionosférico** (Langel e Hinze, 1998; Hulot et al., 2015).

Litosfera

Fonte: rochas magnetizadas

Campo crustal

Núcleo externo

Fonte: correntes elétricas

Campo principal

Campo total  
(ou campo interno)

Modificado de Hulot et al. (2015)

Campo ionosférico

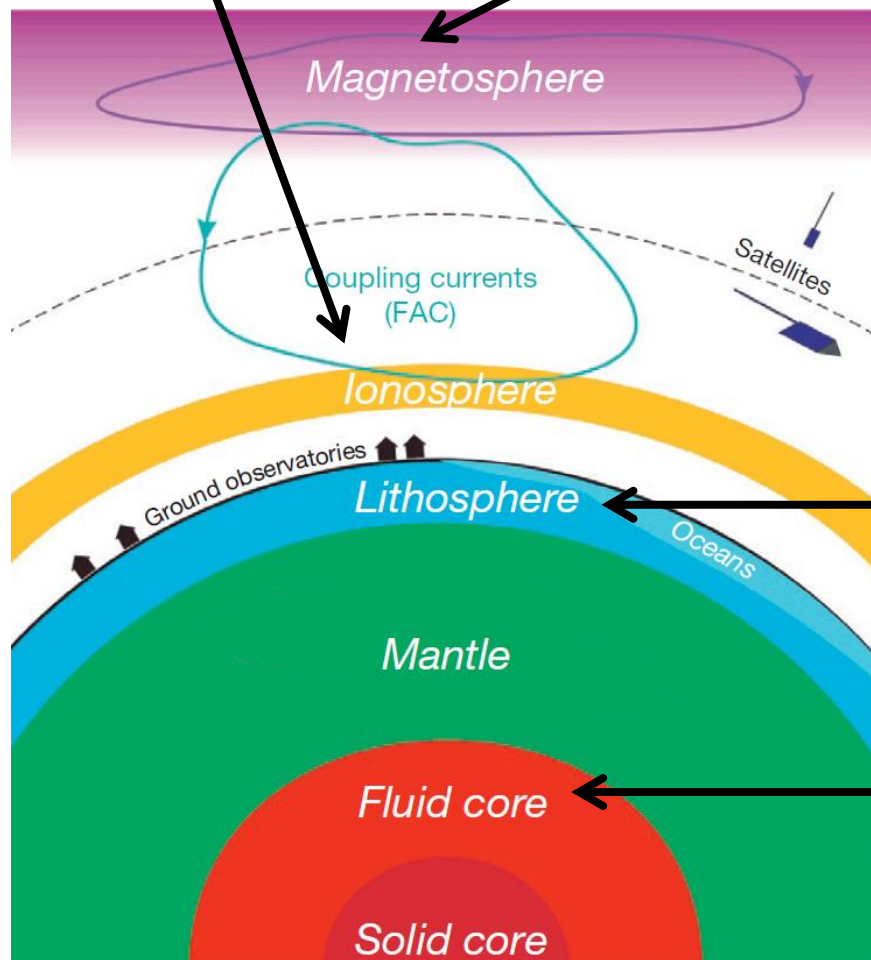
Fonte: correntes elétricas

Campo magnetosférico

Fonte: correntes elétricas

**Ionosfera**

**Magnetosfera**



Embora os processos físicos que controlam os sistemas de correntes elétricas nestas duas regiões sejam distintos, eles estão acoplados.

**Litosfera**

Fonte: rochas magnetizadas

Campo crustal

**Núcleo externo**

Fonte: correntes elétricas

Campo principal

Campo total  
(ou campo interno)

Modificado de Hulot et al. (2015)

Campo ionosférico

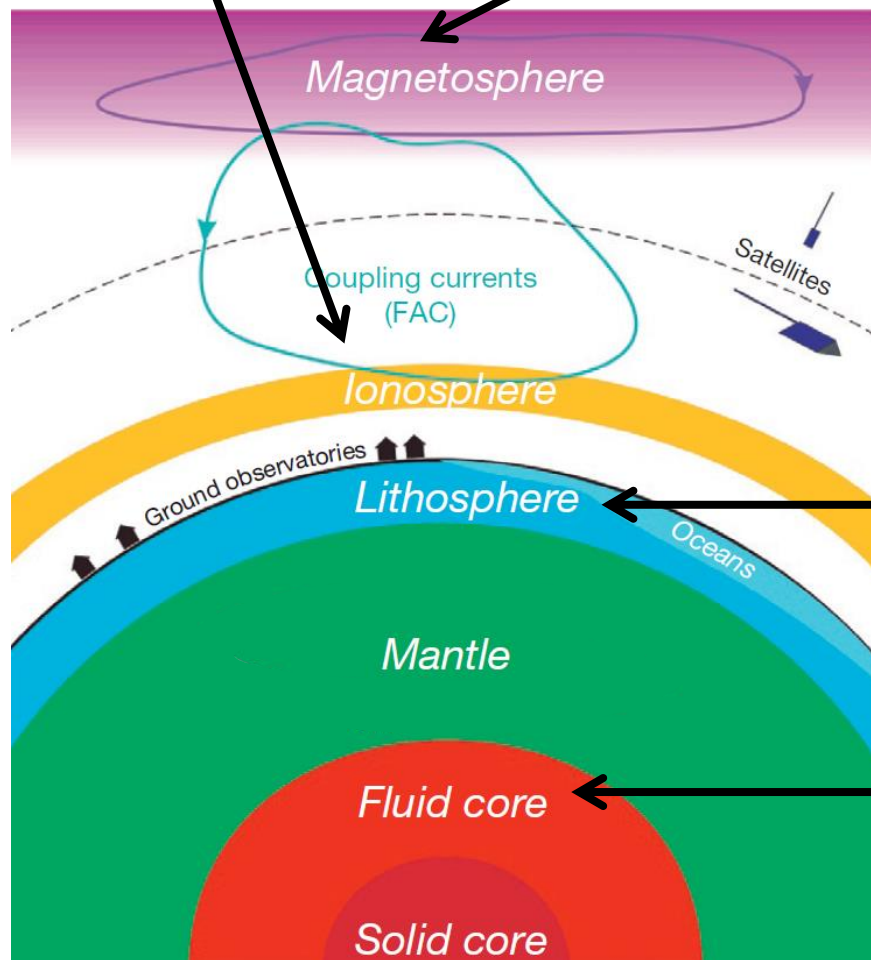
Fonte: correntes elétricas

Campo magnetosférico

Fonte: correntes elétricas

Ionosfera

Magnetosfera



As variações temporais destes campos vão de frações de segundo até dias e as variações da amplitude vão de dezenas até milhares de nanotesla.

Litosfera

Fonte: rochas magnetizadas

Campo crustal

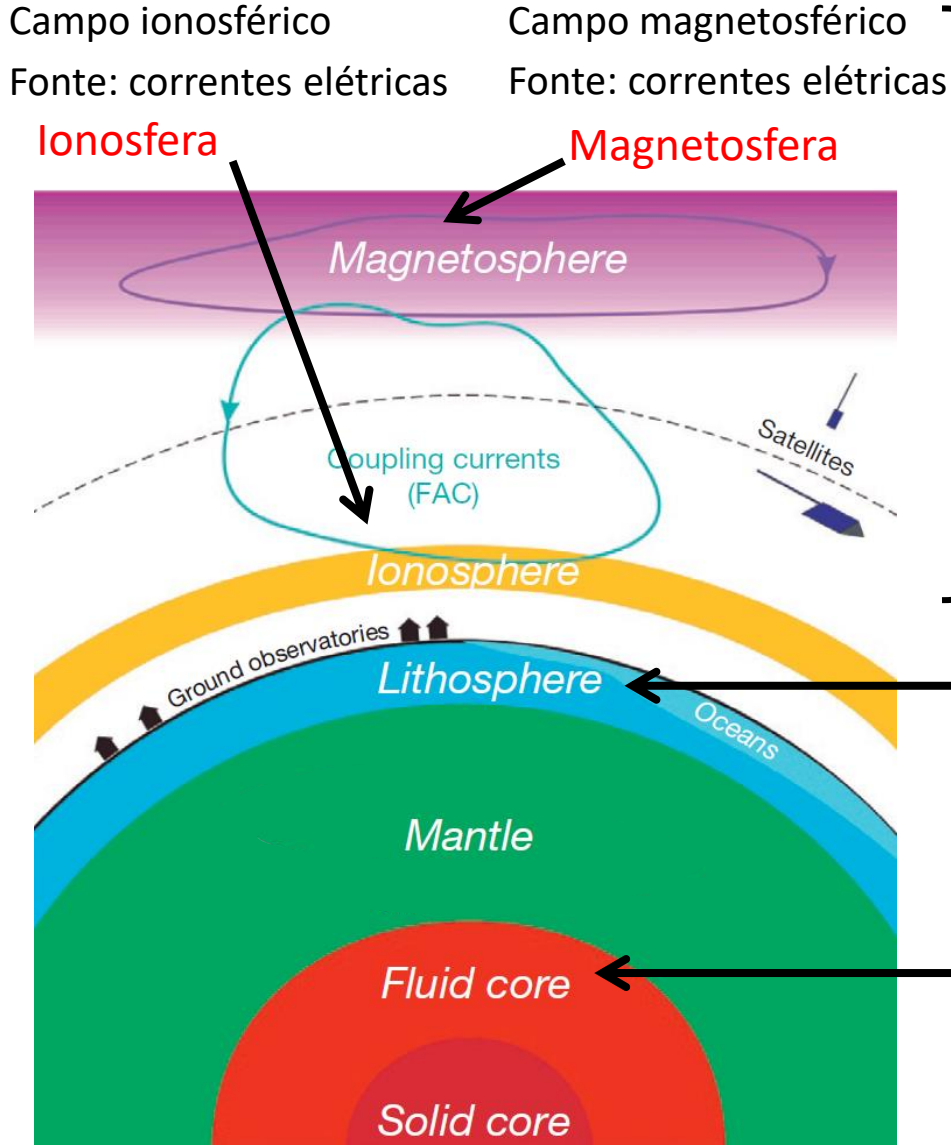
Núcleo externo

Fonte: correntes elétricas

Campo principal

Campo total  
(ou campo interno)

Modificado de Hulot et al. (2015)



O campo resultante produzido por estas fontes é denominado **campo externo** (Langel e Hinze, 1998; Hulot et al., 2015).

**Litosfera**  
Fonte: rochas magnetizadas  
Campo crustal

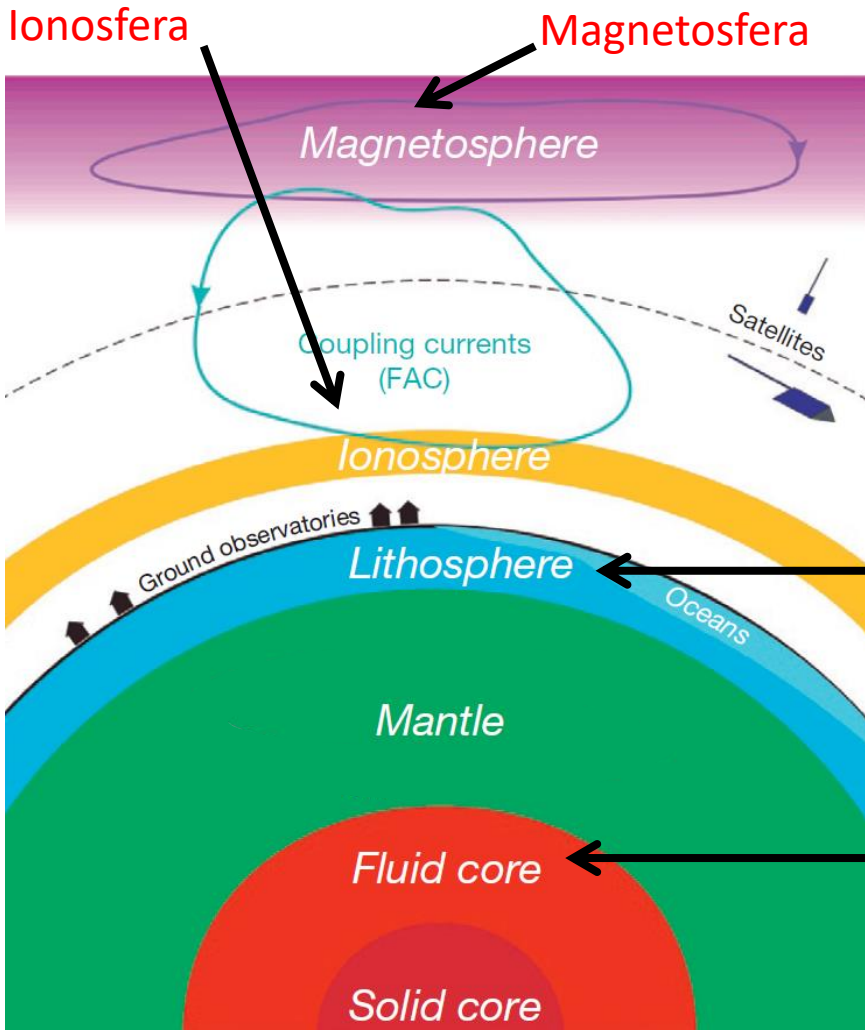
**Núcleo externo**  
Fonte: correntes elétricas  
Campo principal

Campo total  
(ou campo interno)

Modificado de Hulot et al. (2015)

Campo ionosférico  
Fonte: correntes elétricas

Campo magnetosférico  
Fonte: correntes elétricas



Campo externo

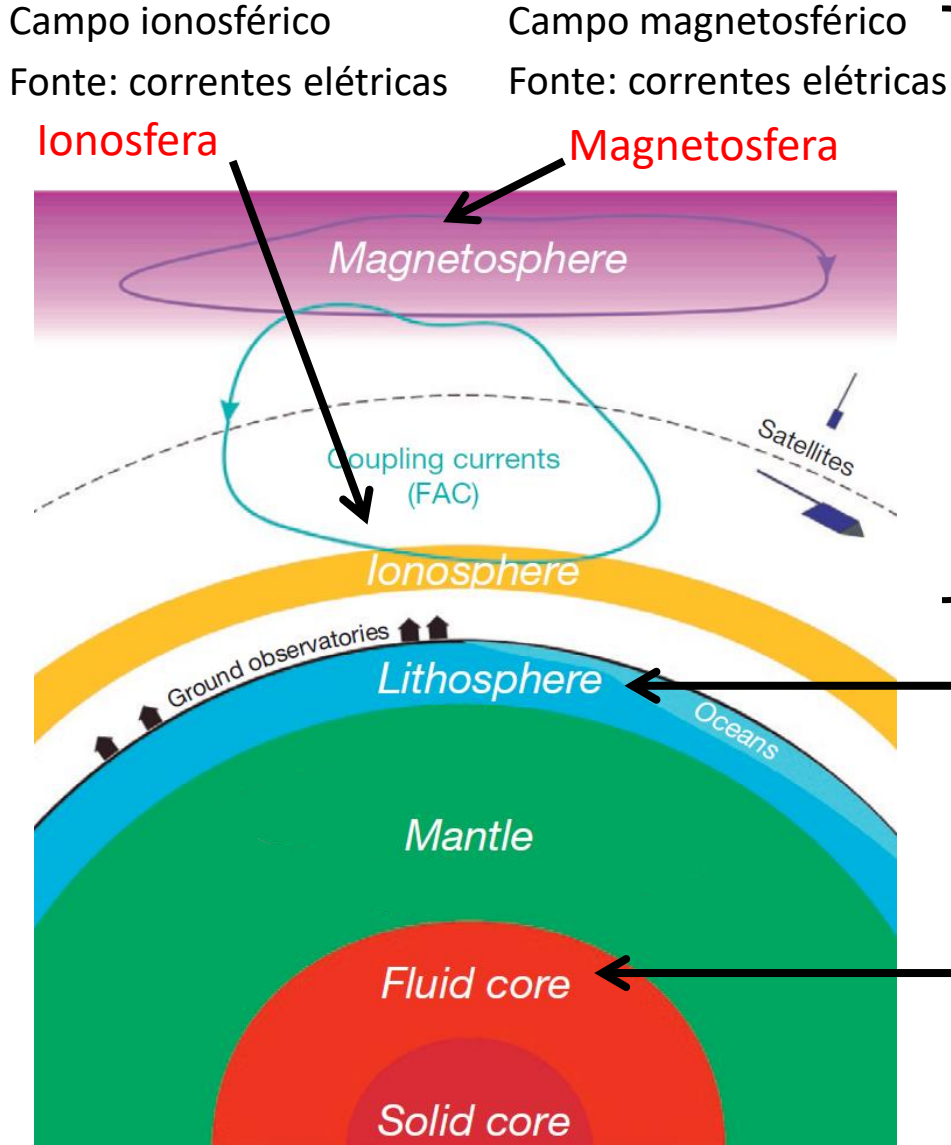
À grosso modo, dias em que o campo externo atinge amplitudes baixas (dezenas de nanotesla) são considerados **dias magneticamente calmos**.

Litosfera  
Fonte: rochas magnetizadas  
Campo crustal

Núcleo externo  
Fonte: correntes elétricas  
Campo principal

Campo total  
(ou campo interno)

Modificado de Hulot et al. (2015)



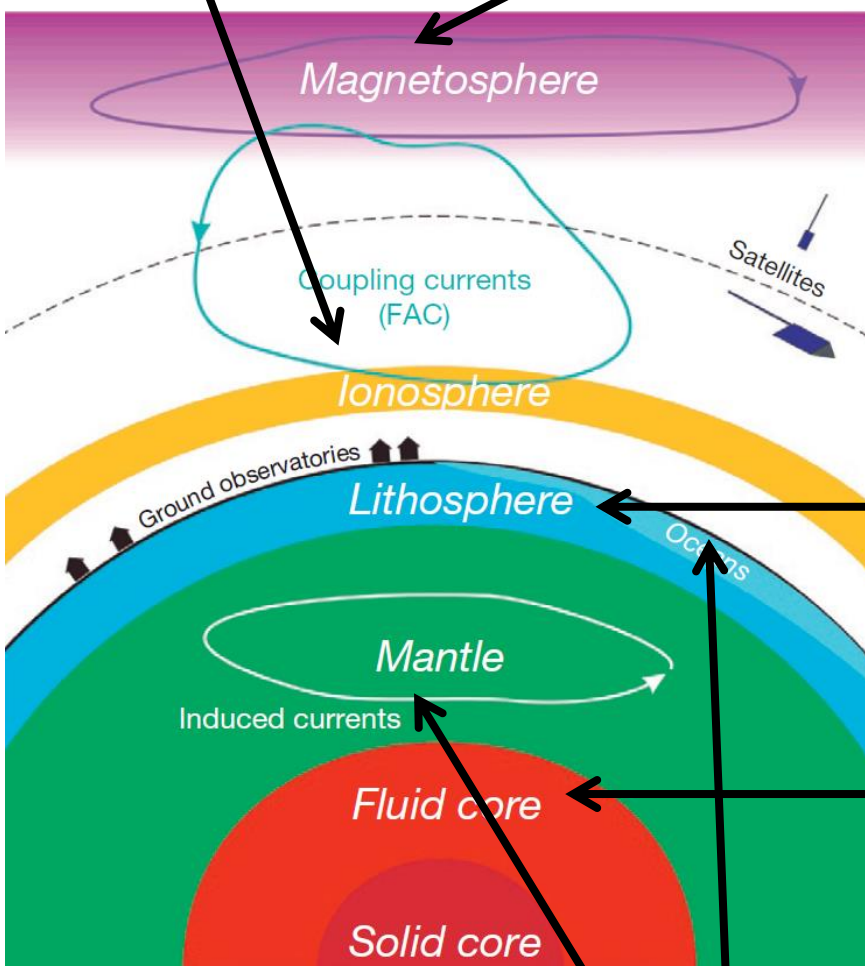
Por outro lado, dias em que o campo externo atinge amplitudes altas (milhares de nanotesla) são considerados **dias magneticamente perturbados**.

Modificado de Hulot et al. (2015)



Campo ionosférico  
Fonte: correntes elétricas

Campo magnetosférico  
Fonte: correntes elétricas



Campo externo

Por fim, outras fontes do campo geomagnético são correntes elétricas induzidas na crosta, manto e oceanos. Estas correntes são produzidas por variações temporais do campo geomagnético.

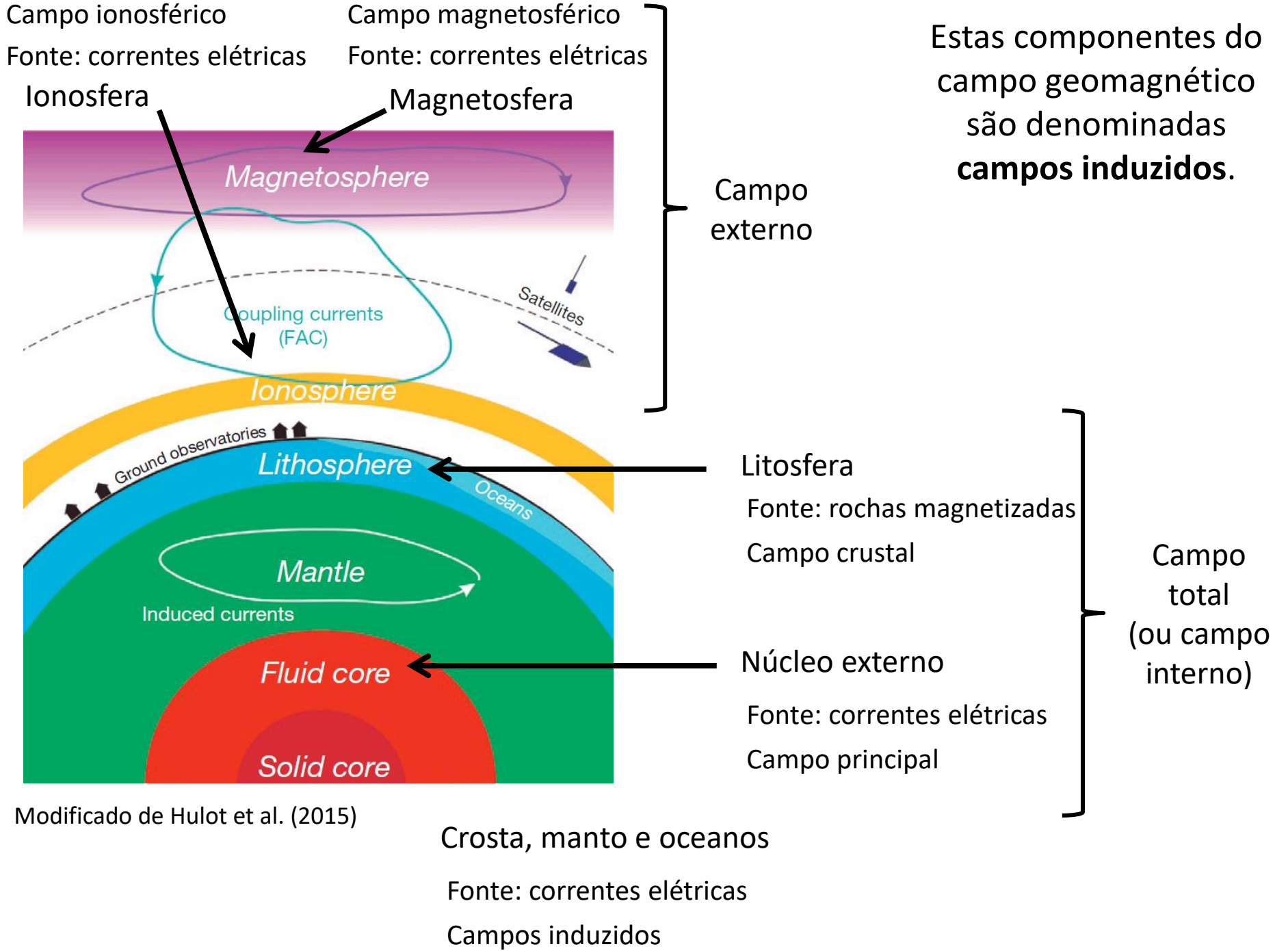
Litosfera  
Fonte: rochas magnetizadas  
Campo crustal

Núcleo externo  
Fonte: correntes elétricas  
Campo principal

Campo total  
(ou campo interno)

Crosta, manto e oceanos  
Fonte: correntes elétricas

Modificado de Hulot et al. (2015)

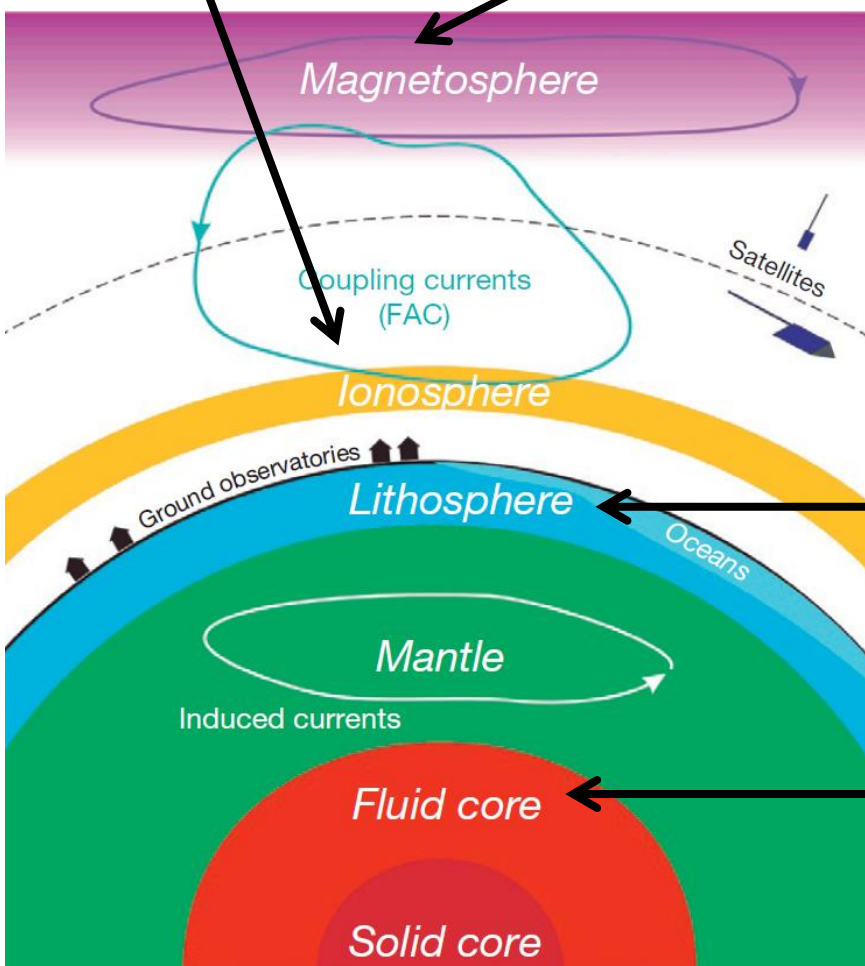


Modificado de Hulot et al. (2015)



Campo ionosférico  
Fonte: correntes elétricas

Campo magnetosférico  
Fonte: correntes elétricas



Campo externo

Estes campos, sobretudo a parcela produzida por variações temporais do campo externo, podem atingir amplitudes significativas. Contudo, sempre menores que as observadas para o campo externo.

Litosfera  
Fonte: rochas magnetizadas  
Campo crustal

Núcleo externo  
Fonte: correntes elétricas  
Campo principal

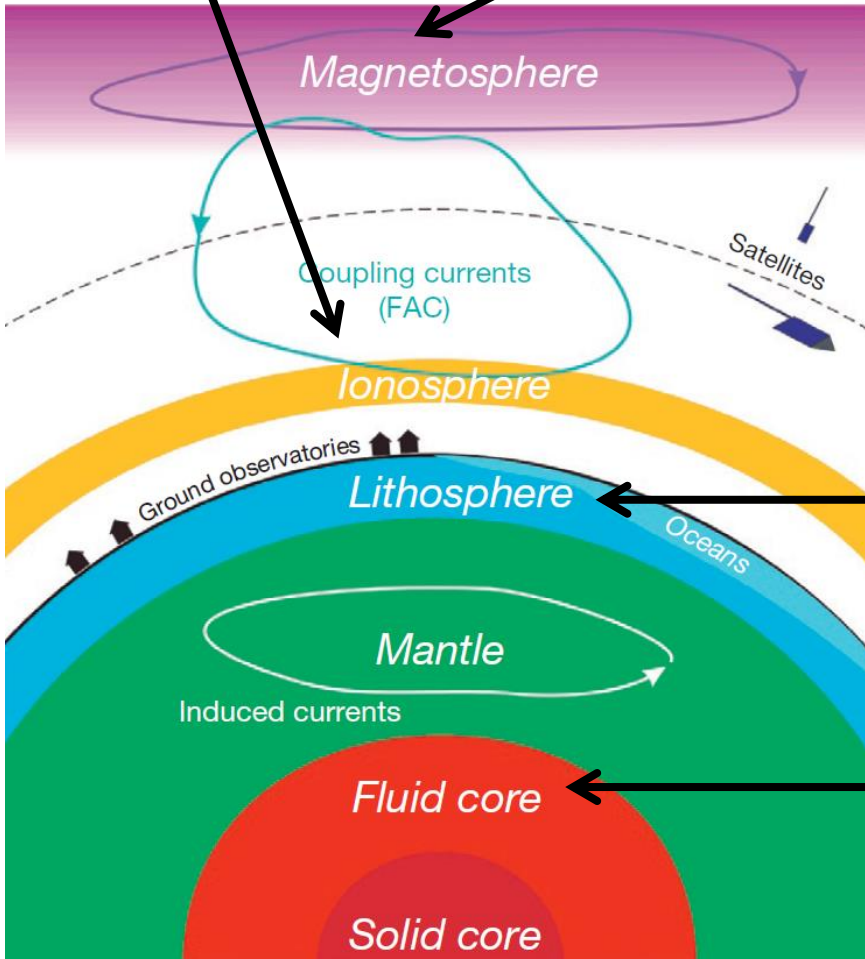
Campo total  
(ou campo interno)

Modificado de Hulot et al. (2015)

Crosta, manto e oceanos  
Fonte: correntes elétricas  
Campos induzidos

Campo ionosférico  
Fonte: correntes elétricas

Campo magnetosférico  
Fonte: correntes elétricas



Campo  
externo

Em resumo...

Litosfera  
Fonte: rochas magnetizadas  
Campo crustal

Núcleo externo  
Fonte: correntes elétricas  
Campo principal

Campo  
total  
(ou campo  
interno)

Modificado de Hulot et al. (2015)

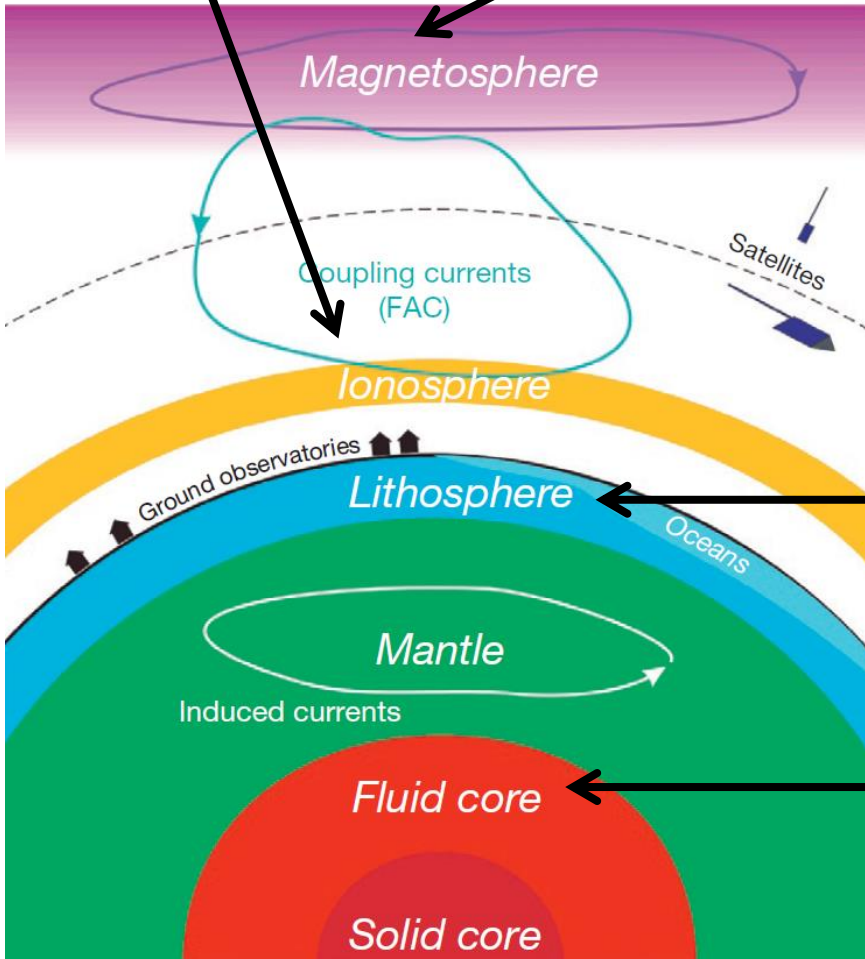
Crosta, manto e oceanos  
Fonte: correntes elétricas  
Campos induzidos

Campo ionosférico  
Fonte: correntes elétricas

Campo magnetosférico  
Fonte: correntes elétricas

Ionosfera

Magnetosfera



Campo externo

Em resumo...

Litosfera  
Fonte: rochas magnetizadas

Campo crustal

Núcleo externo  
Fonte: correntes elétricas

Campo principal

Campo total  
(ou campo interno)

Modificado de Hulot et al. (2015)

Crosta, manto e oceanos  
Fonte: correntes elétricas  
Campos induzidos

## Campo ionosférico

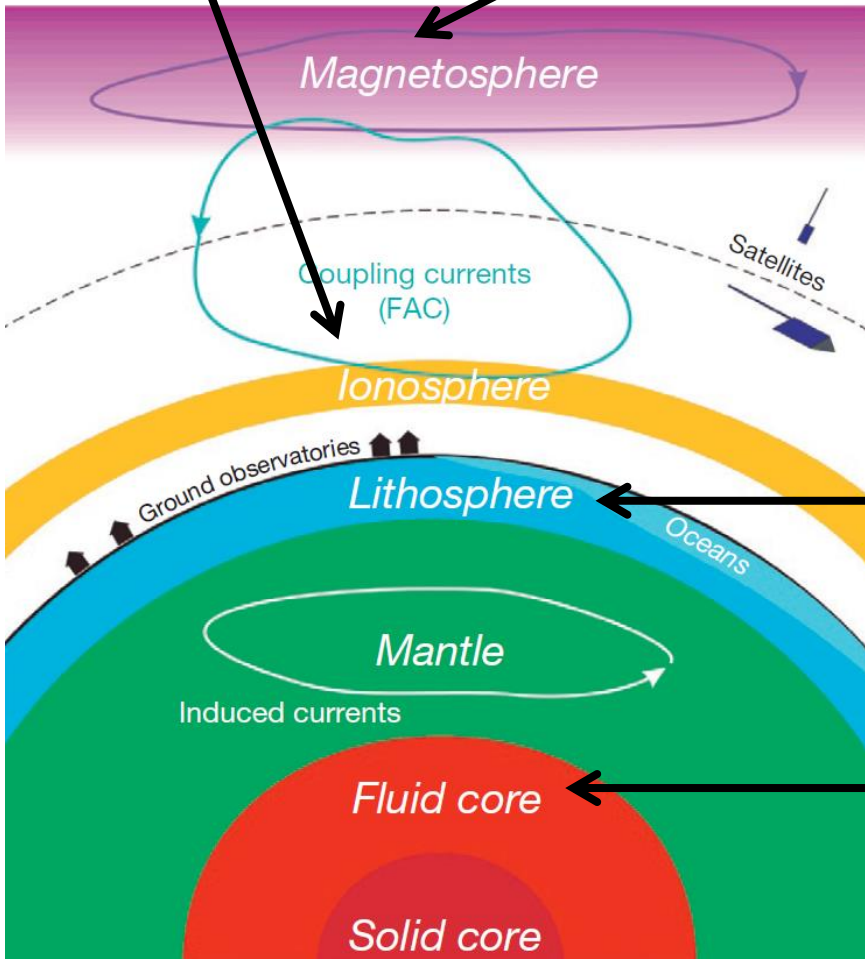
Fonte: correntes elétricas

## Campo magnetosférico

Fonte: correntes elétricas

Ionosfera

Magnetosfera



Campo  
externo

Em resumo...

Litosfera

Fonte: rochas magnetizadas

Campo crustal

Núcleo externo

Fonte: correntes elétricas

Campo principal

Campo  
total  
(ou campo  
interno)

Modificado de Hulot et al. (2015)

Crosta, manto e oceanos

Fonte: correntes elétricas

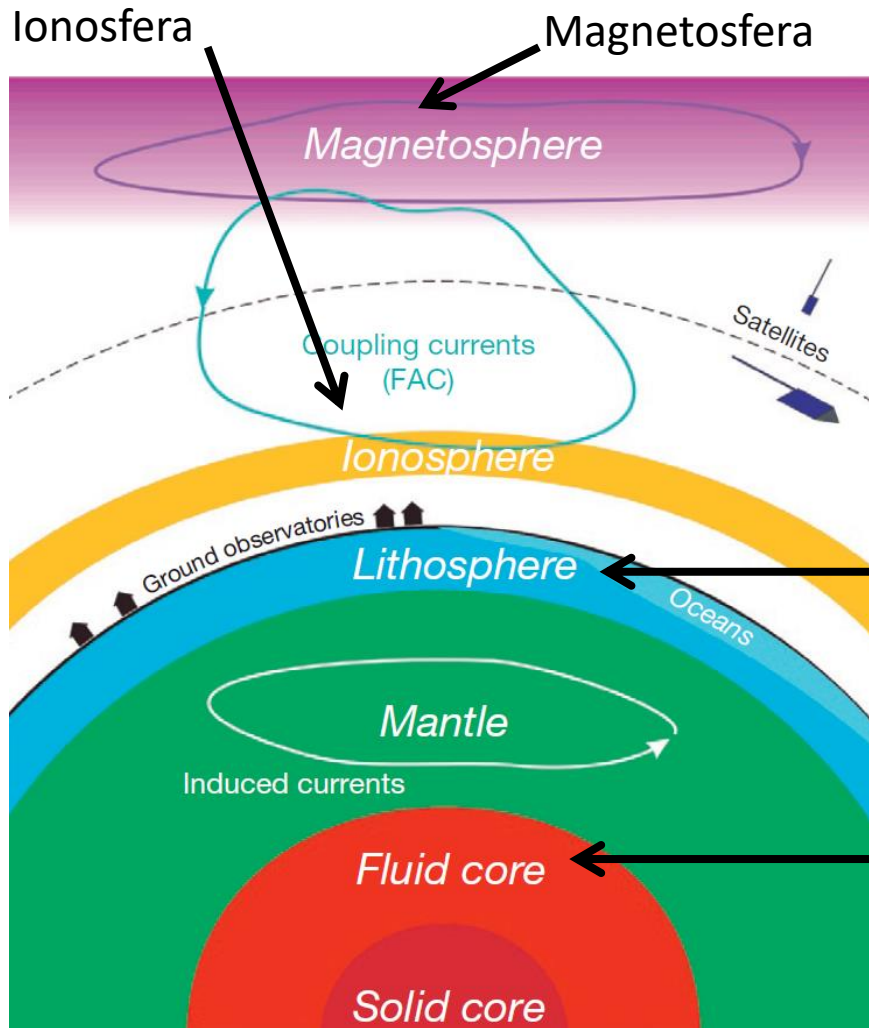
Campos induzidos

## Campo ionosférico

Fonte: correntes elétricas

## Campo magnetosférico

Fonte: correntes elétricas



## Campo externo

Em resumo...

Litosfera

Fonte: rochas magnetizadas

## Campo crustal

Núcleo externo

Fonte: correntes elétricas

## Campo principal

## Campo total (ou campo interno)

Modificado de Hulot et al. (2015)

Crosta, manto e oceanos

Fonte: correntes elétricas

## Campos induzidos

## Campo ionosférico

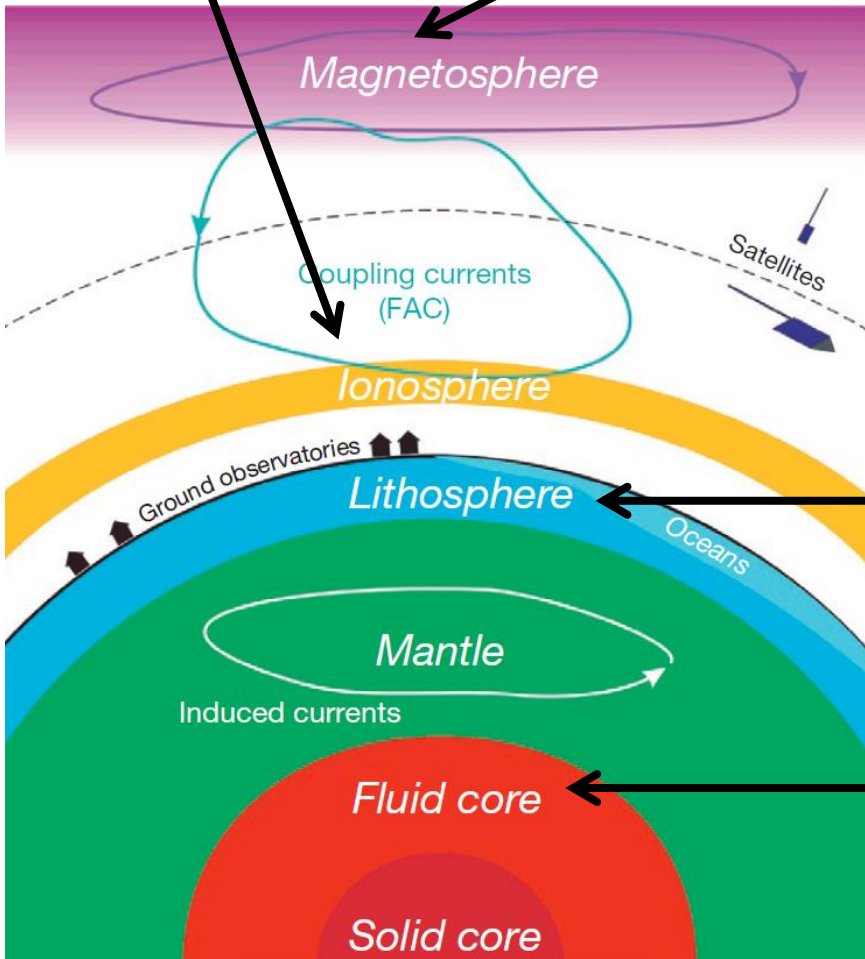
Fonte: correntes elétricas

## Campo magnetosférico

Fonte: correntes elétricas

Ionosfera

Magnetosfera



Campo externo

Contudo, em  
geofísica  
aplicada...

Litosfera

Fonte: rochas magnetizadas

Campo crustal

Núcleo externo

Fonte: correntes elétricas

Campo principal

Campo total  
(ou campo interno)

Modificado de Hulot et al. (2015)

Crosta, manto e oceanos

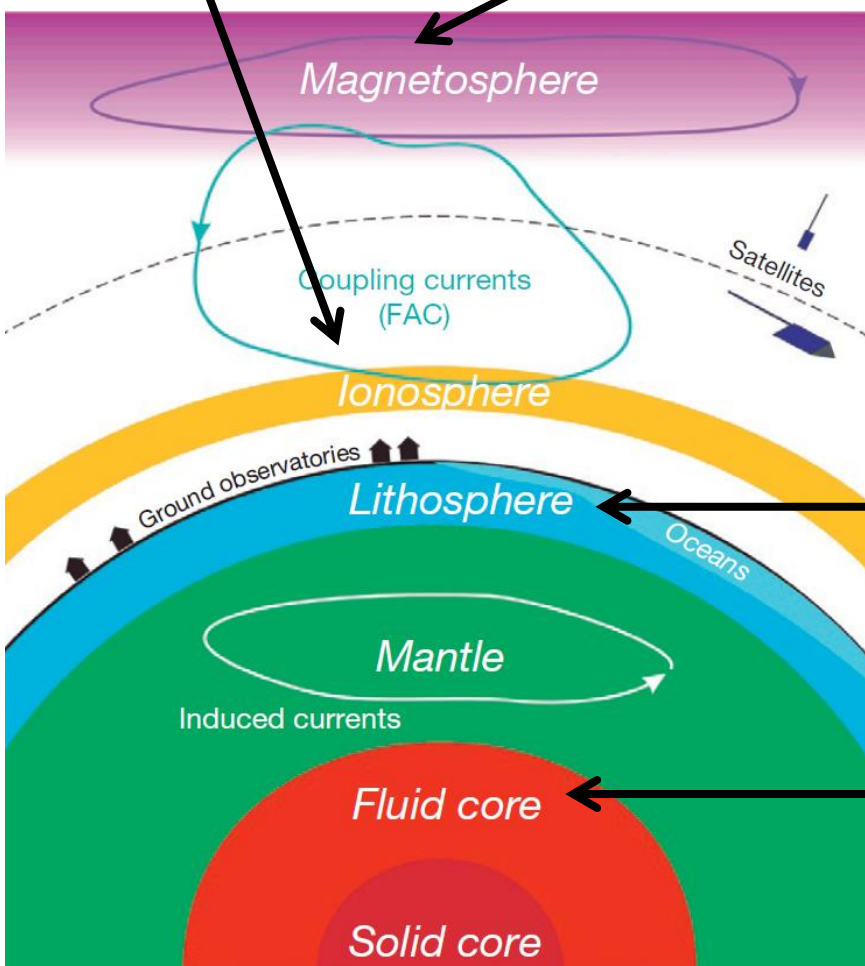
Fonte: correntes elétricas

Campos induzidos



Campo ionosférico  
Fonte: correntes elétricas

Campo magnetosférico  
Fonte: correntes elétricas



Campo  
externo

... estamos  
interessados  
apenas no  
campo total

Litosfera  
Fonte: rochas magnetizadas

Campo crustal

Núcleo externo

Fonte: correntes elétricas

Campo principal

Campo  
total  
(ou campo  
interno)

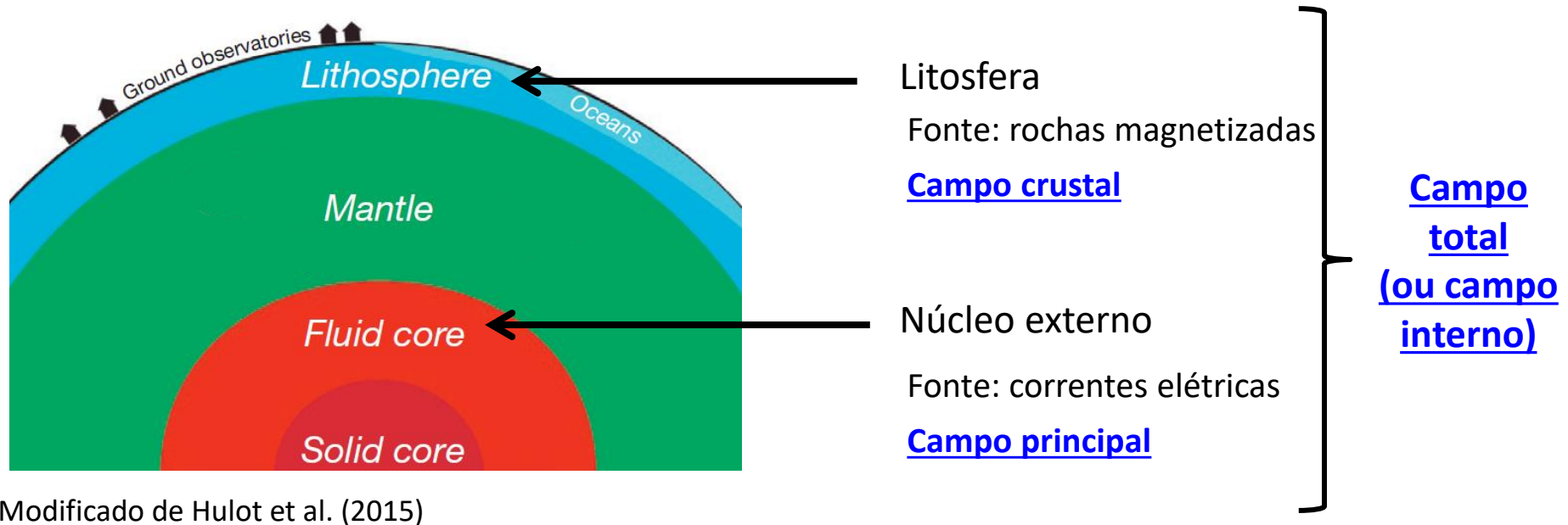
Modificado de Hulot et al. (2015)

Crosta, manto e oceanos

Fonte: correntes elétricas

Campos induzidos

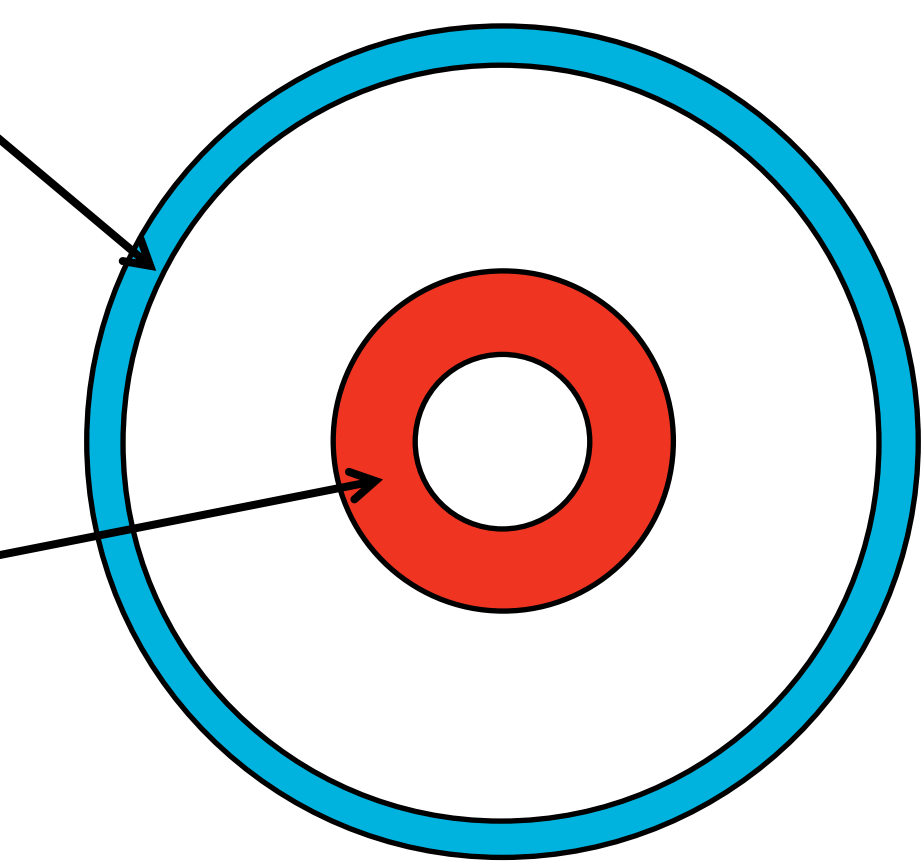
As demais componentes do  
campo geomagnético são  
removidas no  
processamento dos dados



Modificado de Hulot et al. (2015)

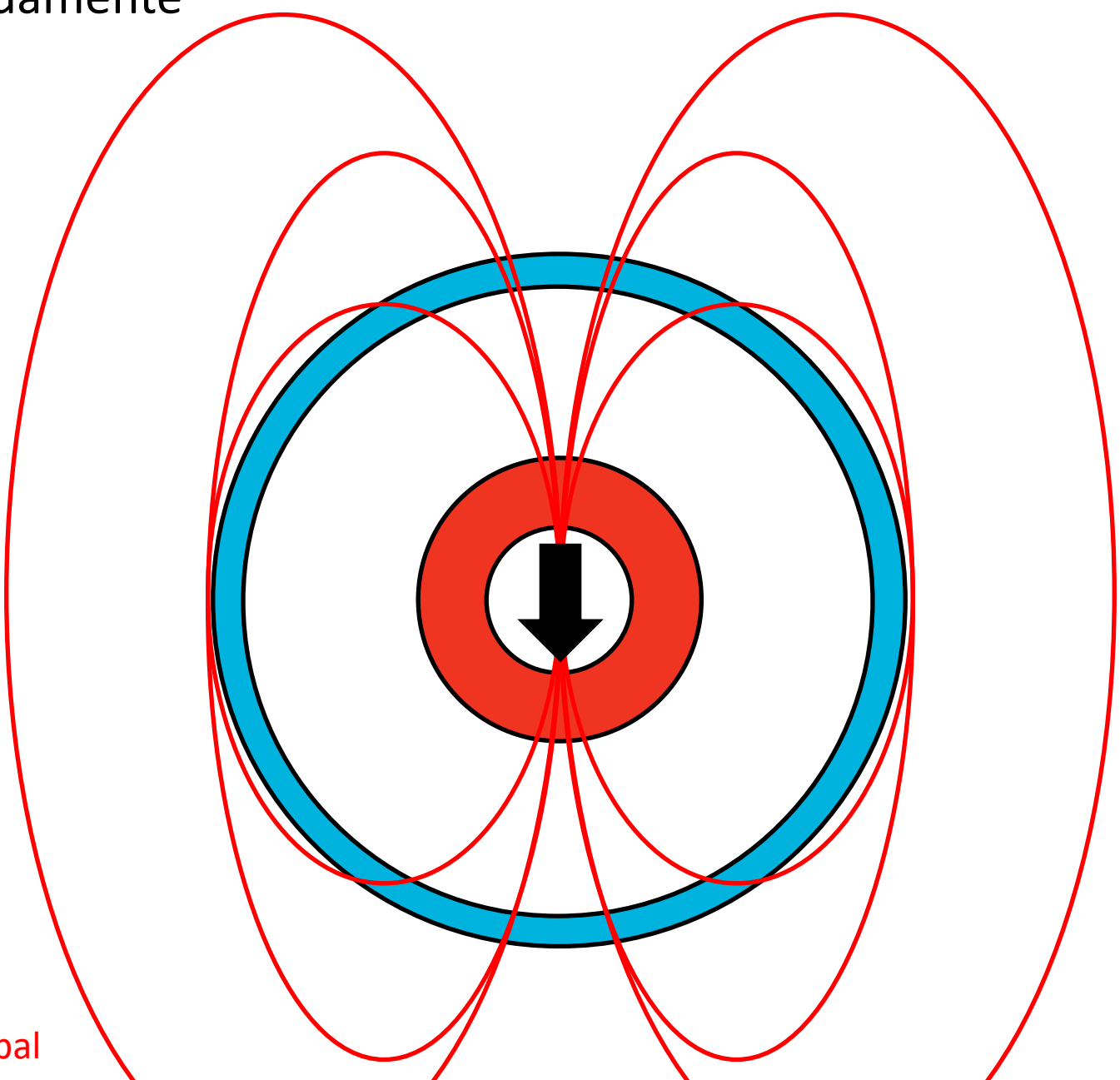


Litosfera

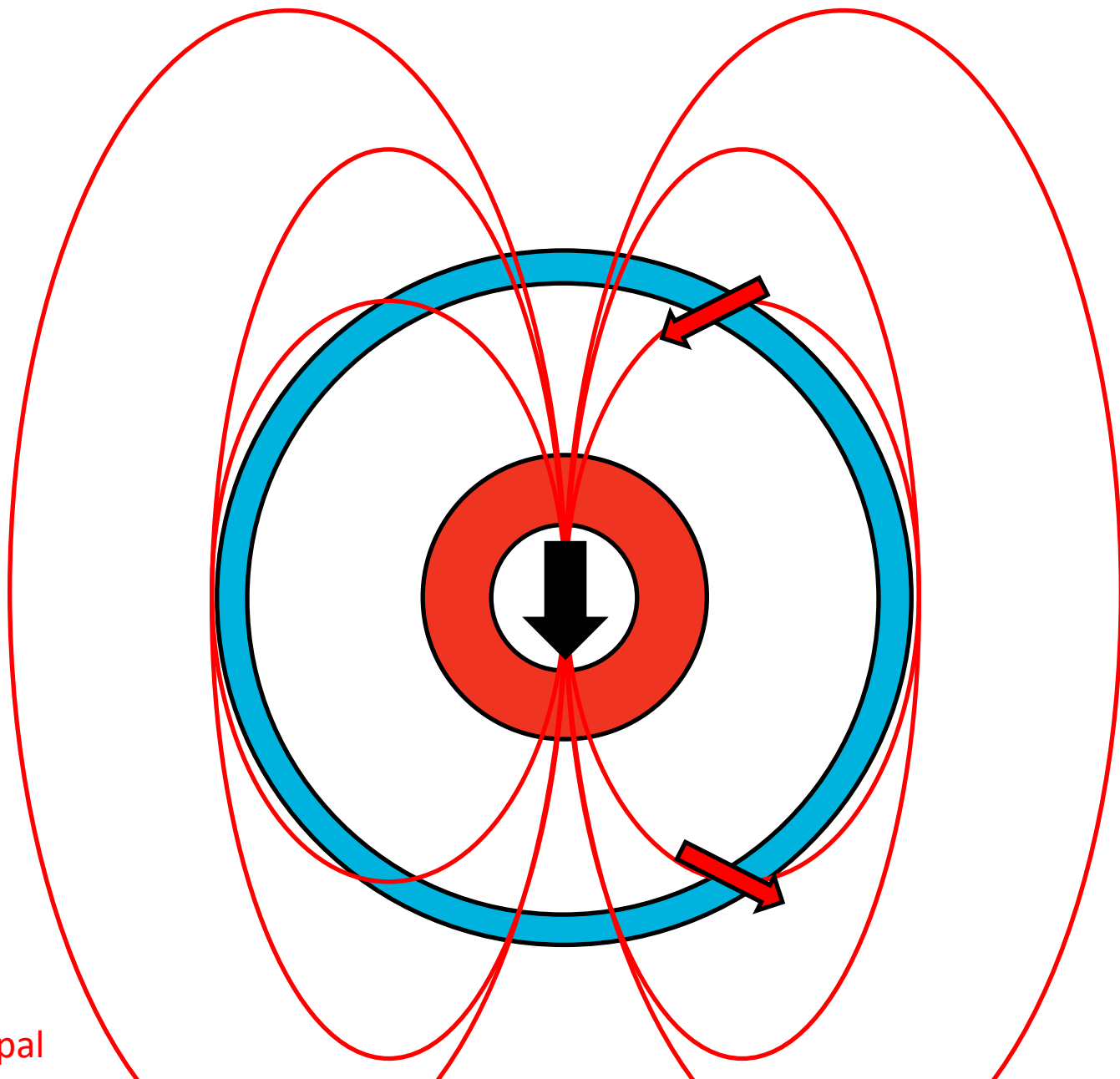


Núcleo externo

O campo principal é  
aproximadamente  
dipolar

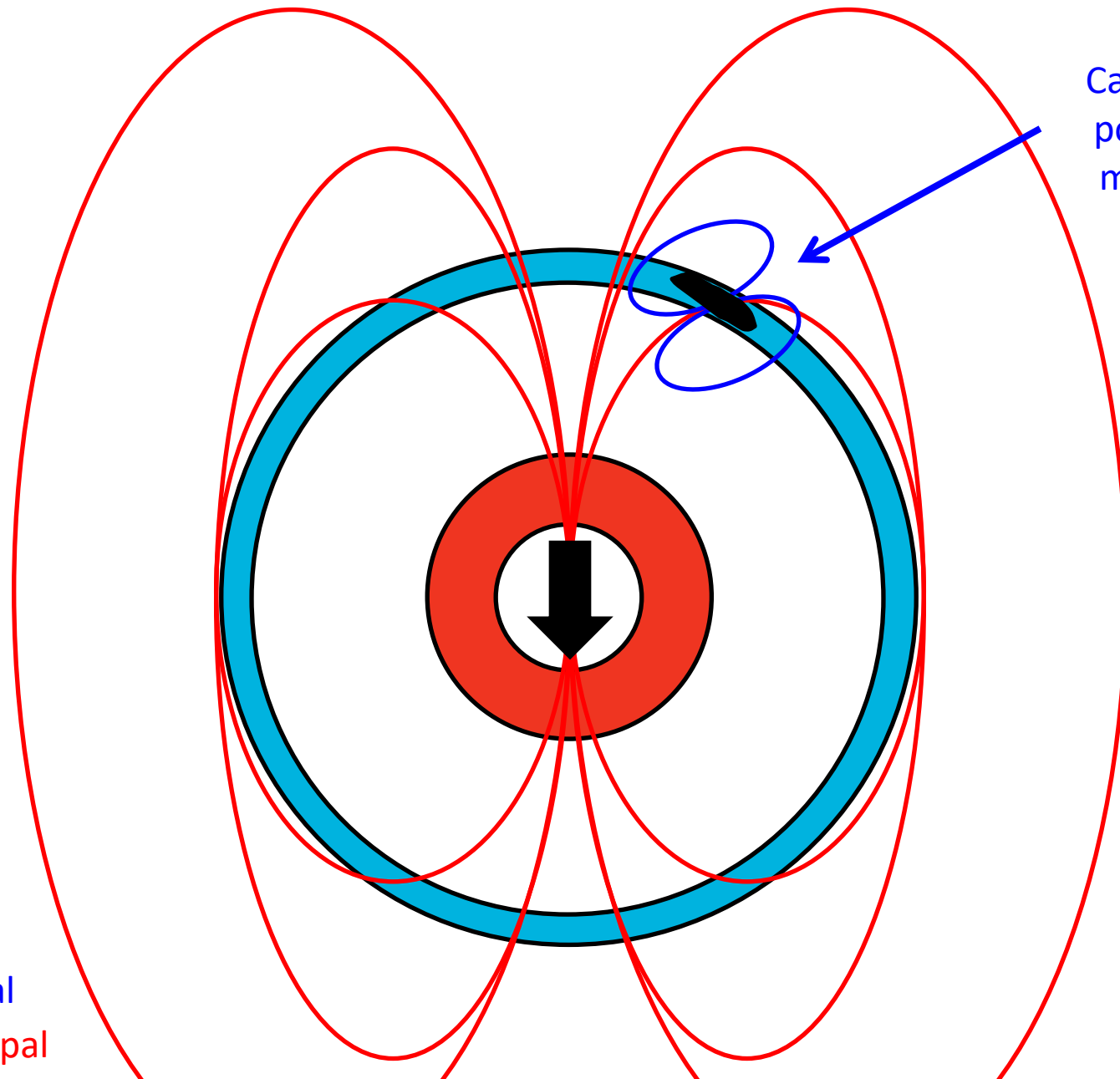


Campo principal

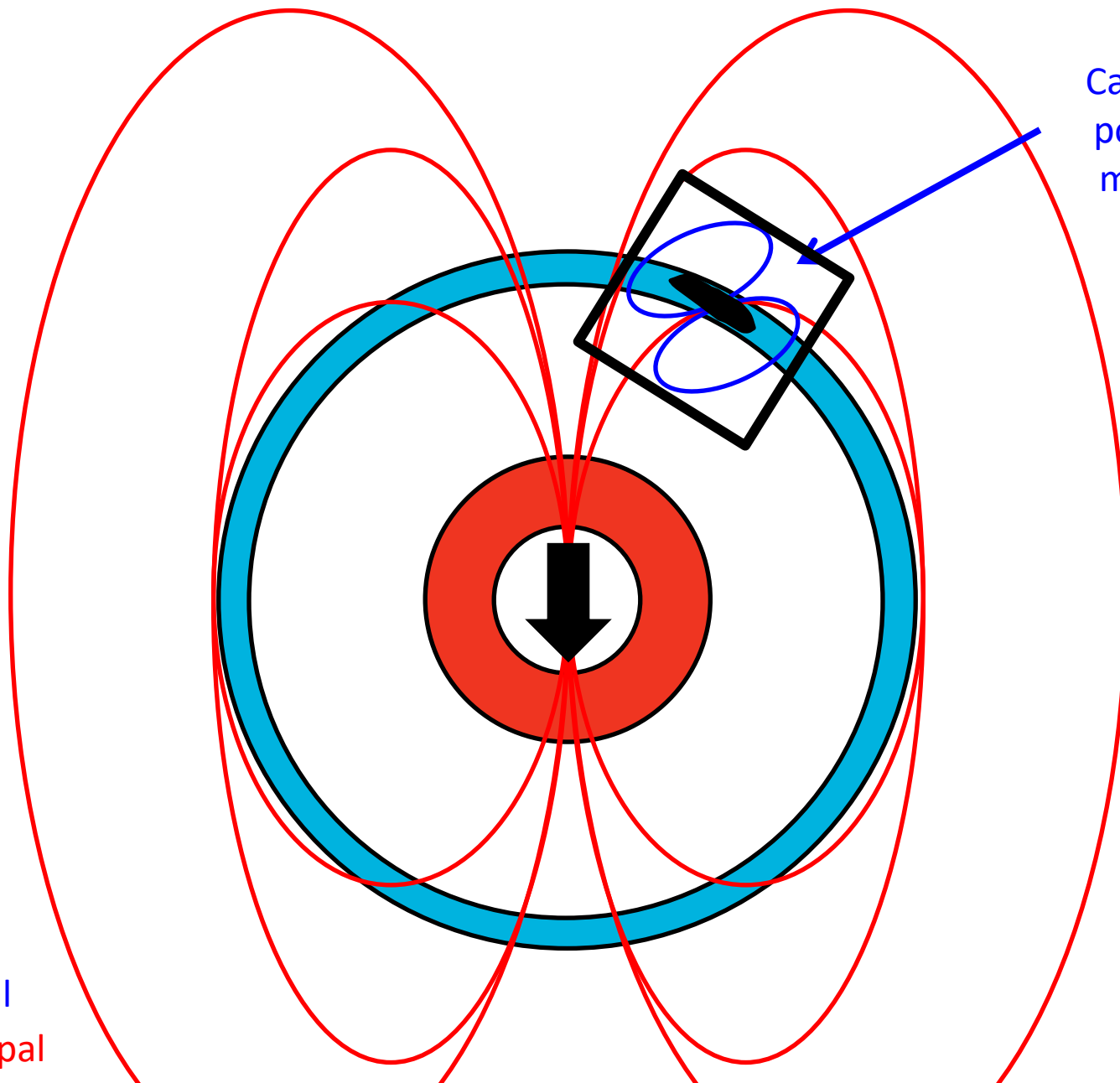


Campo principal

Campo gerado  
por um corpo  
magnetizado

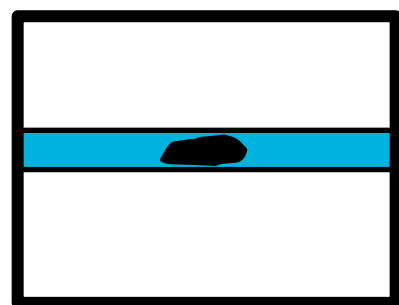


Campo crustal  
Campo principal



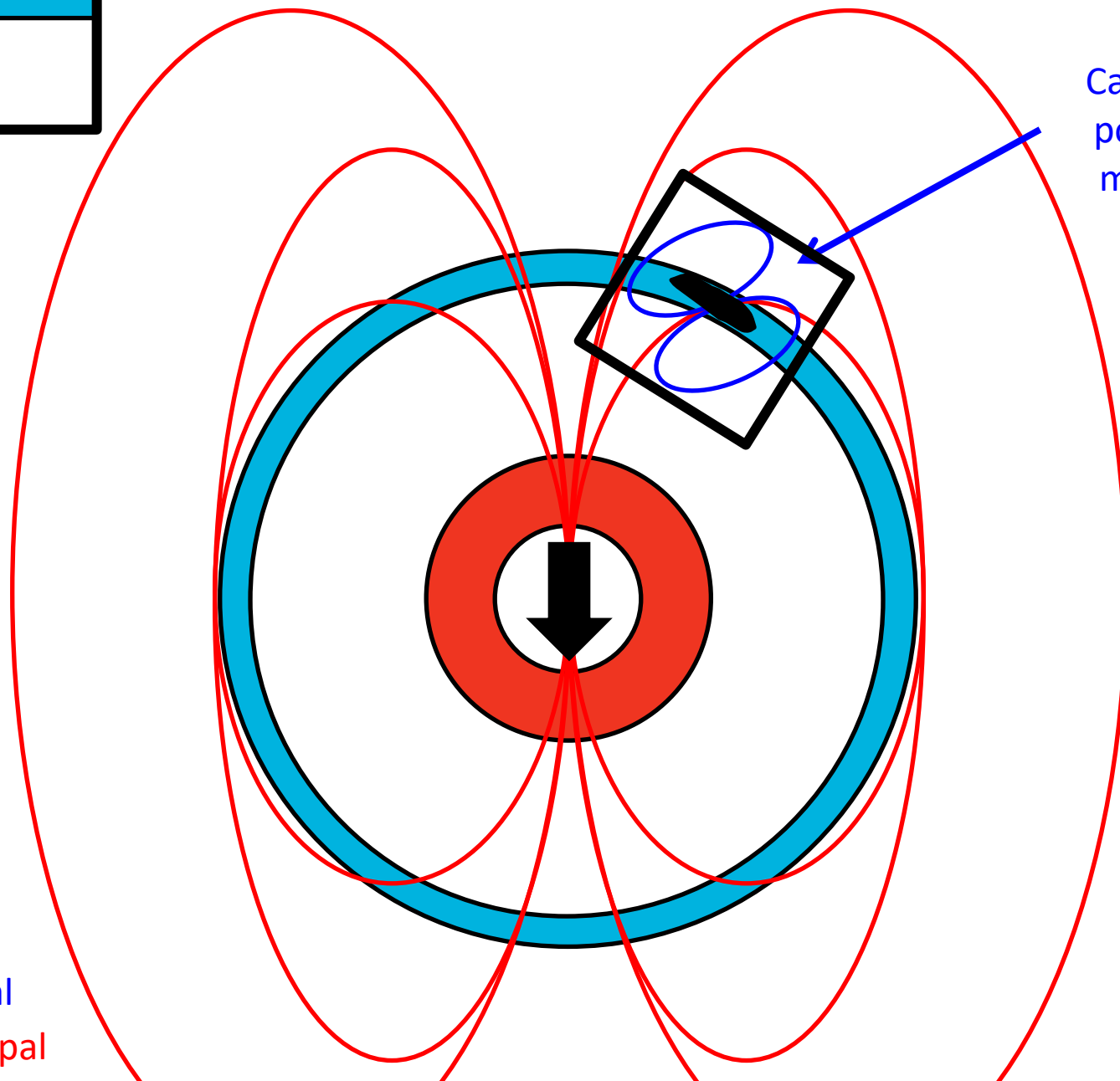
Campo gerado  
por um corpo  
magnetizado

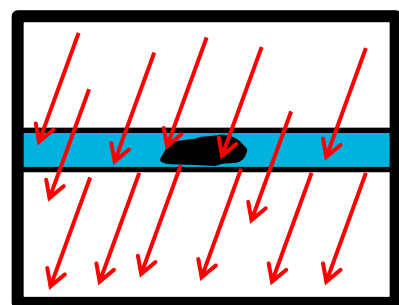
Campo crustal  
Campo principal



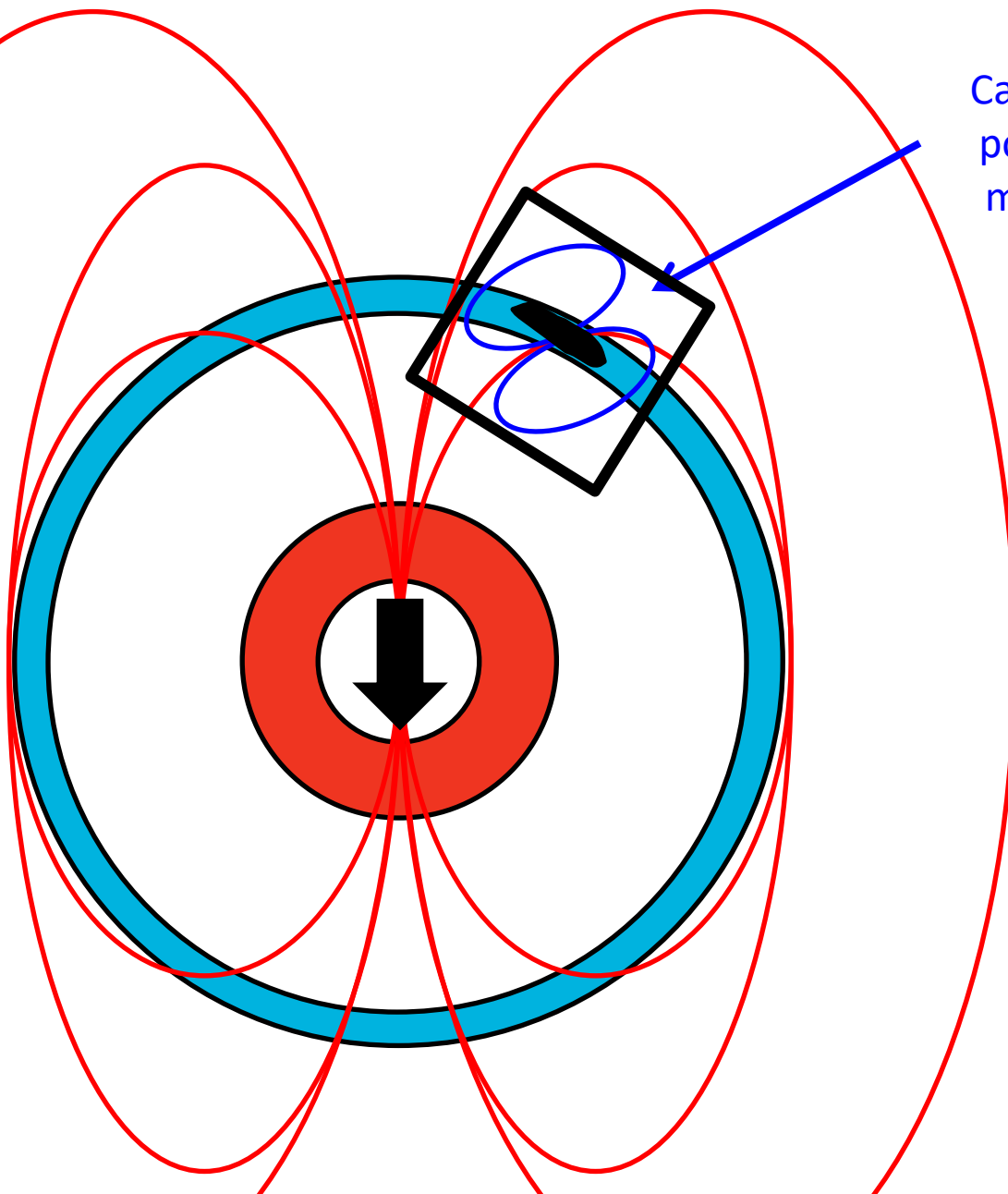
Campo gerado  
por um corpo  
magnetizado

Campo crustal  
Campo principal

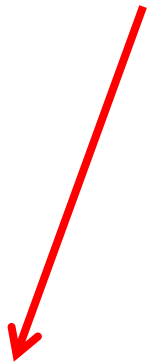




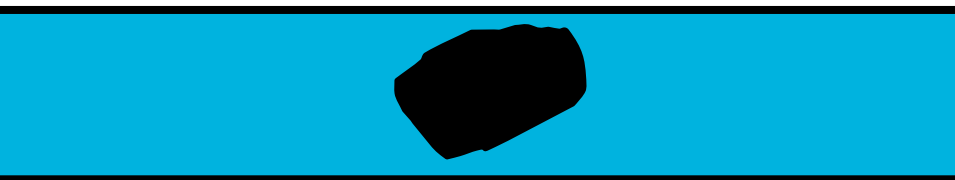
Campo gerado  
por um corpo  
magnetizado



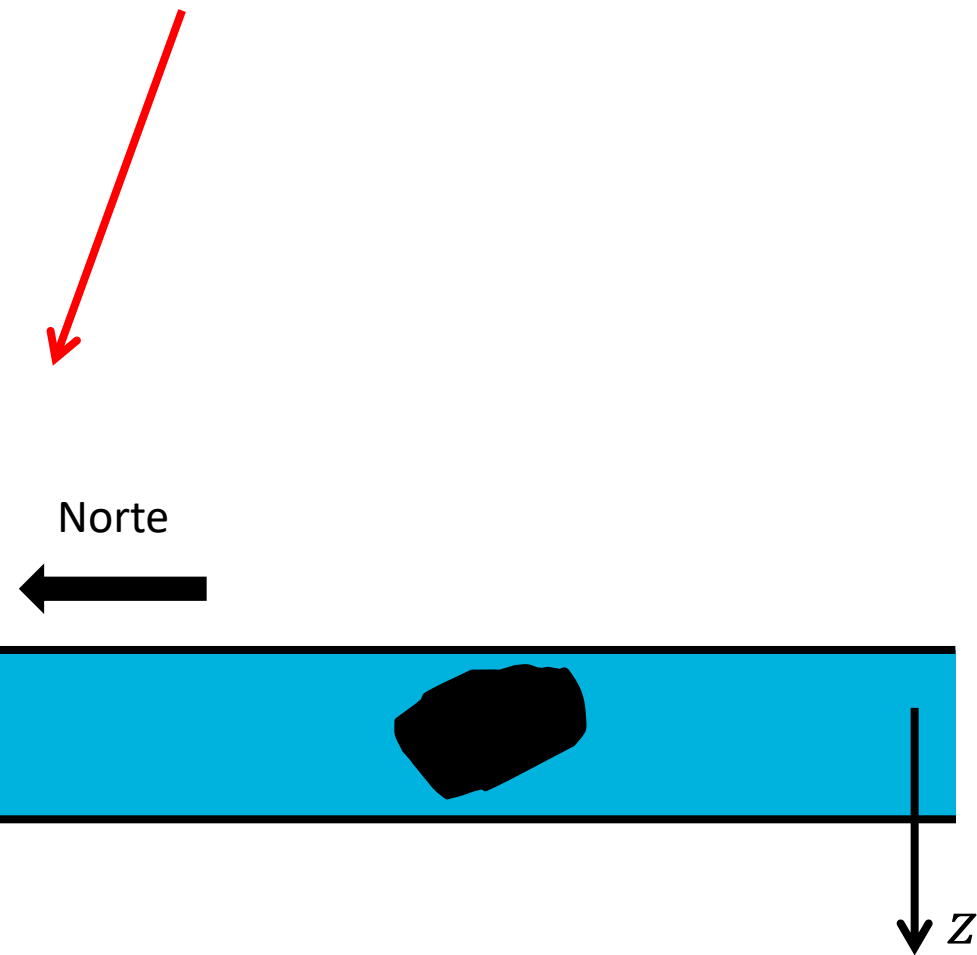
Campo crustal  
Campo principal

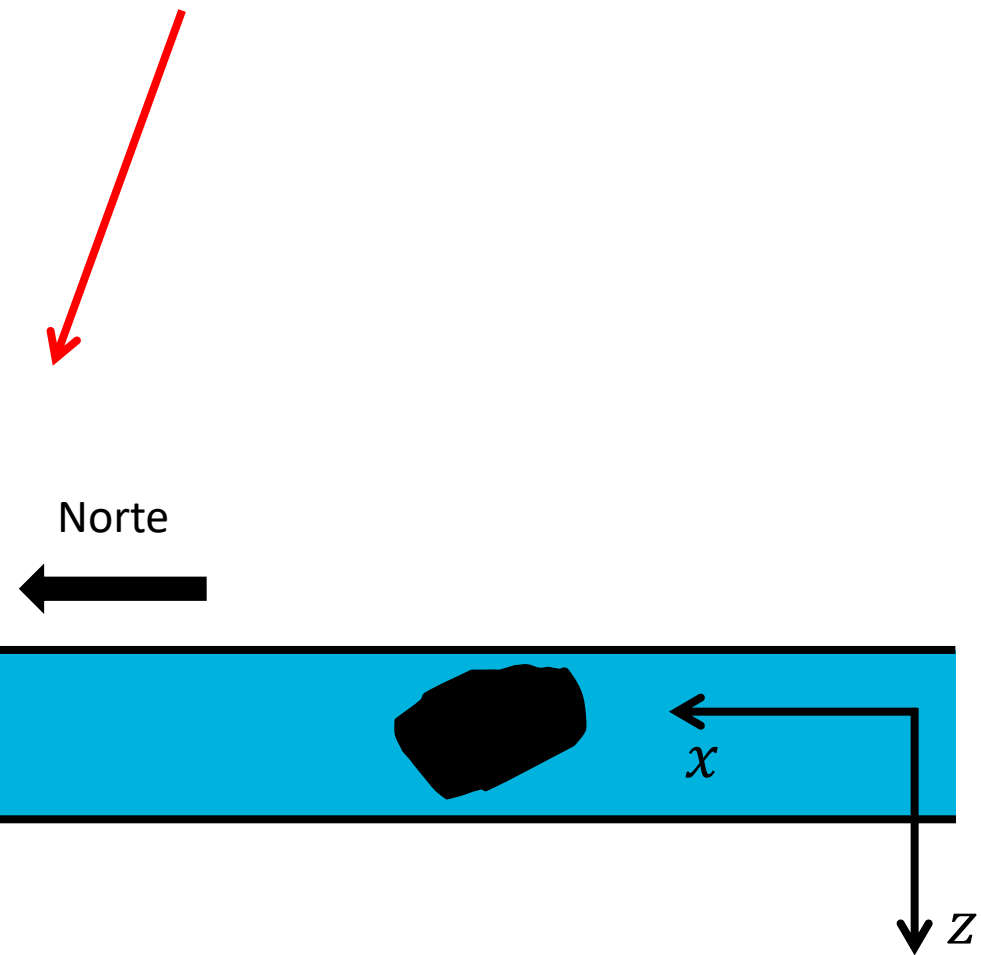


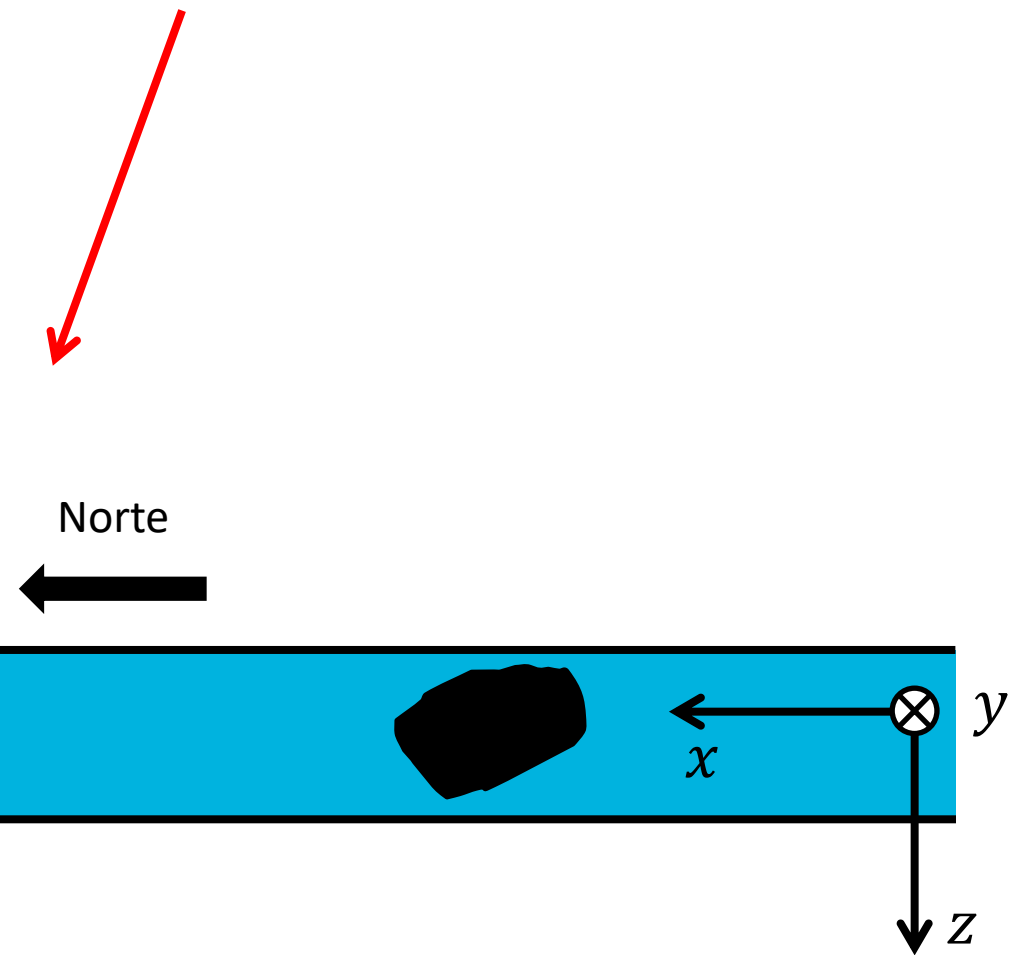
Norte

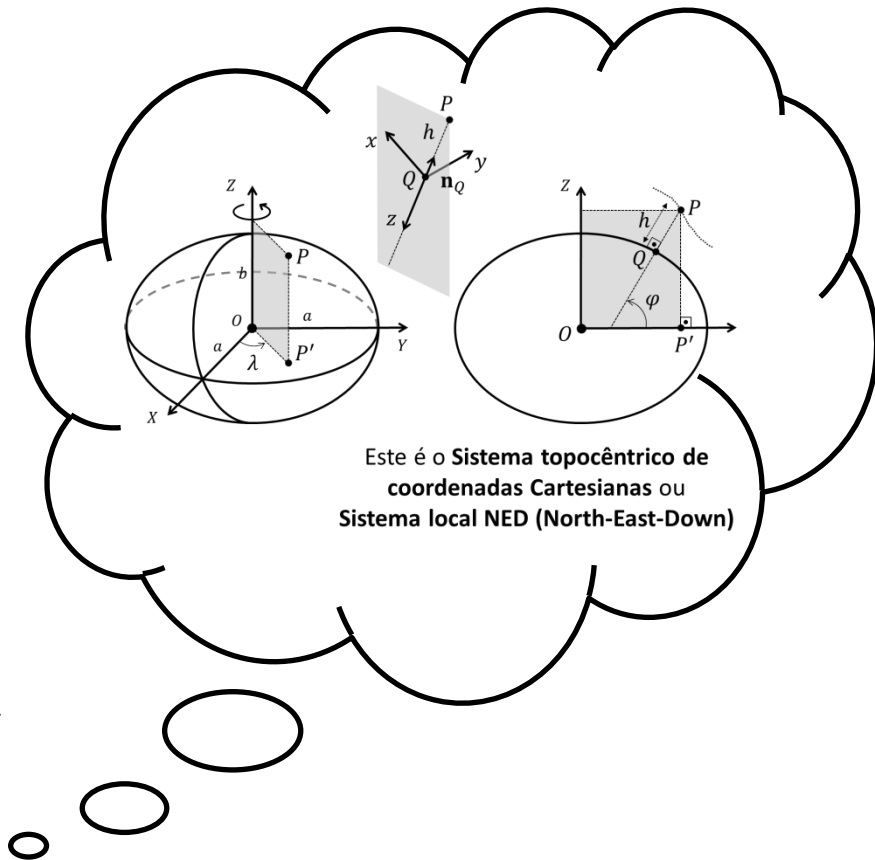
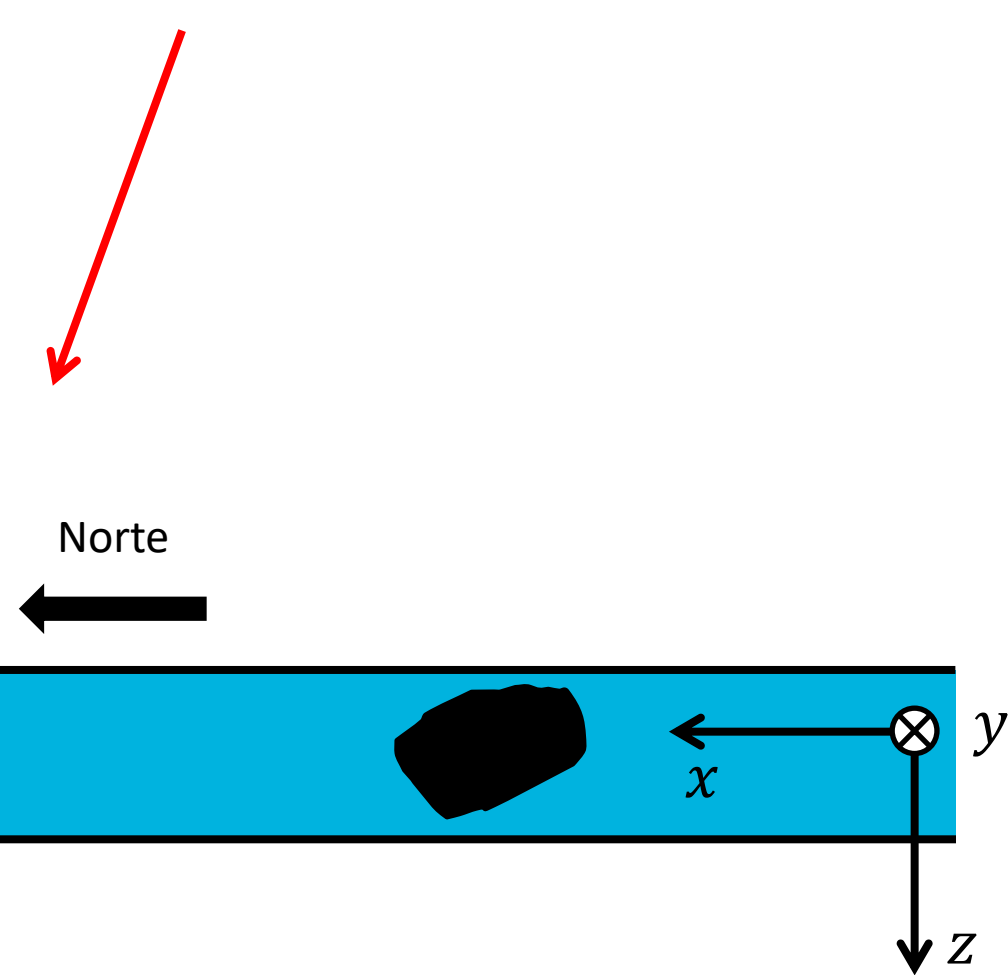


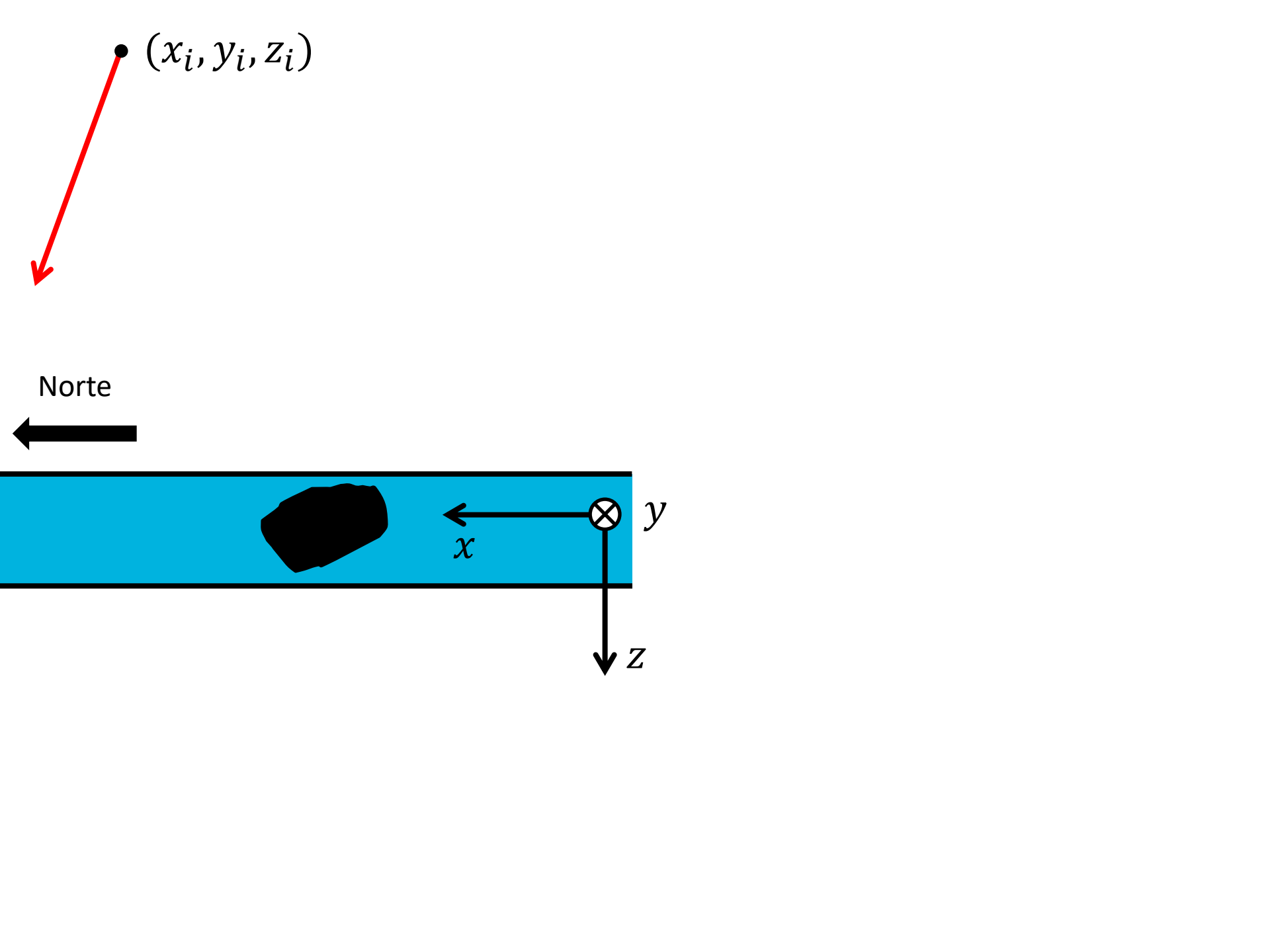










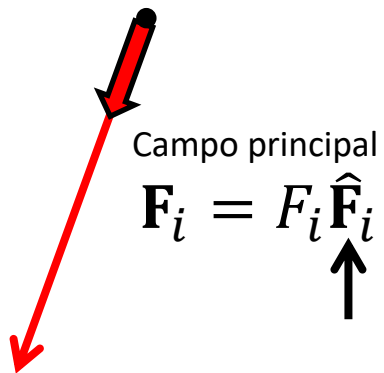


Campo principal

$$\mathbf{F}_i = F_i \hat{\mathbf{F}}_i$$

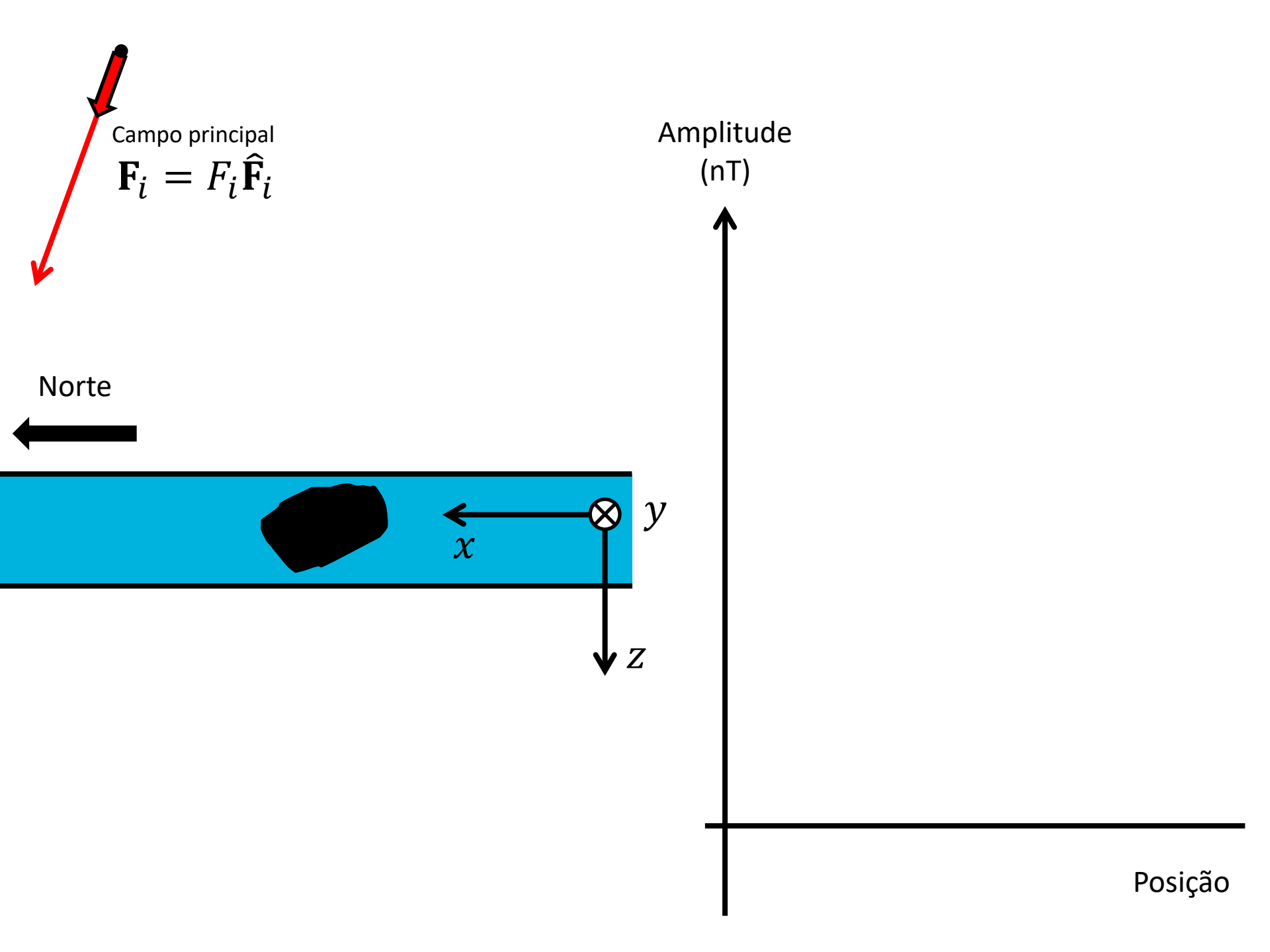
Norte



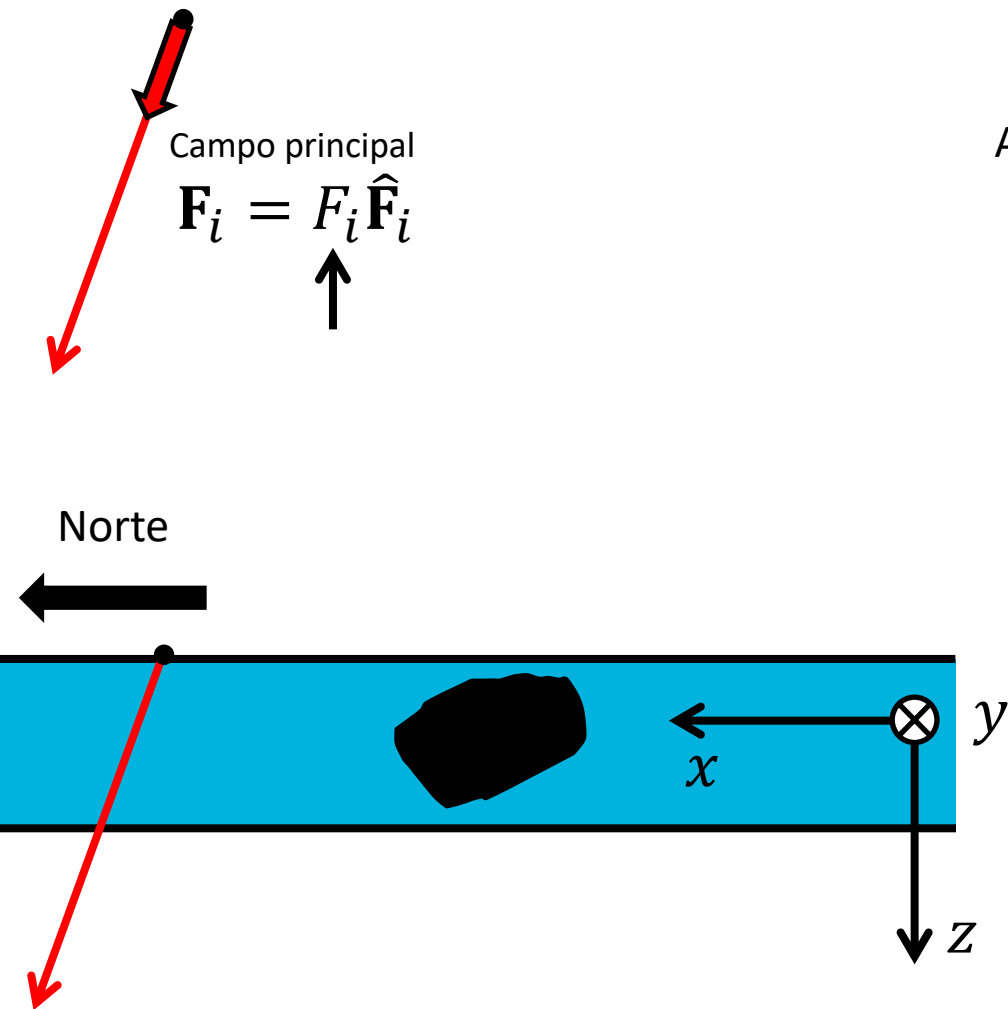


Norte

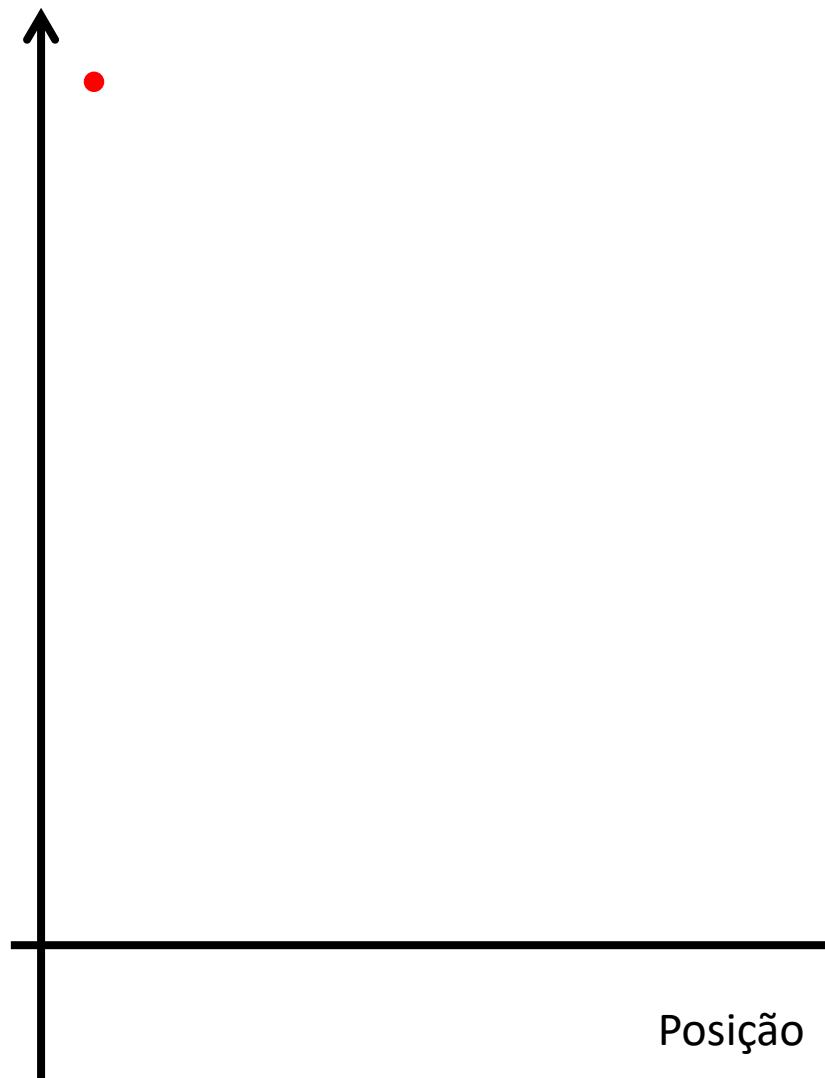


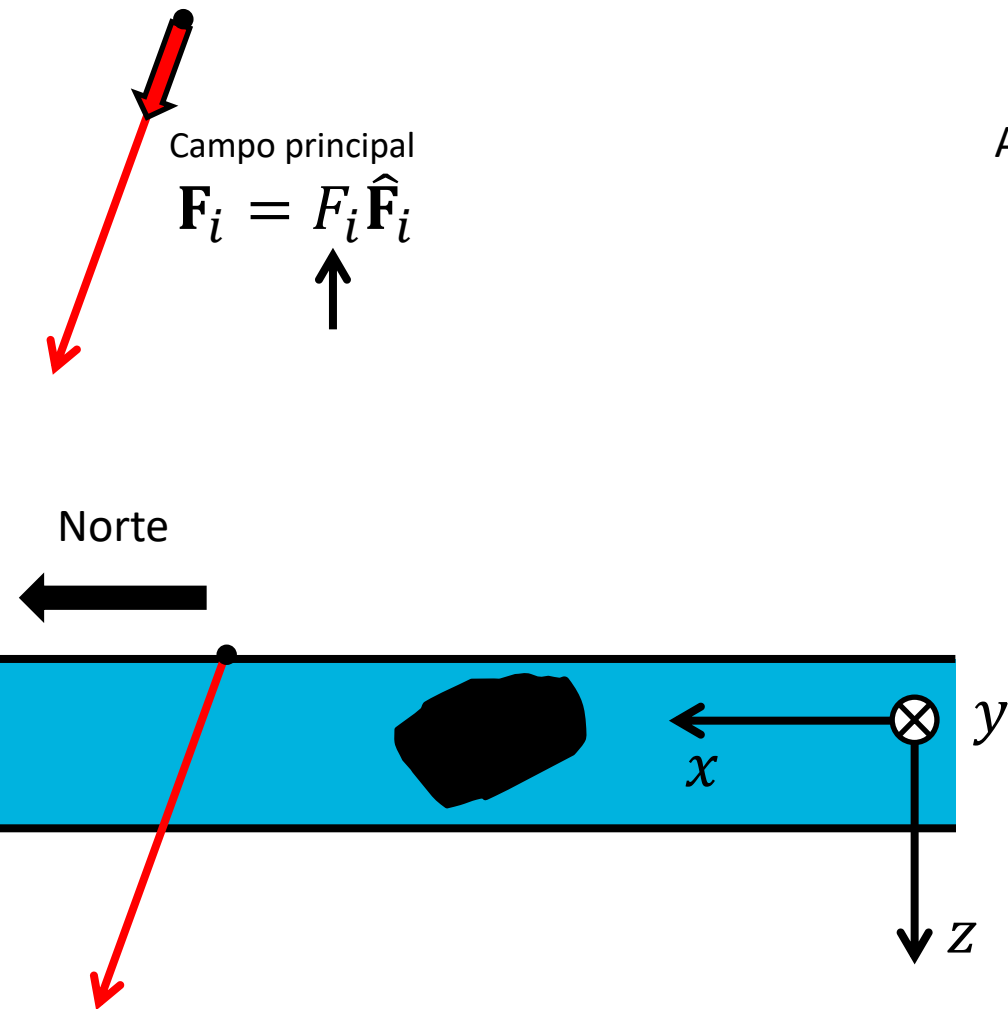






Amplitude  
(nT)

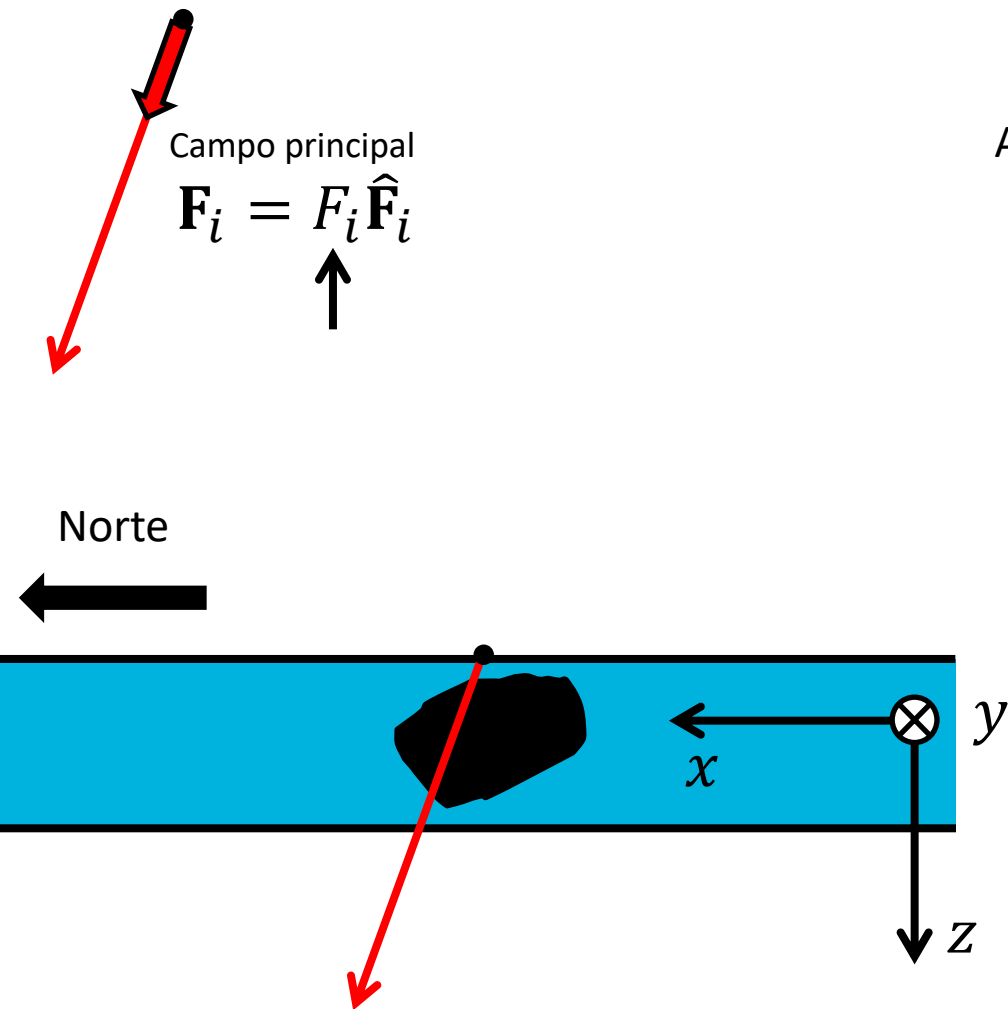




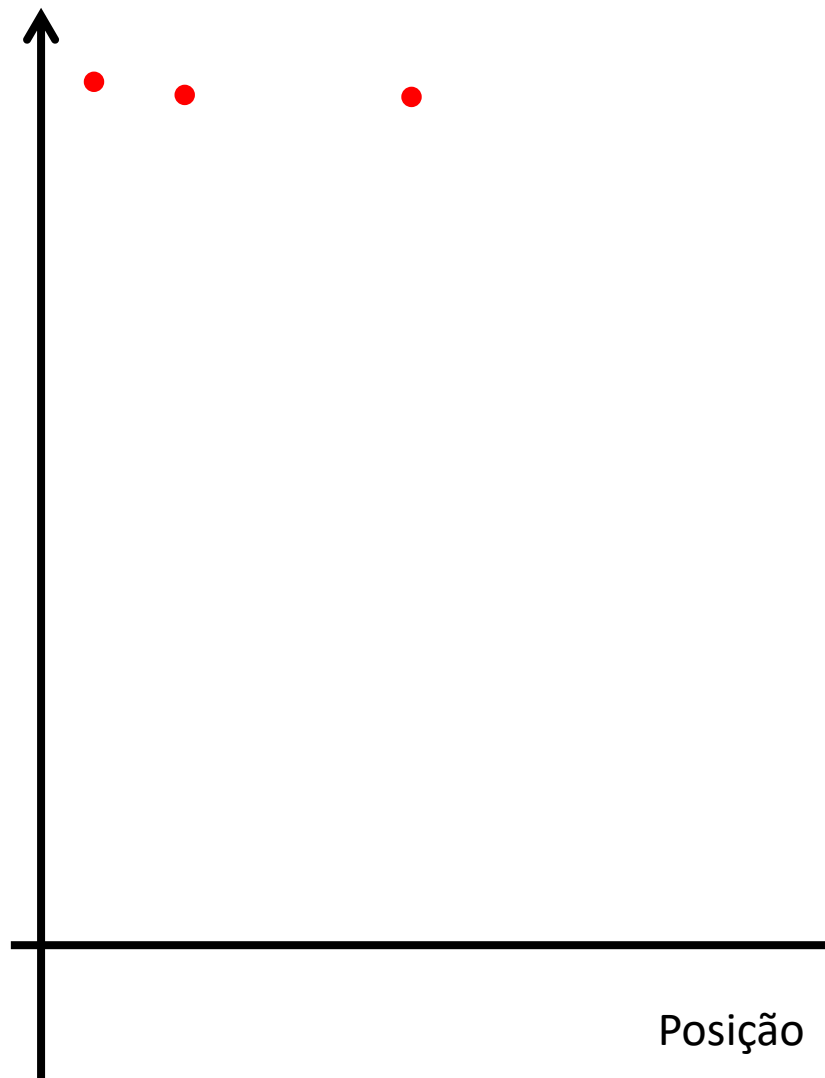
Amplitude  
(nT)

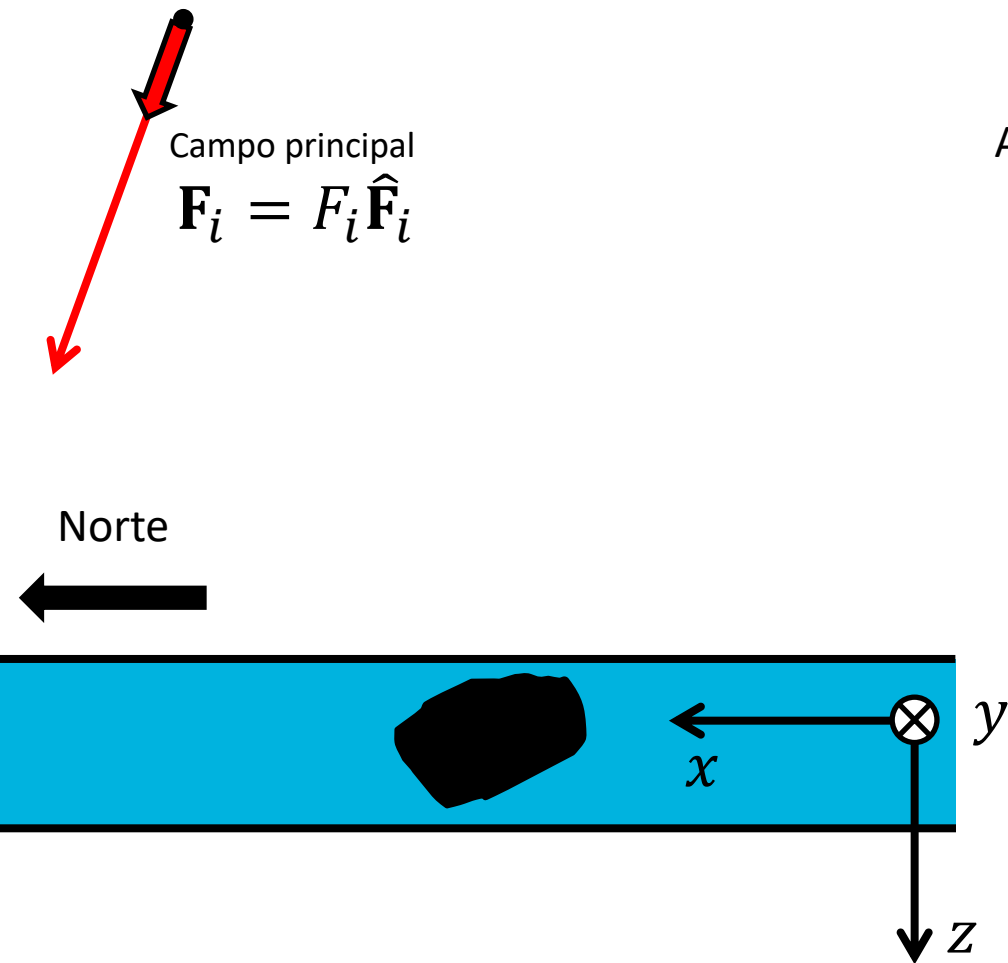


Posição



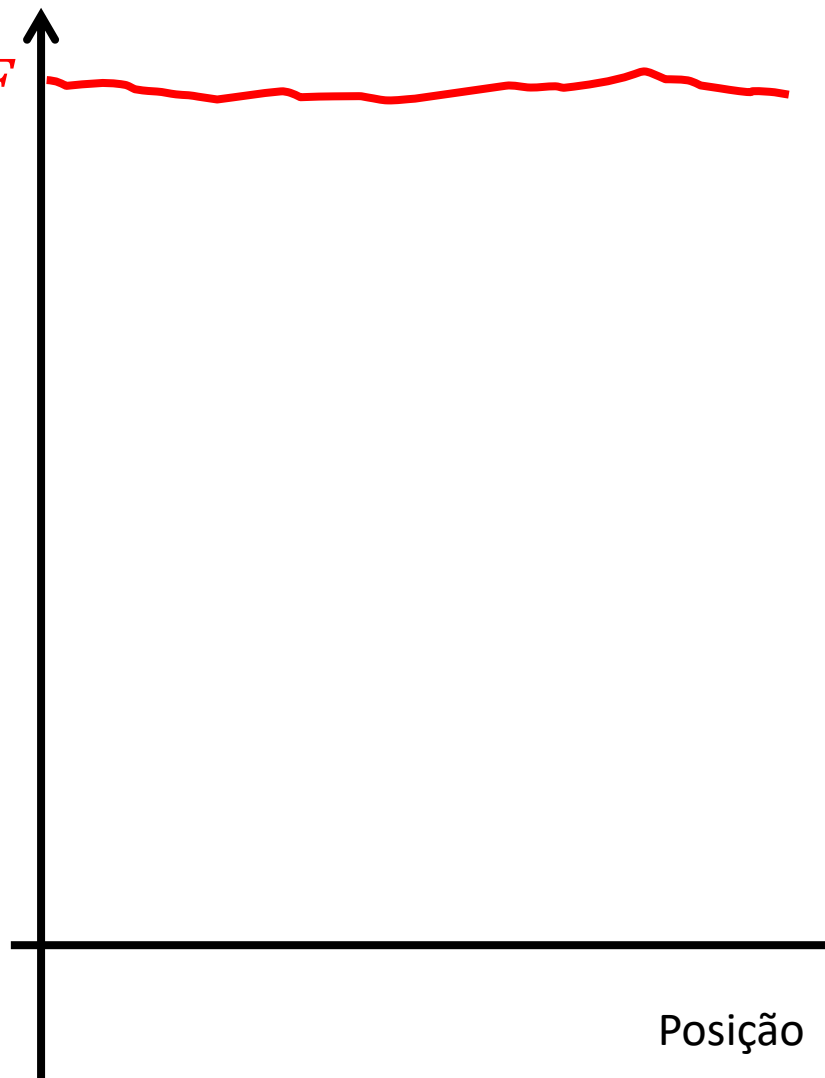
Amplitude  
(nT)



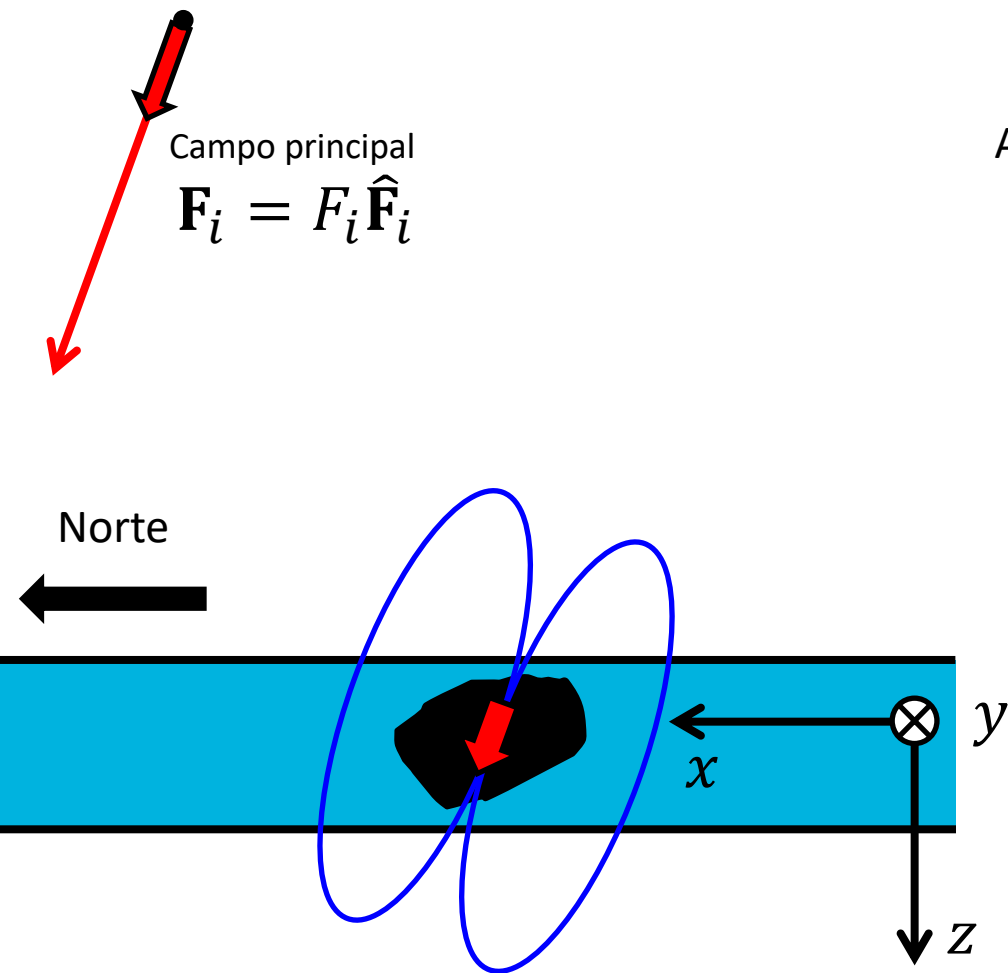


Amplitude  
(nT)

$F$

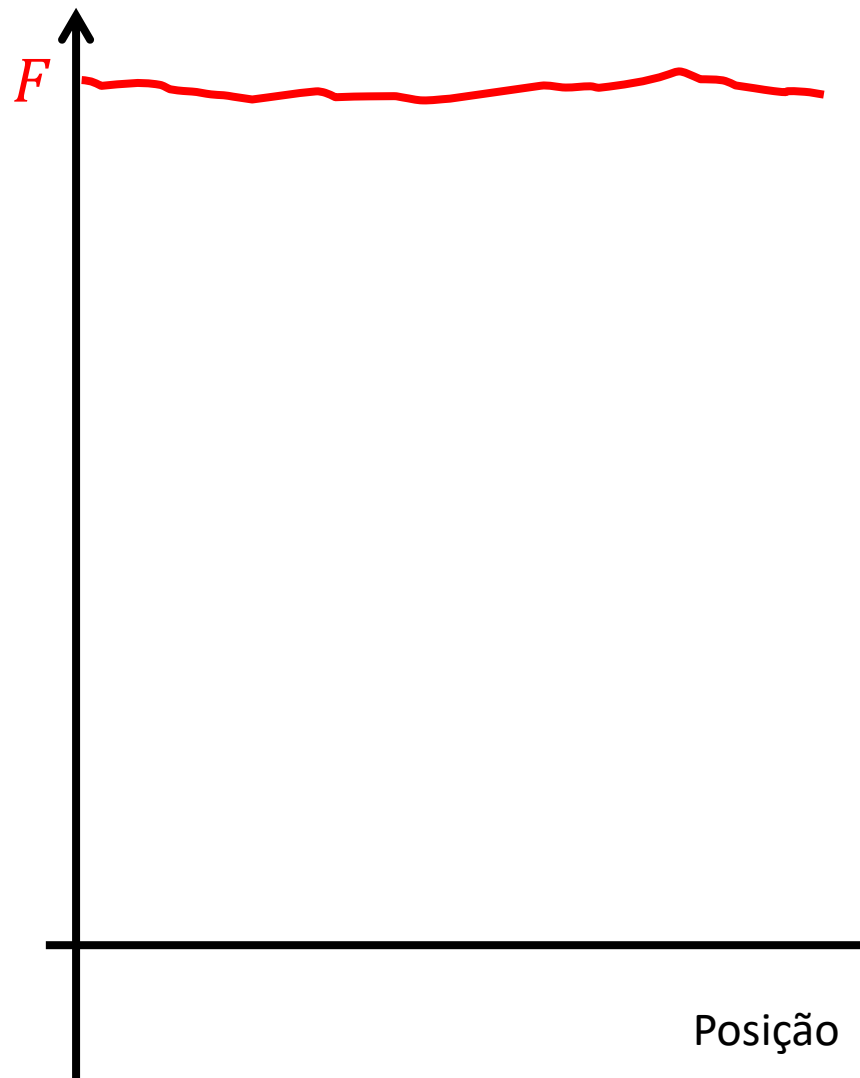


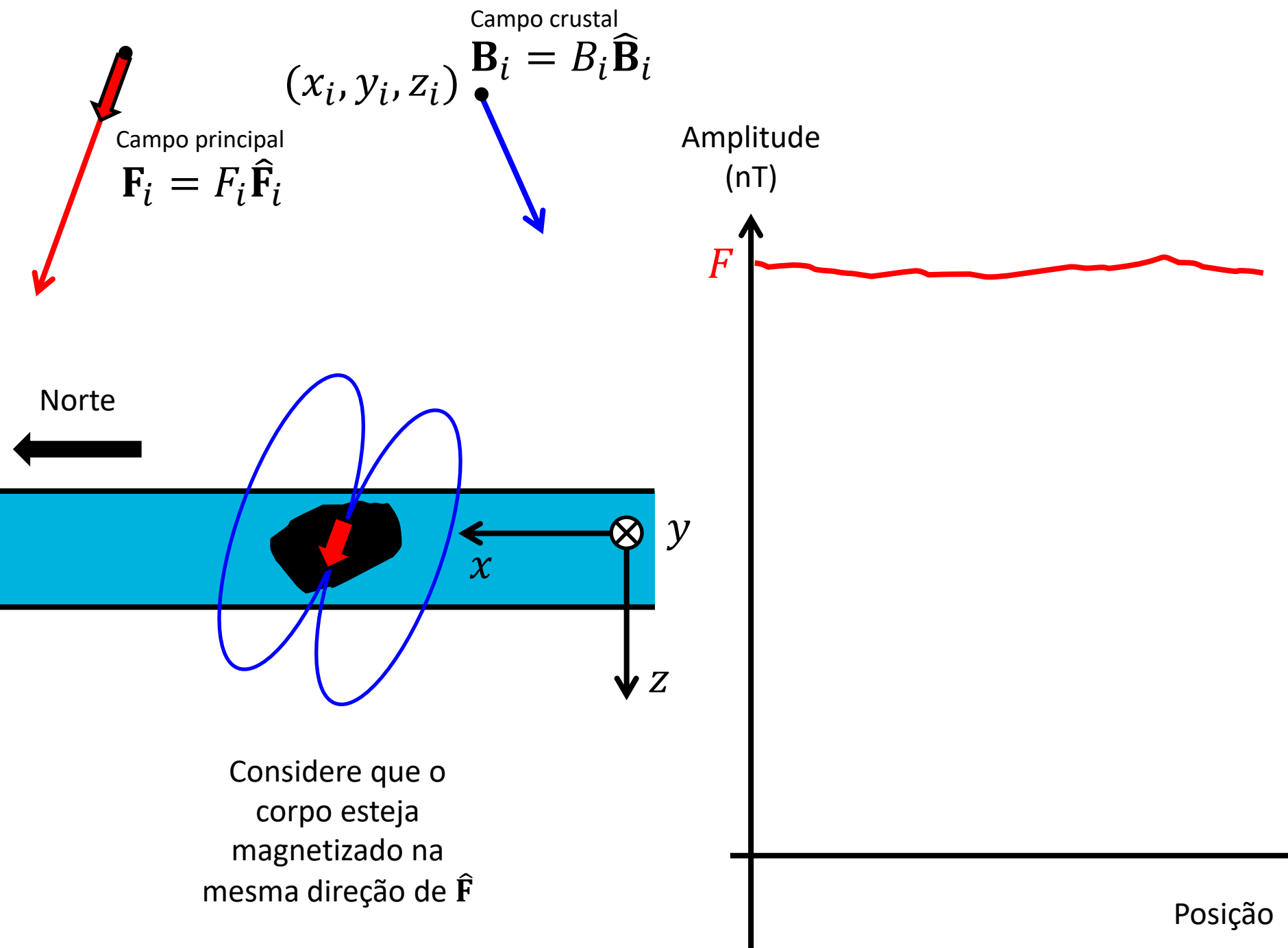
Posição

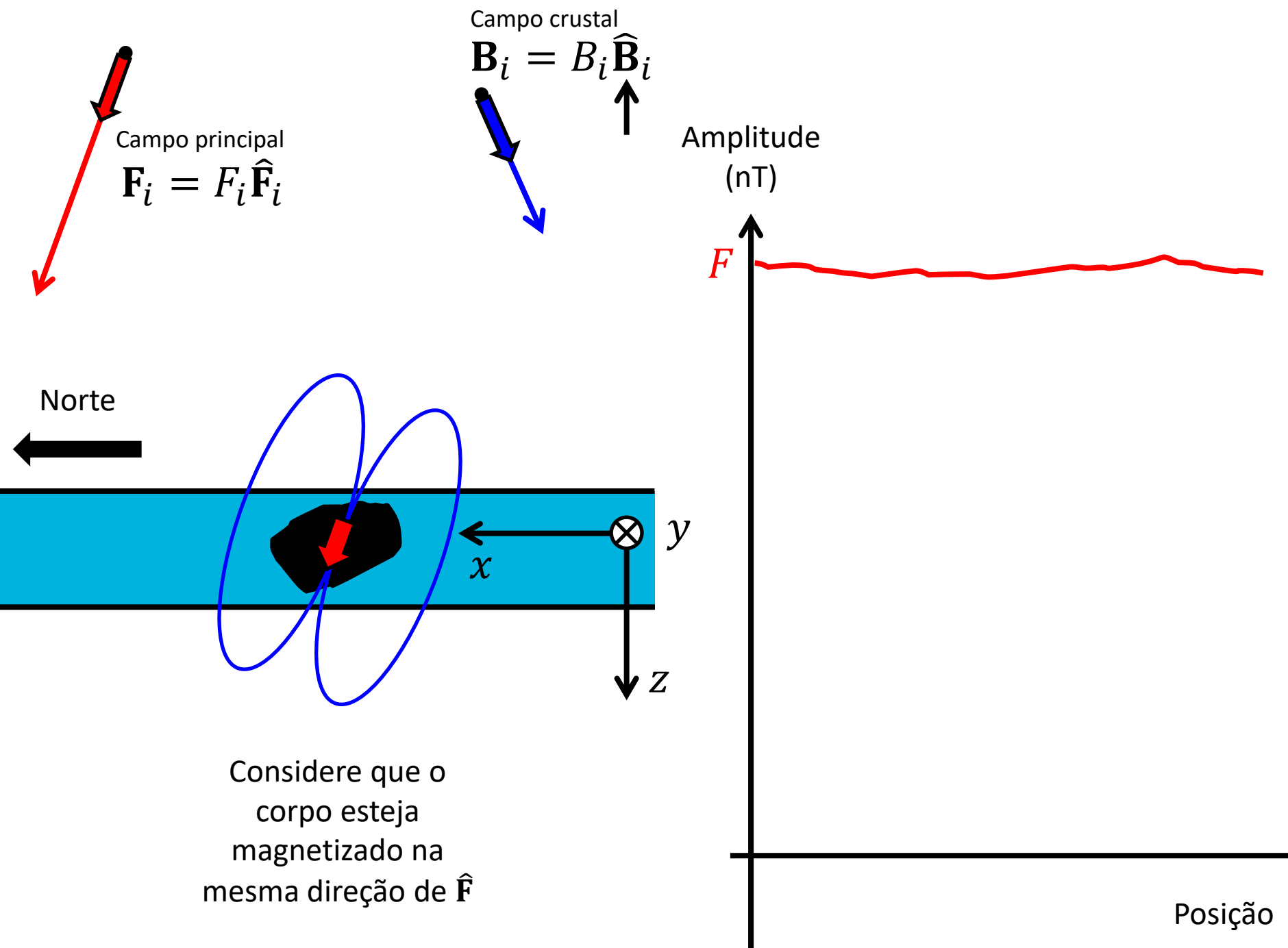


Considere que o  
corpo esteja  
magnetizado na  
mesma direção de  $\hat{\mathbf{F}}$

Amplitude  
(nT)







$$F_i \gg B_i$$

Campo crustal  
 $\mathbf{B}_i = B_i \hat{\mathbf{B}}_i$

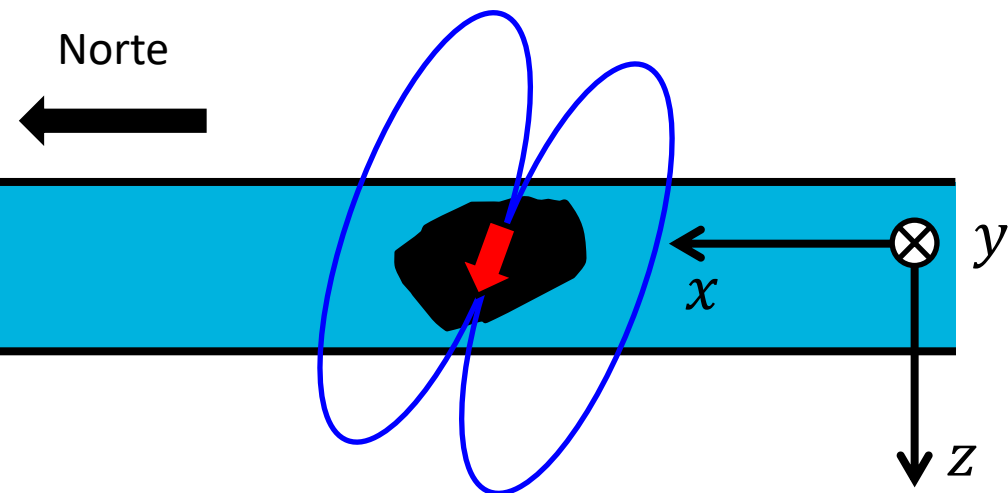
Campo principal

$$\mathbf{F}_i = F_i \hat{\mathbf{F}}_i$$

Amplitude  
 (nT)

$F$

Norte



Considere que o  
 corpo esteja  
 magnetizado na  
 mesma direção de  $\hat{\mathbf{F}}$

Posição



$$F_i \gg B_i$$

Campo crustal  
 $\mathbf{B}_i = B_i \hat{\mathbf{B}}_i$

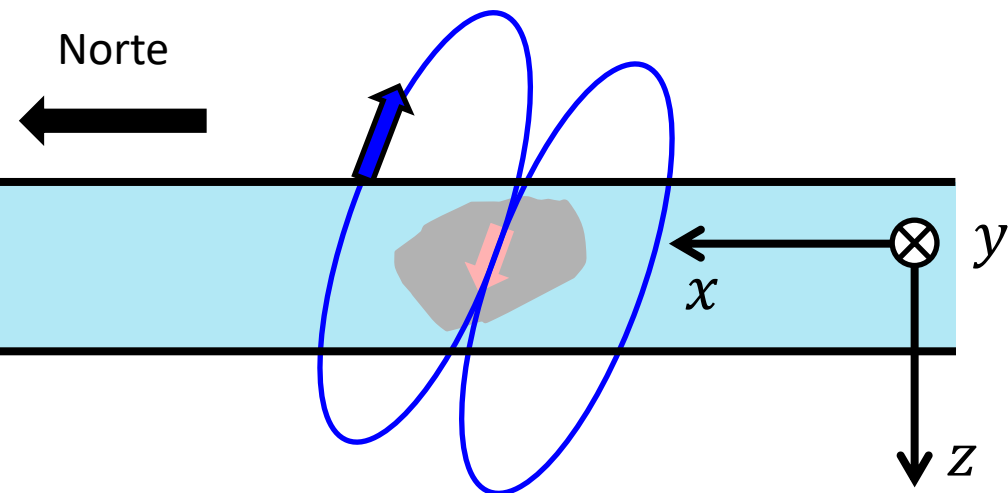
Campo principal

$$\mathbf{F}_i = F_i \hat{\mathbf{F}}_i$$

Amplitude  
 (nT)

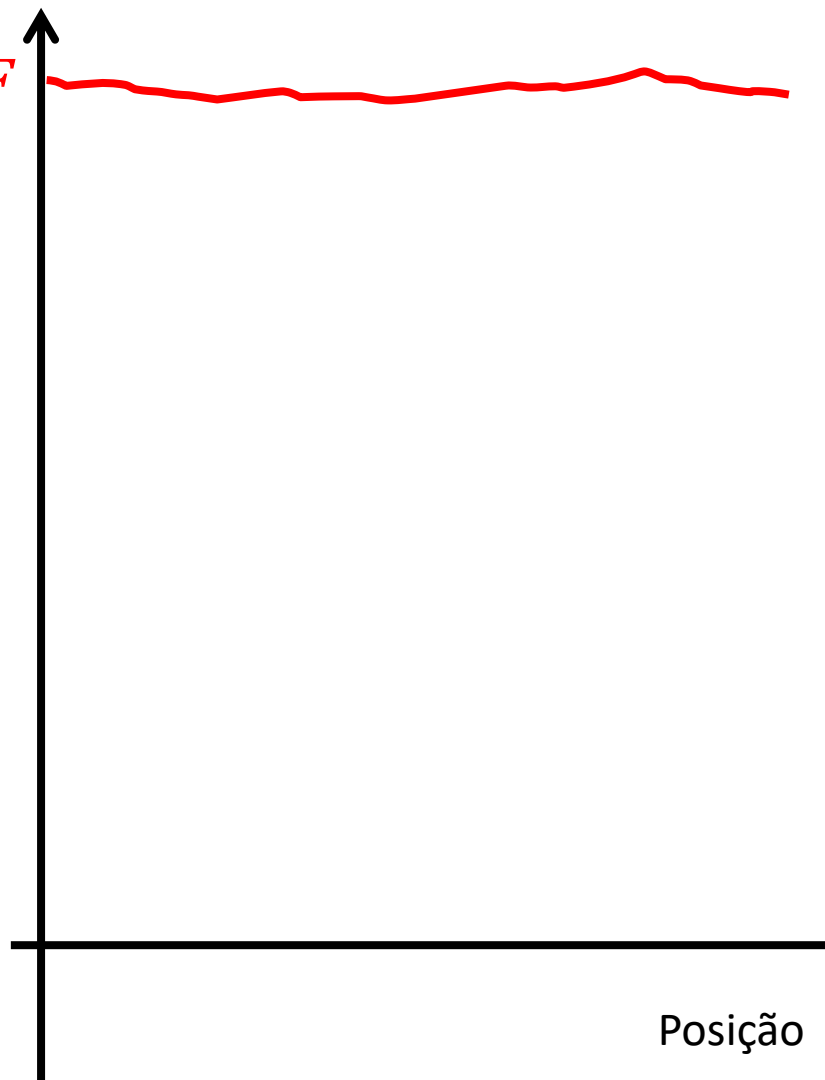
$F$

Norte



Considere que o  
 corpo esteja  
 magnetizado na  
 mesma direção de  $\hat{\mathbf{F}}$

Posição



$$F_i \gg B_i$$

Campo crustal  
 $\mathbf{B}_i = B_i \hat{\mathbf{B}}_i$

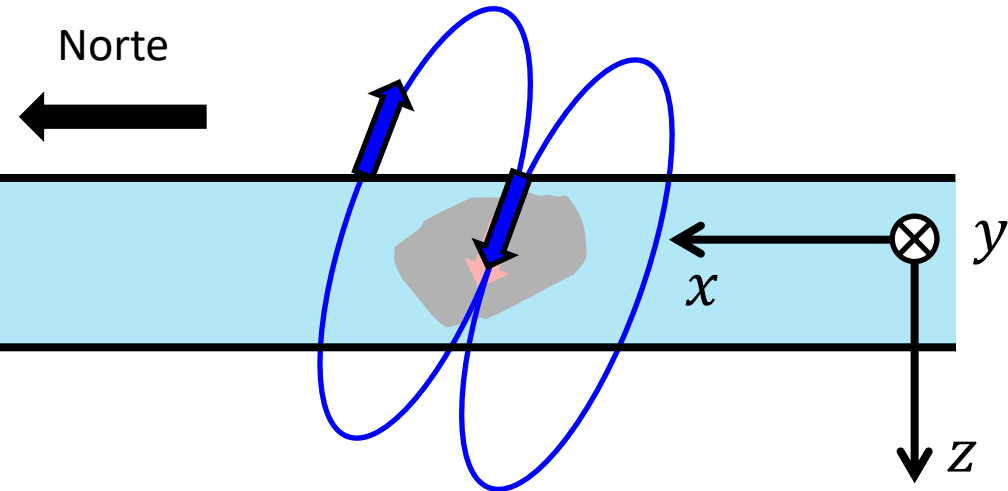
Campo principal

$$\mathbf{F}_i = F_i \hat{\mathbf{F}}_i$$

Amplitude  
 (nT)

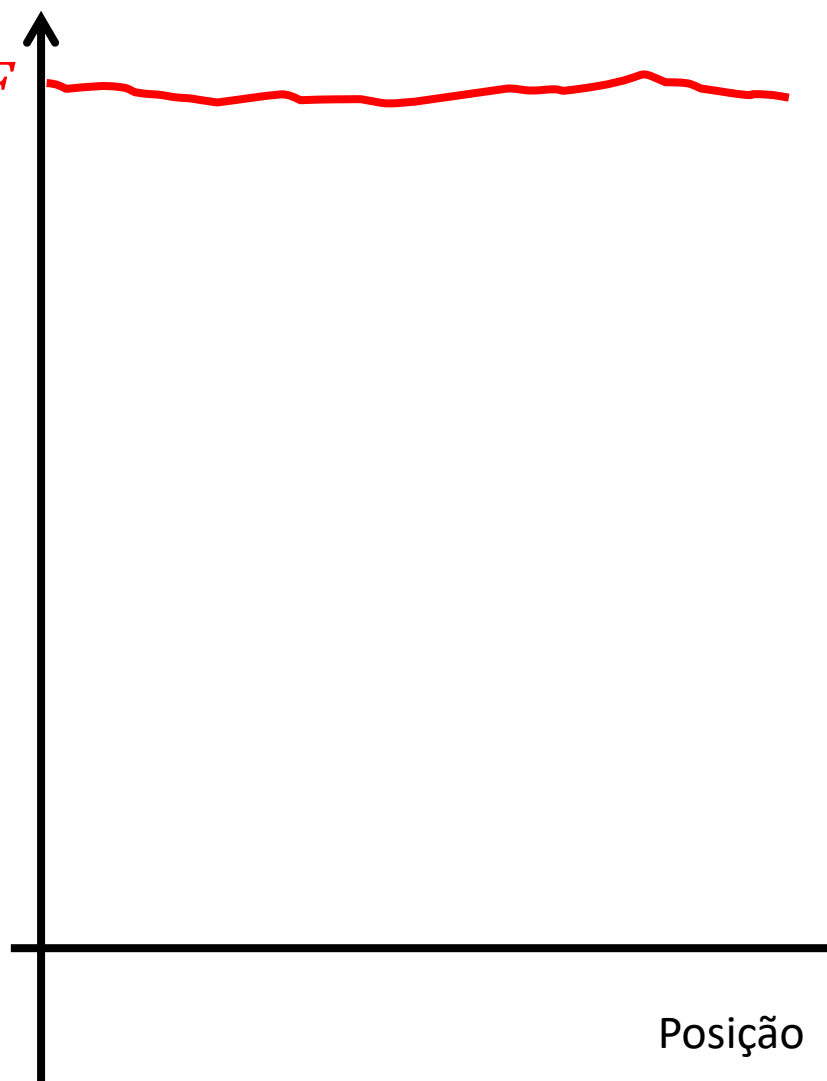
$F$

Norte



Considere que o  
 corpo esteja  
 magnetizado na  
 mesma direção de  $\hat{\mathbf{F}}$

Posição



$$F_i \gg B_i$$

Campo crustal  
 $\mathbf{B}_i = B_i \hat{\mathbf{B}}_i$

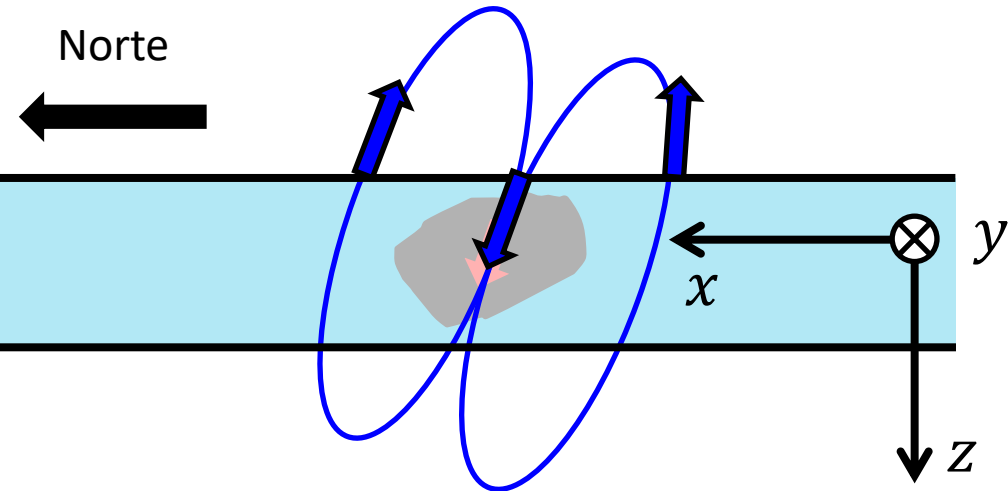
Campo principal

$$\mathbf{F}_i = F_i \hat{\mathbf{F}}_i$$

Amplitude  
 (nT)

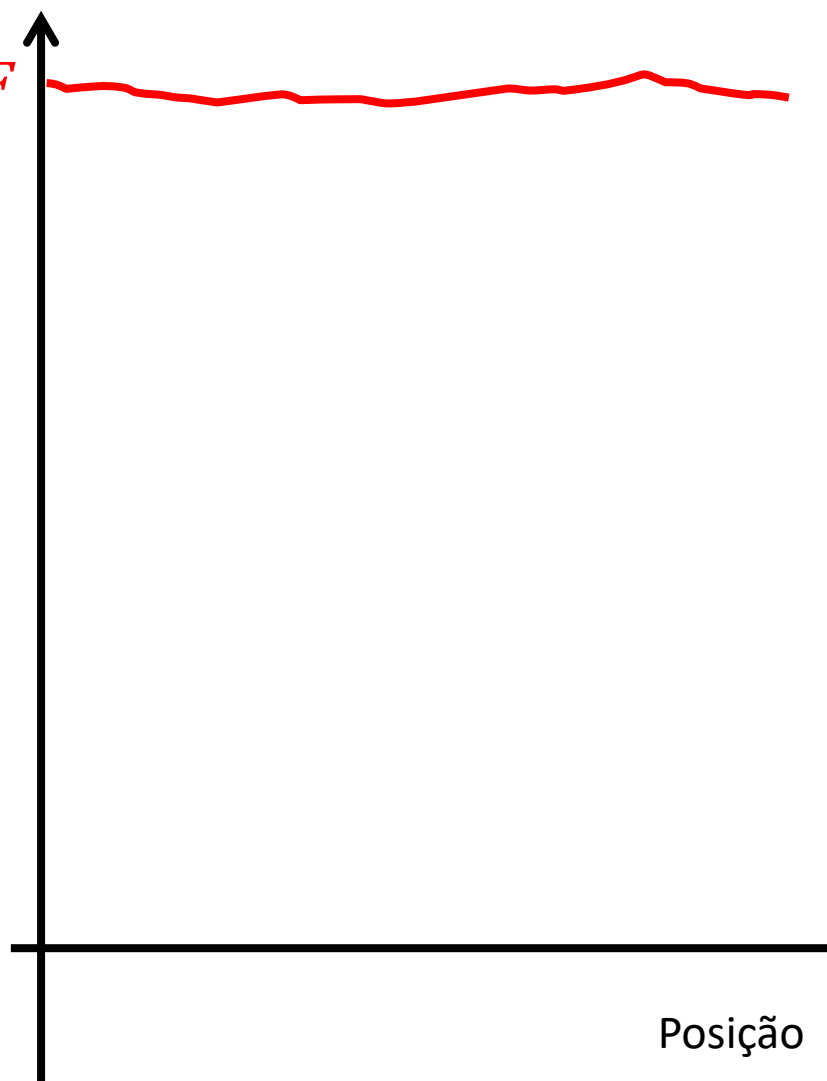
$F$

Norte



Considere que o  
 corpo esteja  
 magnetizado na  
 mesma direção de  $\hat{\mathbf{F}}$

Posição



$$F_i \gg B_i$$

Campo crustal  
 $\mathbf{B}_i = B_i \hat{\mathbf{B}}_i$

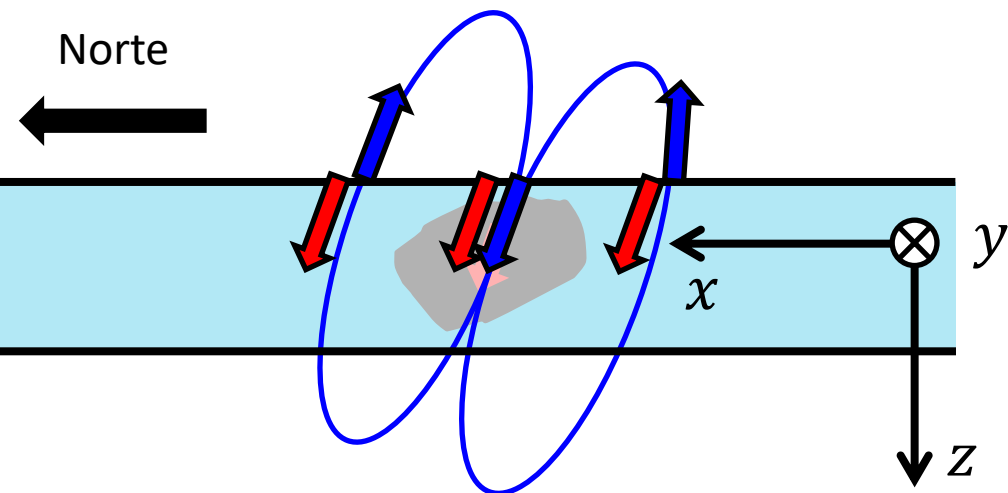
Campo principal

$$\mathbf{F}_i = F_i \hat{\mathbf{F}}_i$$

Amplitude  
 (nT)

$F$

Norte



Considere que o  
 corpo esteja  
 magnetizado na  
 mesma direção de  $\hat{\mathbf{F}}$

Posição

$$F_i \gg B_i$$

Campo crustal  
 $\mathbf{B}_i = B_i \hat{\mathbf{B}}_i$

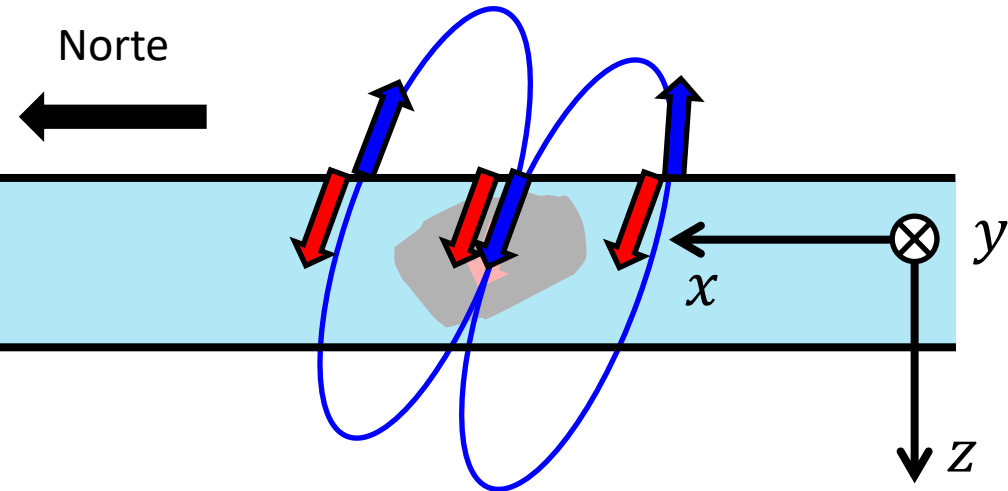
Campo principal

$$\mathbf{F}_i = F_i \hat{\mathbf{F}}_i$$

$$\mathbf{T}_i = \mathbf{F}_i + \mathbf{B}_i$$

Campo total

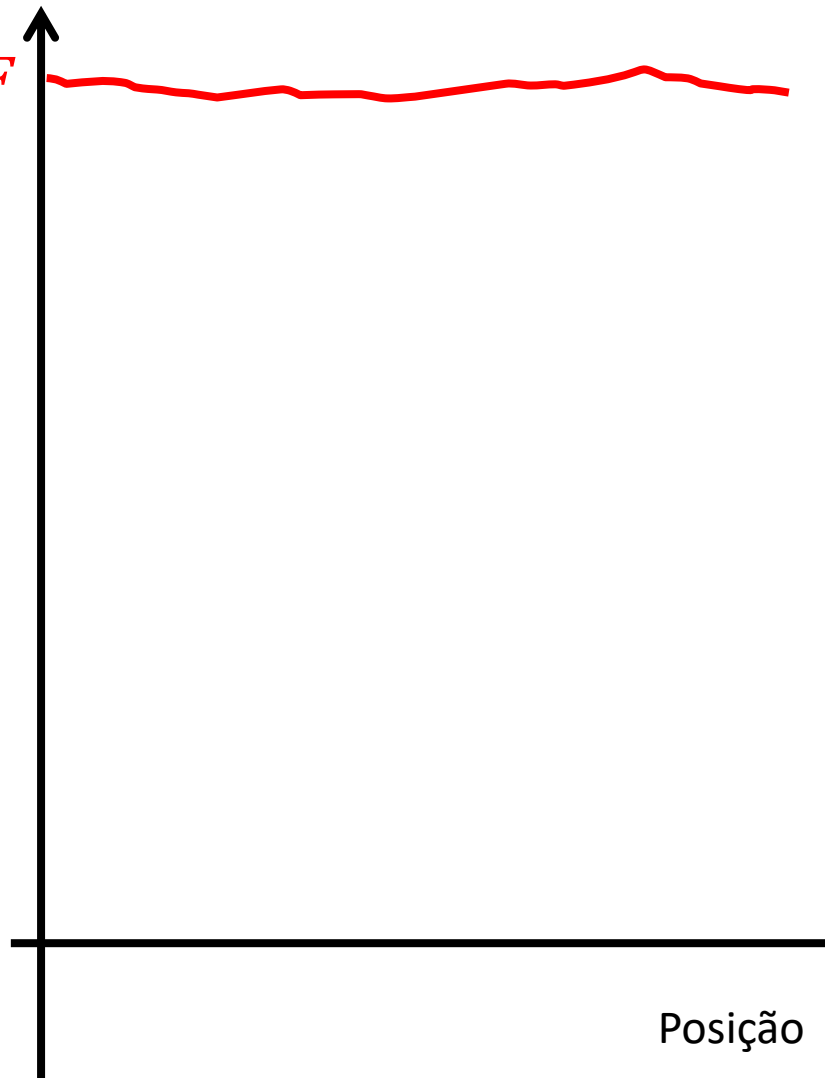
Norte



Considere que o  
 corpo esteja  
 magnetizado na  
 mesma direção de  $\hat{\mathbf{F}}$

Amplitude  
 (nT)

$F$



Posição

$$F_i \gg B_i$$

Campo crustal  
 $\mathbf{B}_i = B_i \hat{\mathbf{B}}_i$

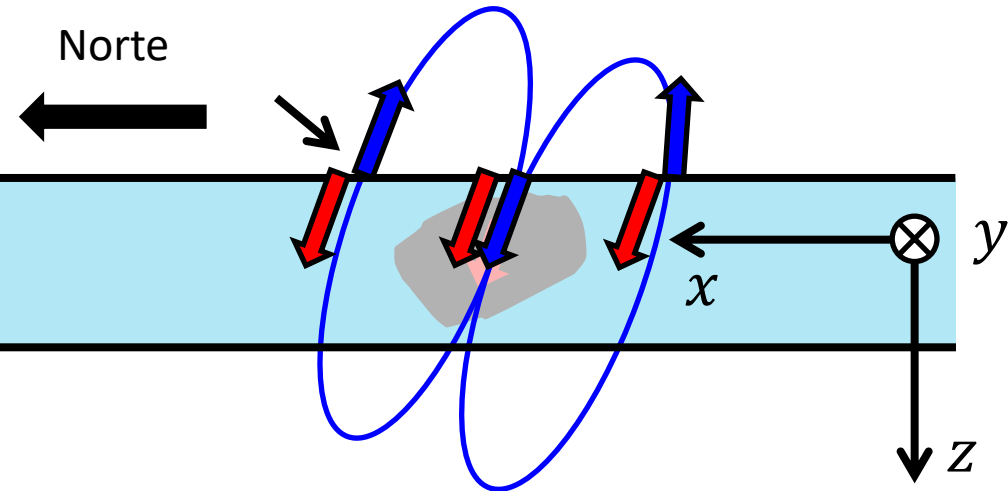
Campo principal

$$\mathbf{F}_i = F_i \hat{\mathbf{F}}_i$$

$$\mathbf{T}_i = \mathbf{F}_i + \mathbf{B}_i$$

Campo total

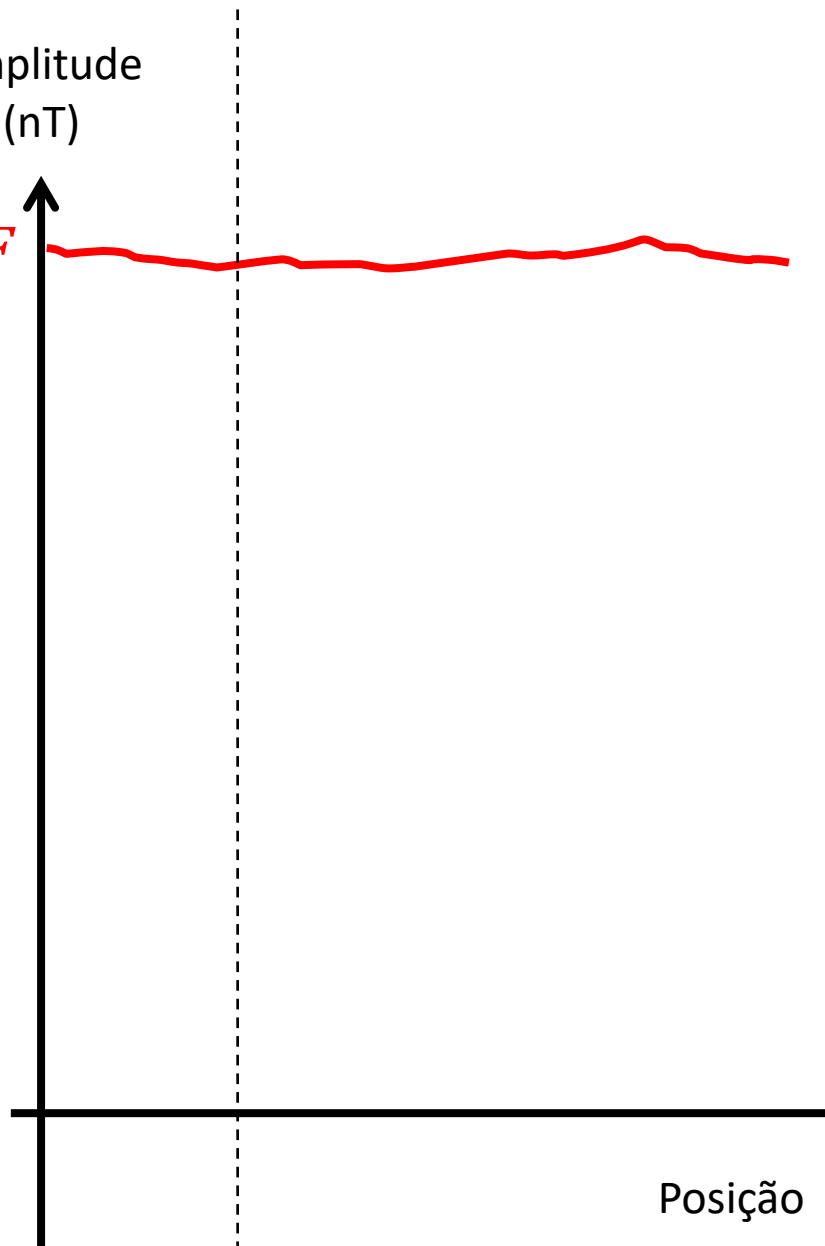
Norte



Considere que o  
 corpo esteja  
 magnetizado na  
 mesma direção de  $\hat{\mathbf{F}}$

Amplitude  
 (nT)

$F$



Posição

$$F_i \gg B_i$$

Campo crustal  
 $\mathbf{B}_i = B_i \hat{\mathbf{B}}_i$

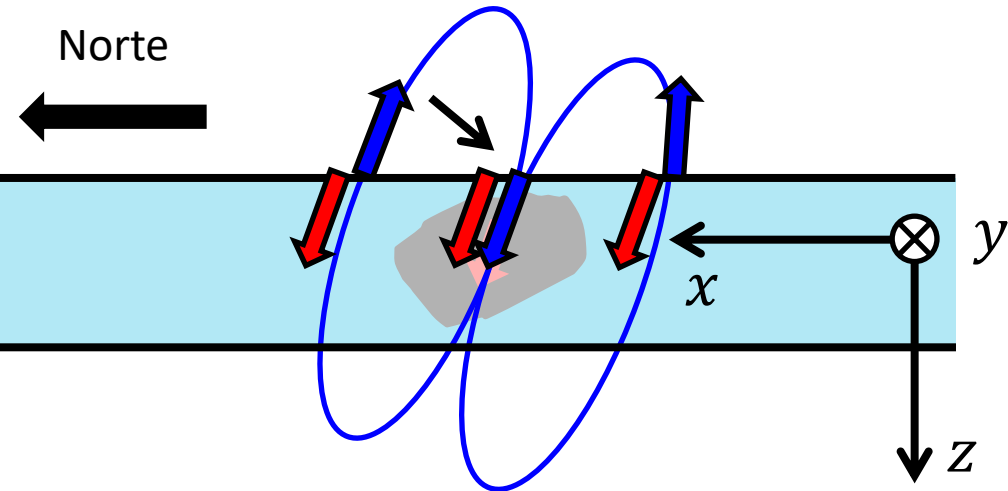
Campo principal

$$\mathbf{F}_i = F_i \hat{\mathbf{F}}_i$$

$$\mathbf{T}_i = \mathbf{F}_i + \mathbf{B}_i$$

Campo total

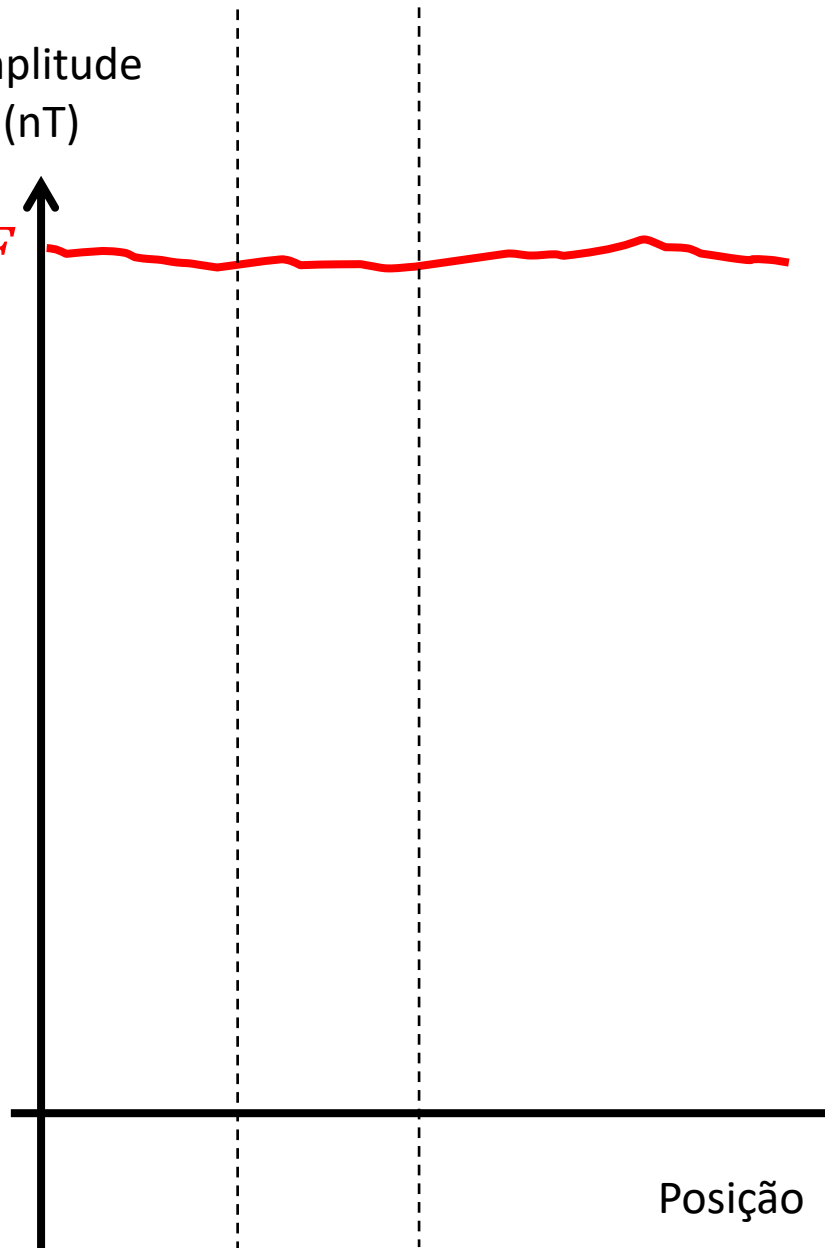
Norte



Considere que o  
 corpo esteja  
 magnetizado na  
 mesma direção de  $\hat{\mathbf{F}}$

Amplitude  
 (nT)

$F$



Posição

$$F_i \gg B_i$$

Campo crustal  
 $\mathbf{B}_i = B_i \hat{\mathbf{B}}_i$

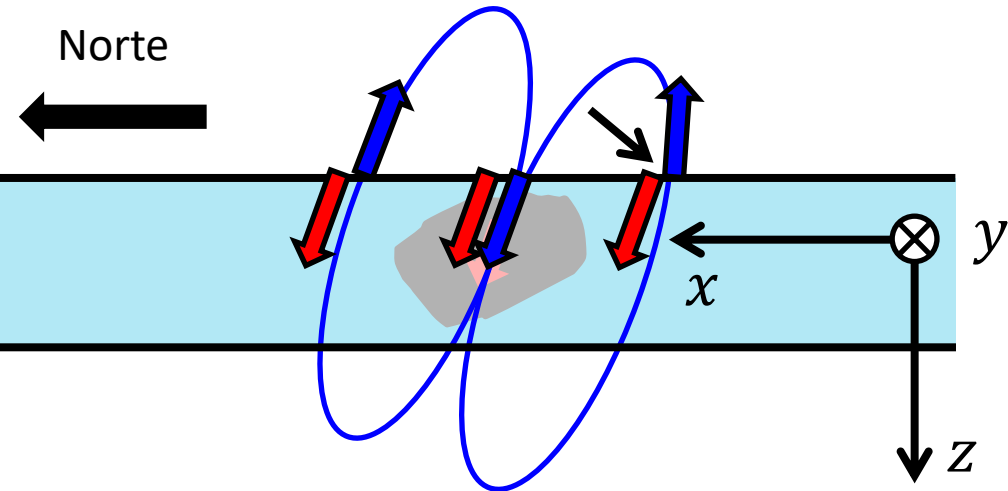
Campo principal

$$\mathbf{F}_i = F_i \hat{\mathbf{F}}_i$$

$$\mathbf{T}_i = \mathbf{F}_i + \mathbf{B}_i$$

Campo total

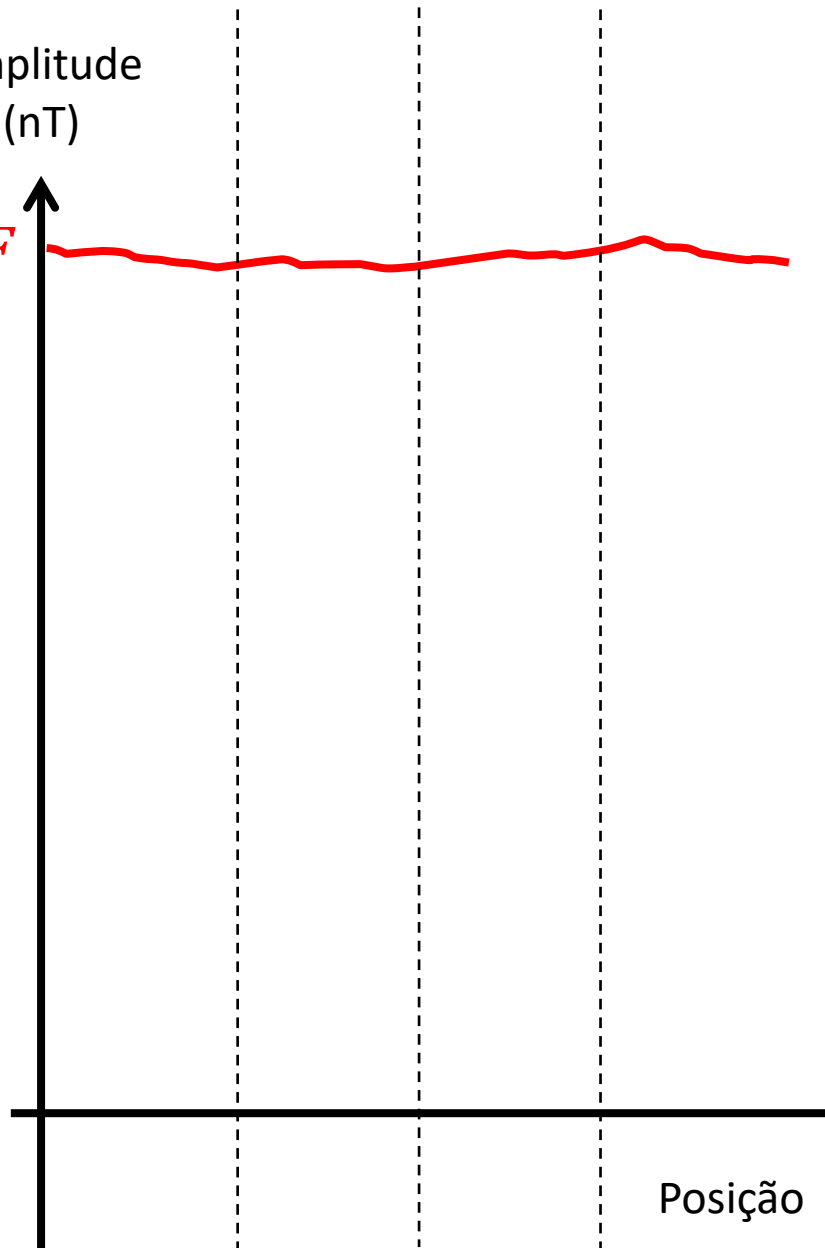
Norte



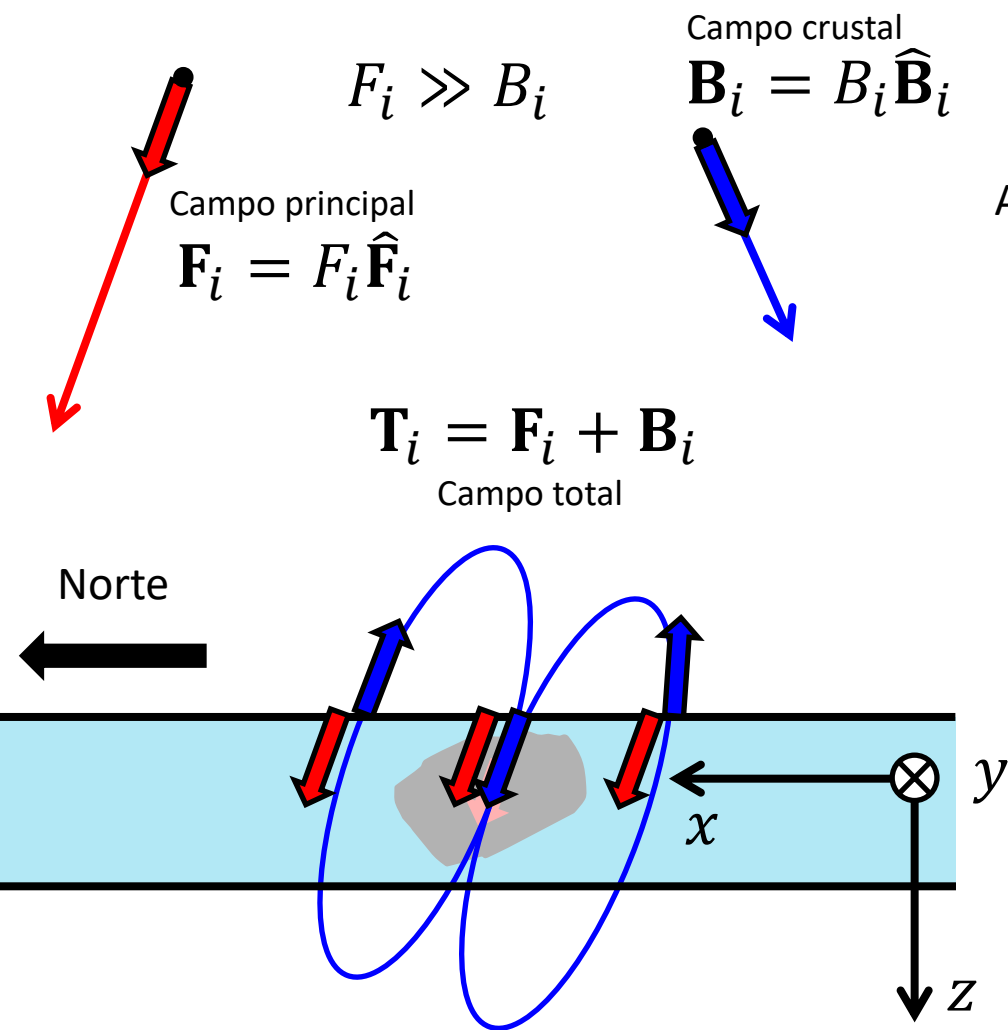
Considere que o  
 corpo esteja  
 magnetizado na  
 mesma direção de  $\hat{\mathbf{F}}$

Amplitude  
 (nT)

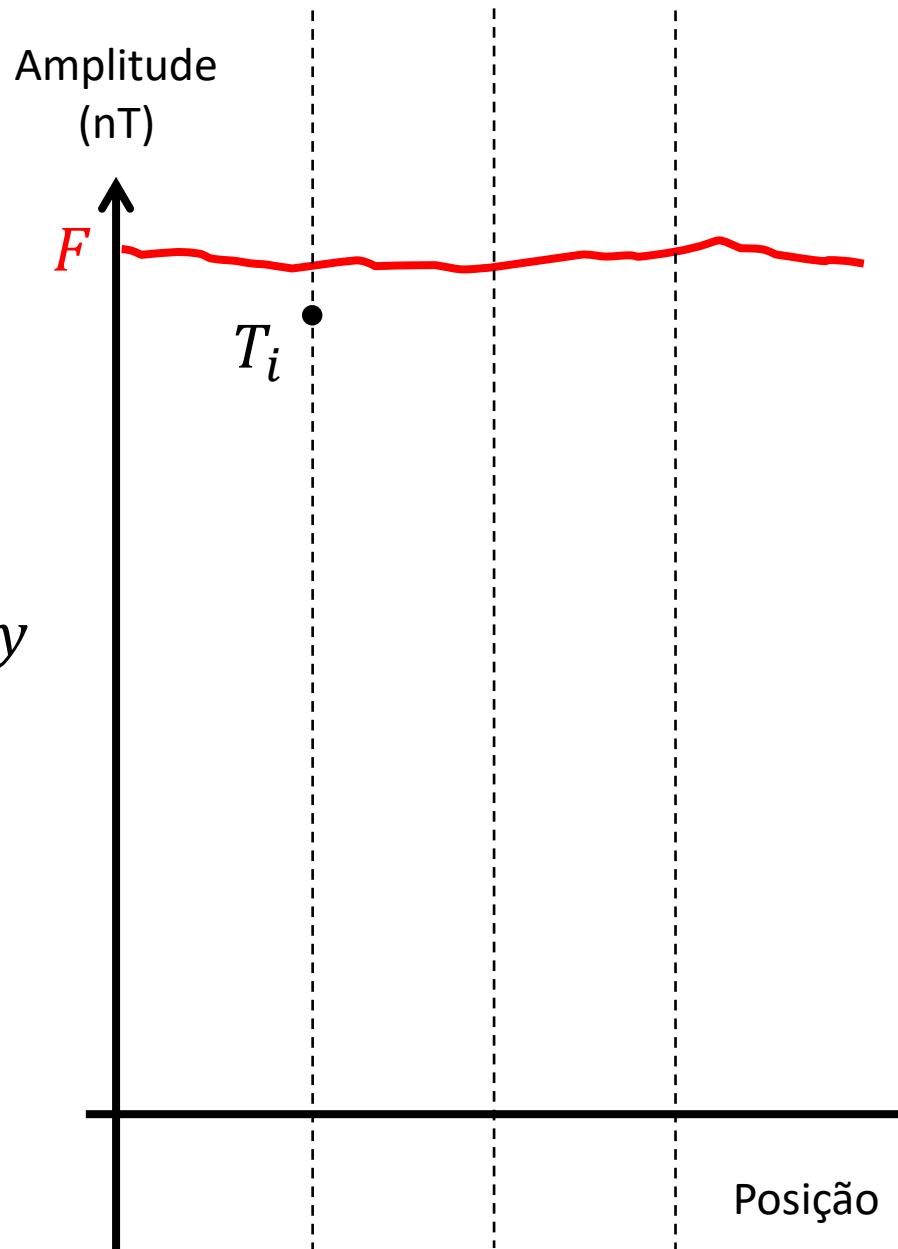
$F$

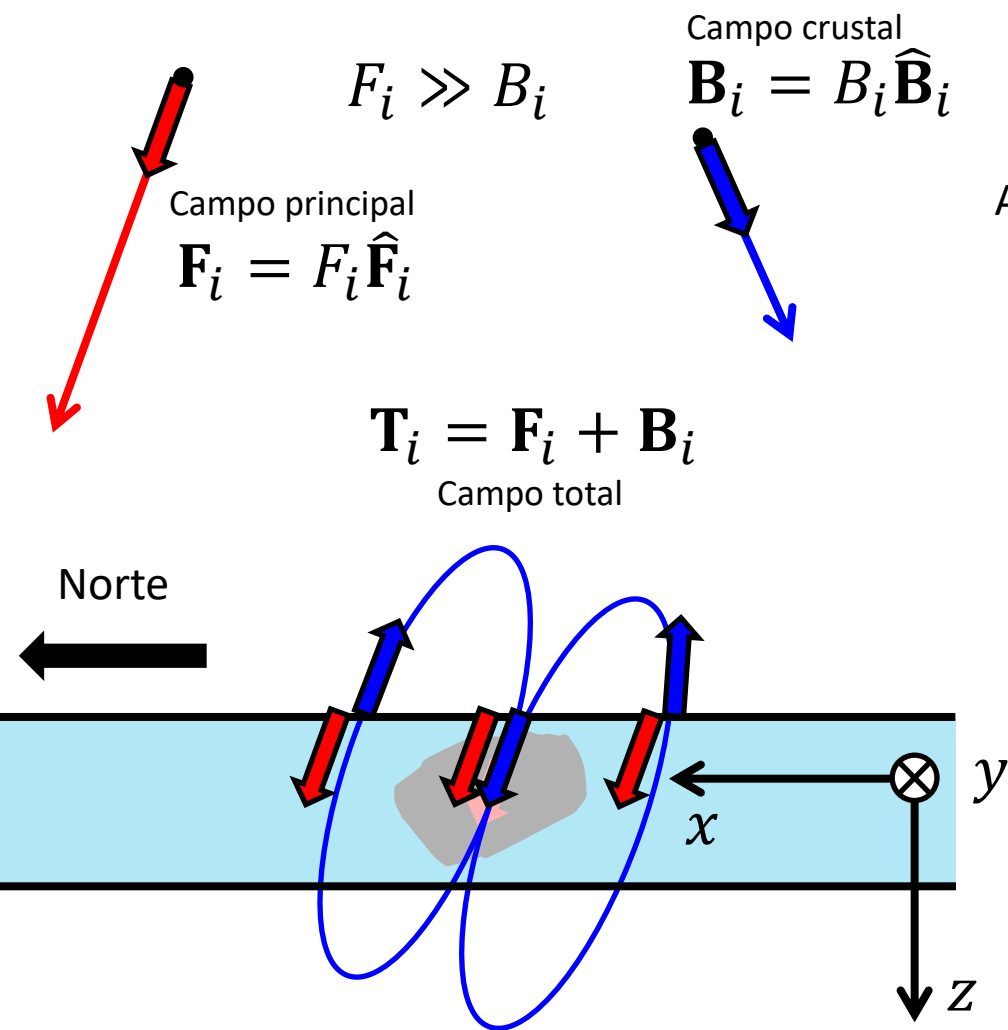




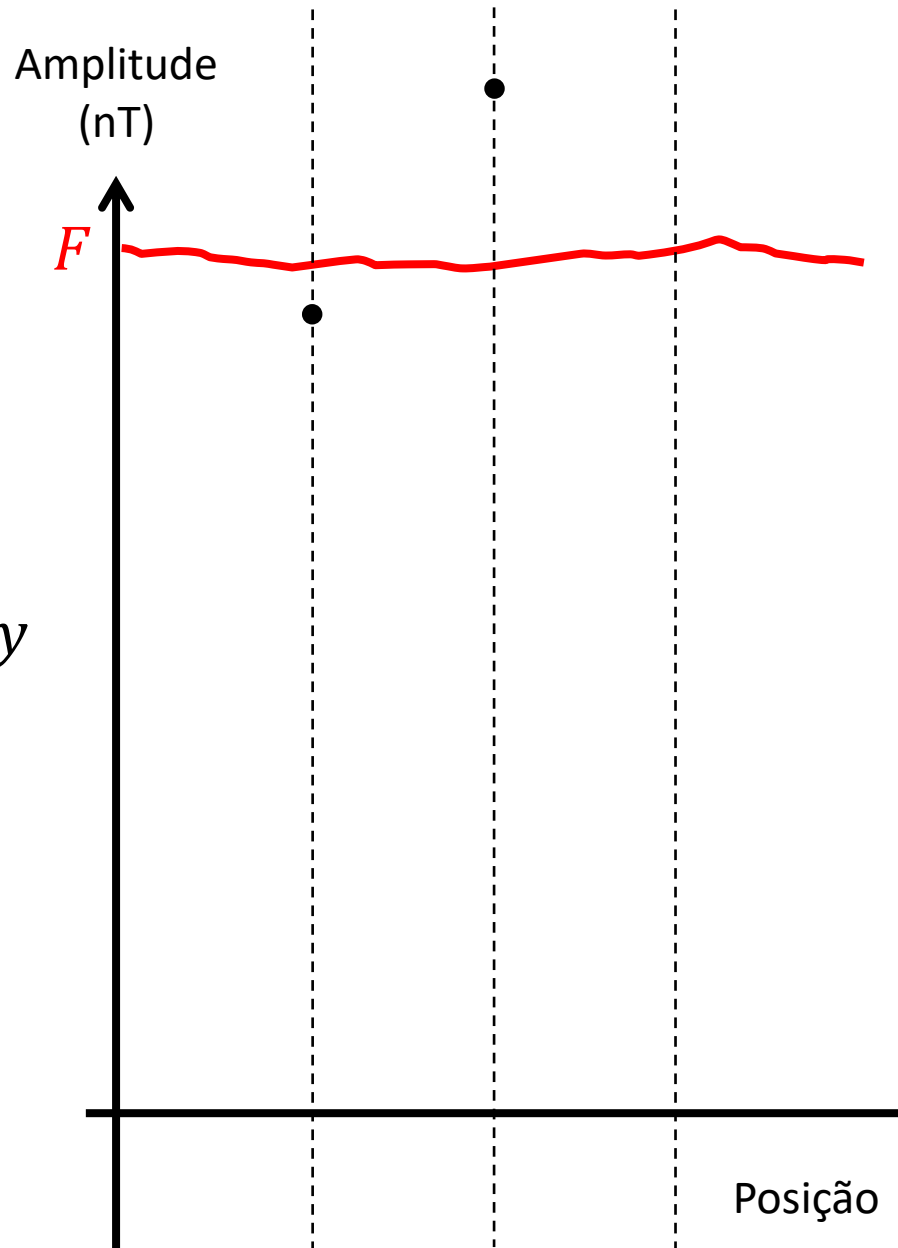


Considere que o corpo esteja magnetizado na mesma direção de  $\hat{\mathbf{F}}$





Considere que o corpo esteja magnetizado na mesma direção de  $\hat{\mathbf{F}}$



$$F_i \gg B_i$$

Campo crustal  
 $\mathbf{B}_i = B_i \hat{\mathbf{B}}_i$

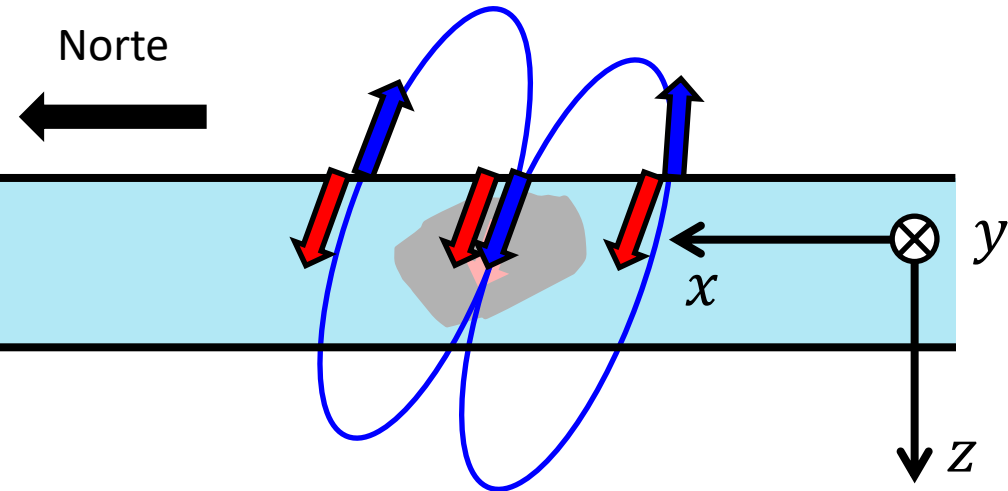
Campo principal

$$\mathbf{F}_i = F_i \hat{\mathbf{F}}_i$$

$$\mathbf{T}_i = \mathbf{F}_i + \mathbf{B}_i$$

Campo total

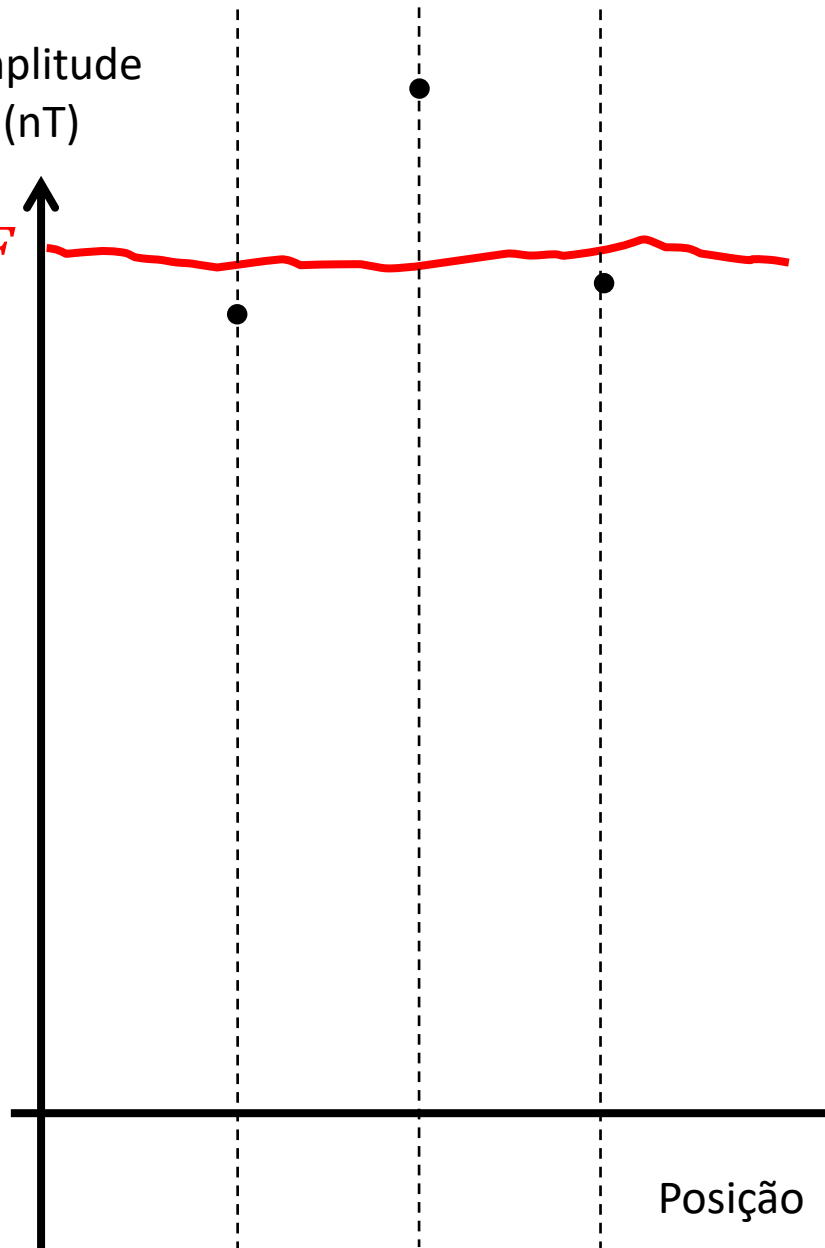
Norte



Considere que o  
 corpo esteja  
 magnetizado na  
 mesma direção de  $\hat{\mathbf{F}}$

Amplitude  
 (nT)

$F$



$$F_i \gg B_i$$

Campo crustal  
 $\mathbf{B}_i = B_i \hat{\mathbf{B}}_i$

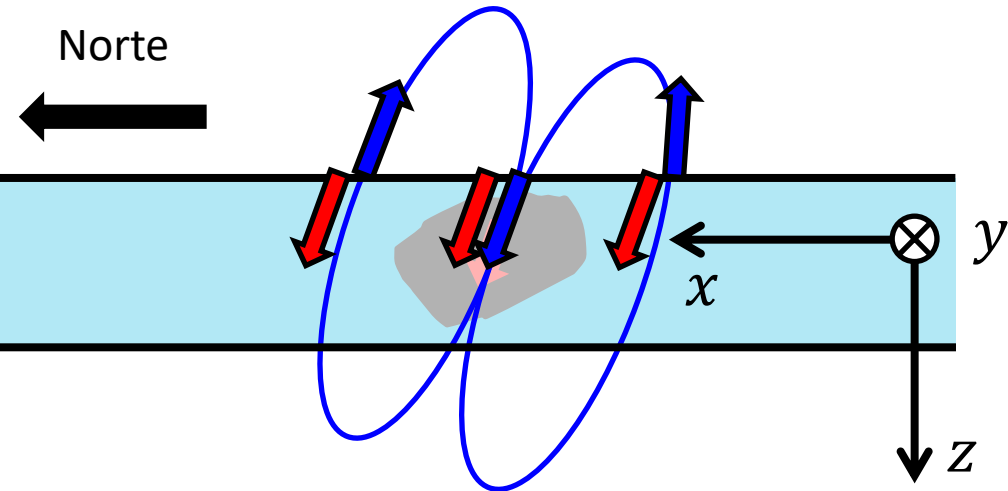
Campo principal

$$\mathbf{F}_i = F_i \hat{\mathbf{F}}_i$$

$$\mathbf{T}_i = \mathbf{F}_i + \mathbf{B}_i$$

Campo total

Norte



Considere que o  
 corpo esteja  
 magnetizado na  
 mesma direção de  $\hat{\mathbf{F}}$

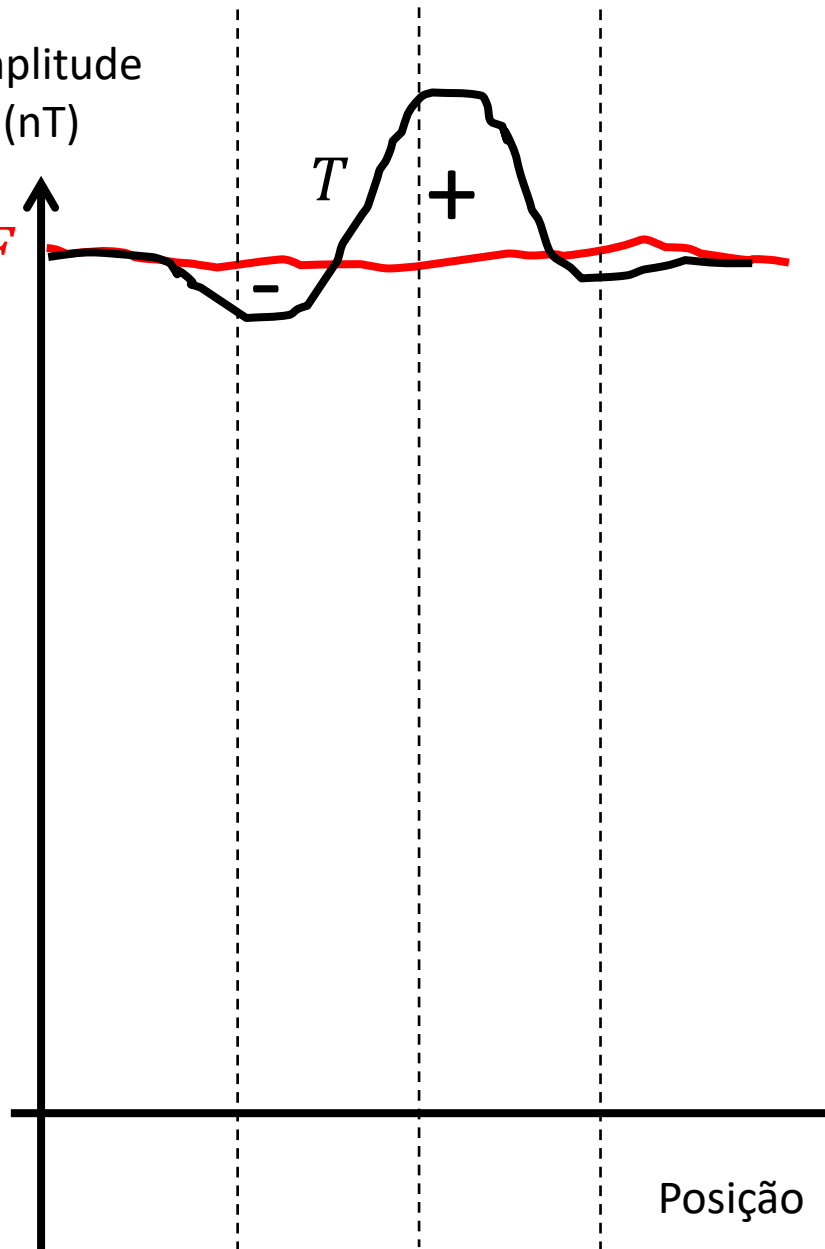
Amplitude  
 (nT)

$F$

$T$

+

-



Posição

$$F_i \gg B_i$$

Campo crustal  
 $\mathbf{B}_i = B_i \hat{\mathbf{B}}_i$

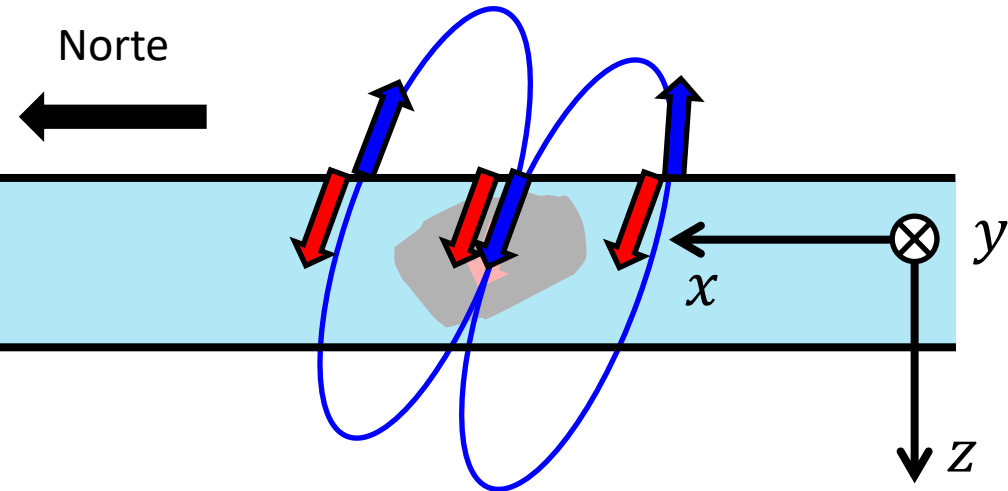
Campo principal

$$\mathbf{F}_i = F_i \hat{\mathbf{F}}_i$$

$$\mathbf{T}_i = \mathbf{F}_i + \mathbf{B}_i$$

Campo total

Norte



$$\Delta T_i = T_i - F_i$$

Anomalia de campo total

Diferença entre a  
 amplitude do campo  
 total e a amplitude  
 do campo principal  
 no mesmo ponto

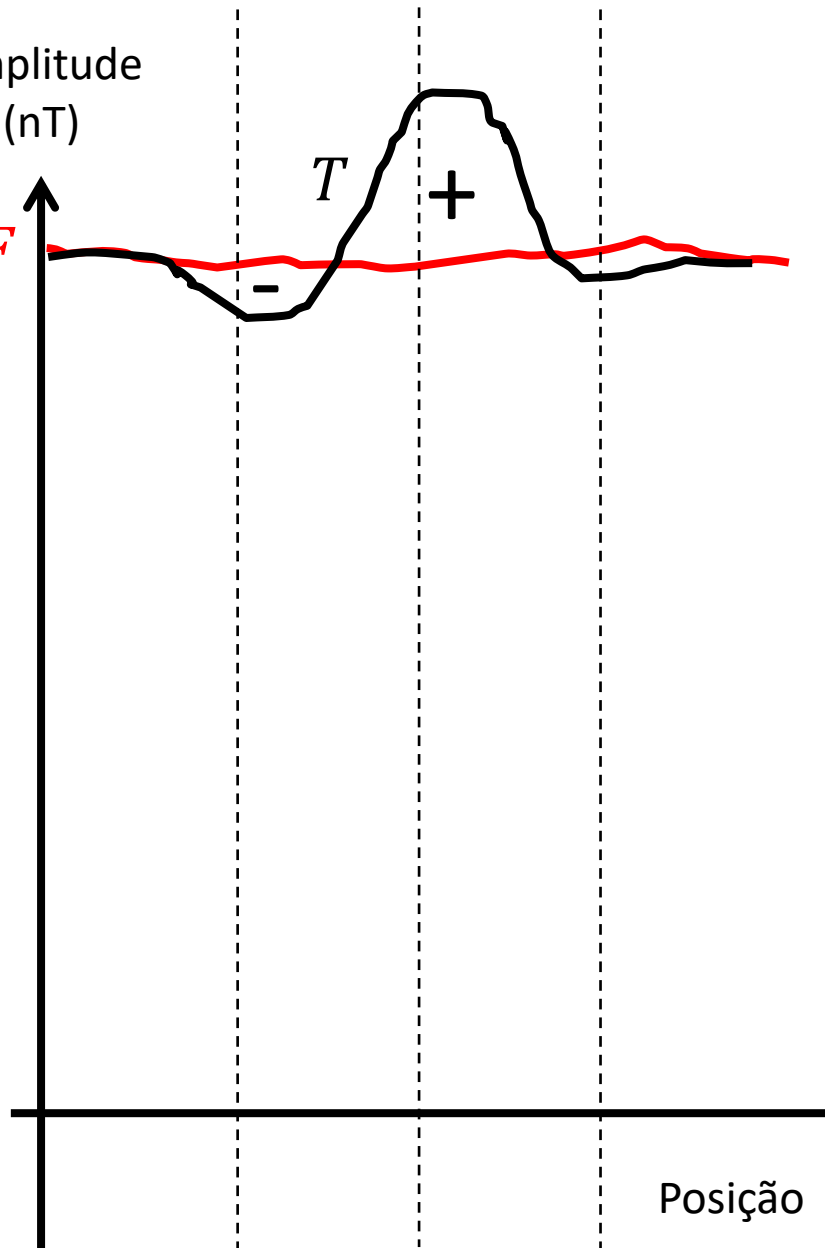
Amplitude  
 (nT)

$F$

$T$

+

-



Posição

$$F_i \gg B_i$$

Campo crustal  
 $\mathbf{B}_i = B_i \hat{\mathbf{B}}_i$

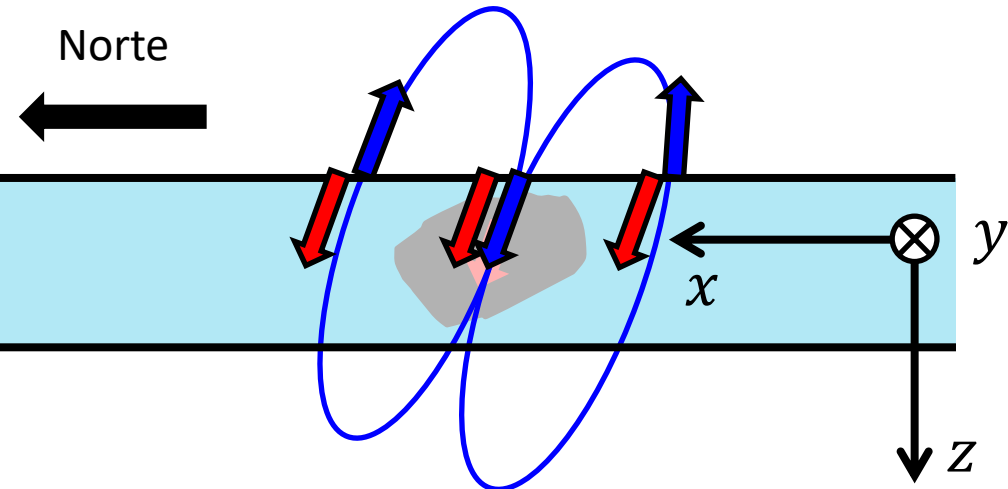
Campo principal

$$\mathbf{F}_i = F_i \hat{\mathbf{F}}_i$$

$$\mathbf{T}_i = \mathbf{F}_i + \mathbf{B}_i$$

Campo total

Norte

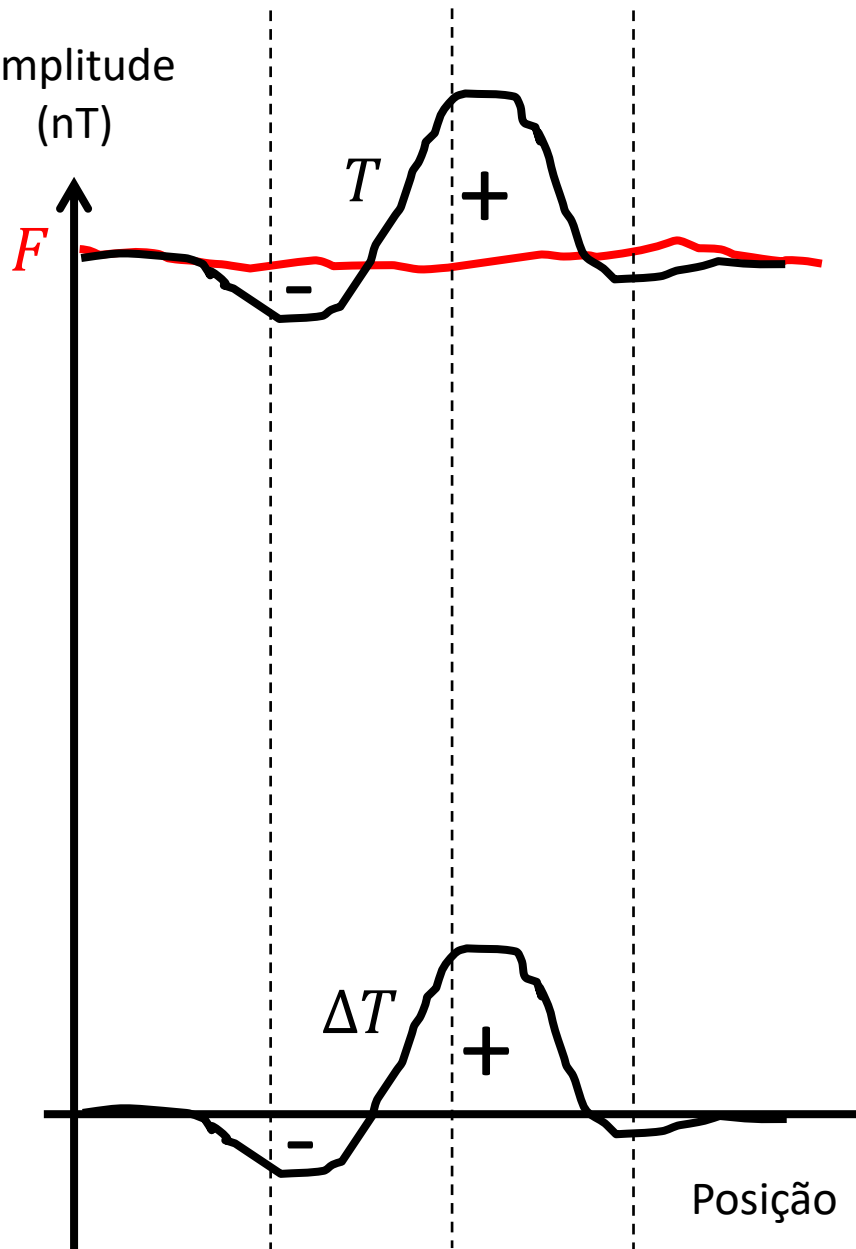


$$\Delta T_i = T_i - F_i$$

Anomalia de campo total

Diferença entre a  
 amplitude do campo  
 total e a amplitude  
 do campo principal  
 no mesmo ponto

Amplitude  
 (nT)



$$F_i \gg B_i$$

Campo crustal  
 $\mathbf{B}_i = B_i \hat{\mathbf{B}}_i$

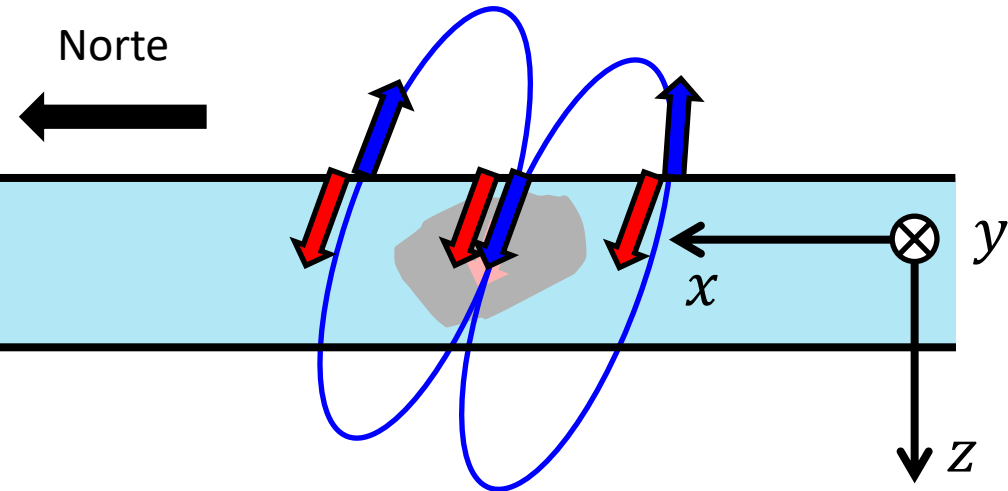
Campo principal

$$\mathbf{F}_i = F_i \hat{\mathbf{F}}_i$$

$$\mathbf{T}_i = \mathbf{F}_i + \mathbf{B}_i$$

Campo total

Norte



$$\Delta T_i = T_i - F_i$$

Anomalia de campo total

Observe que esta  
 representação  
 esquemática foi feita  
 considerando que o  
 corpo está magnetizado  
 na mesma direção de  $\hat{\mathbf{F}}_i$

Amplitude  
 (nT)

$F$

$T$

+

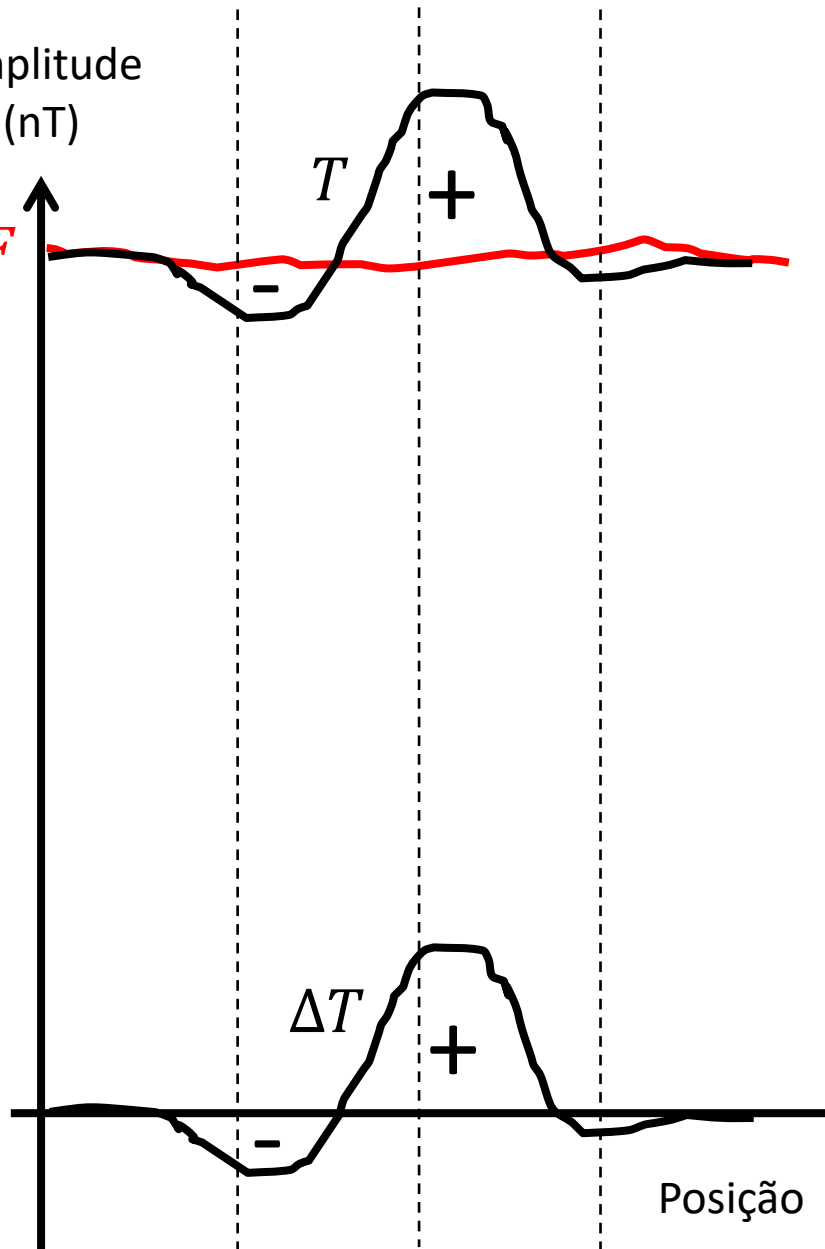
-

$\Delta T$

+

-

Posição



$$F_i \gg B_i$$

Campo crustal  
 $\mathbf{B}_i = B_i \hat{\mathbf{B}}_i$

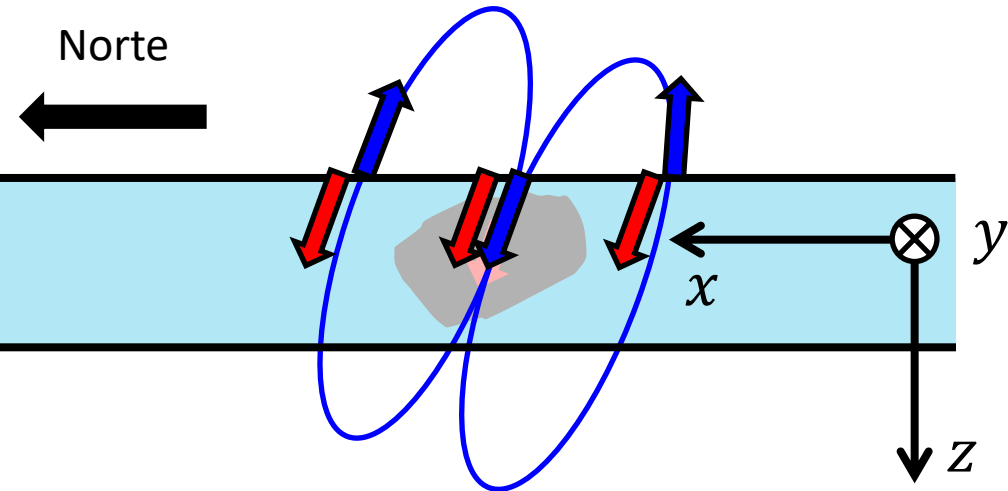
Campo principal

$$\mathbf{F}_i = F_i \hat{\mathbf{F}}_i$$

$$\mathbf{T}_i = \mathbf{F}_i + \mathbf{B}_i$$

Campo total

Norte



$$\Delta T_i = T_i - F_i$$

Anomalia de campo total

Além disso, é importante lembrar que este exemplo representa um corpo localizado no **hemisfério norte**

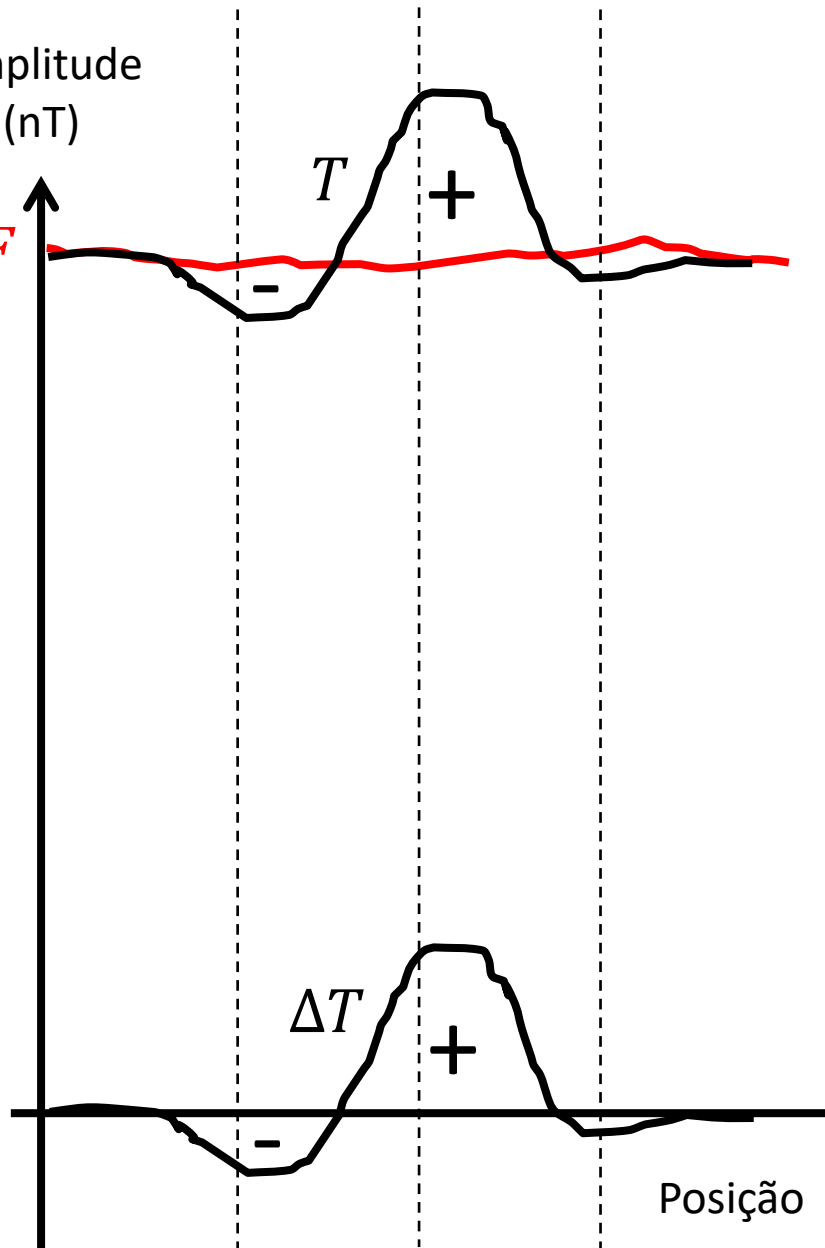
Amplitude  
(nT)

$F$

$T$

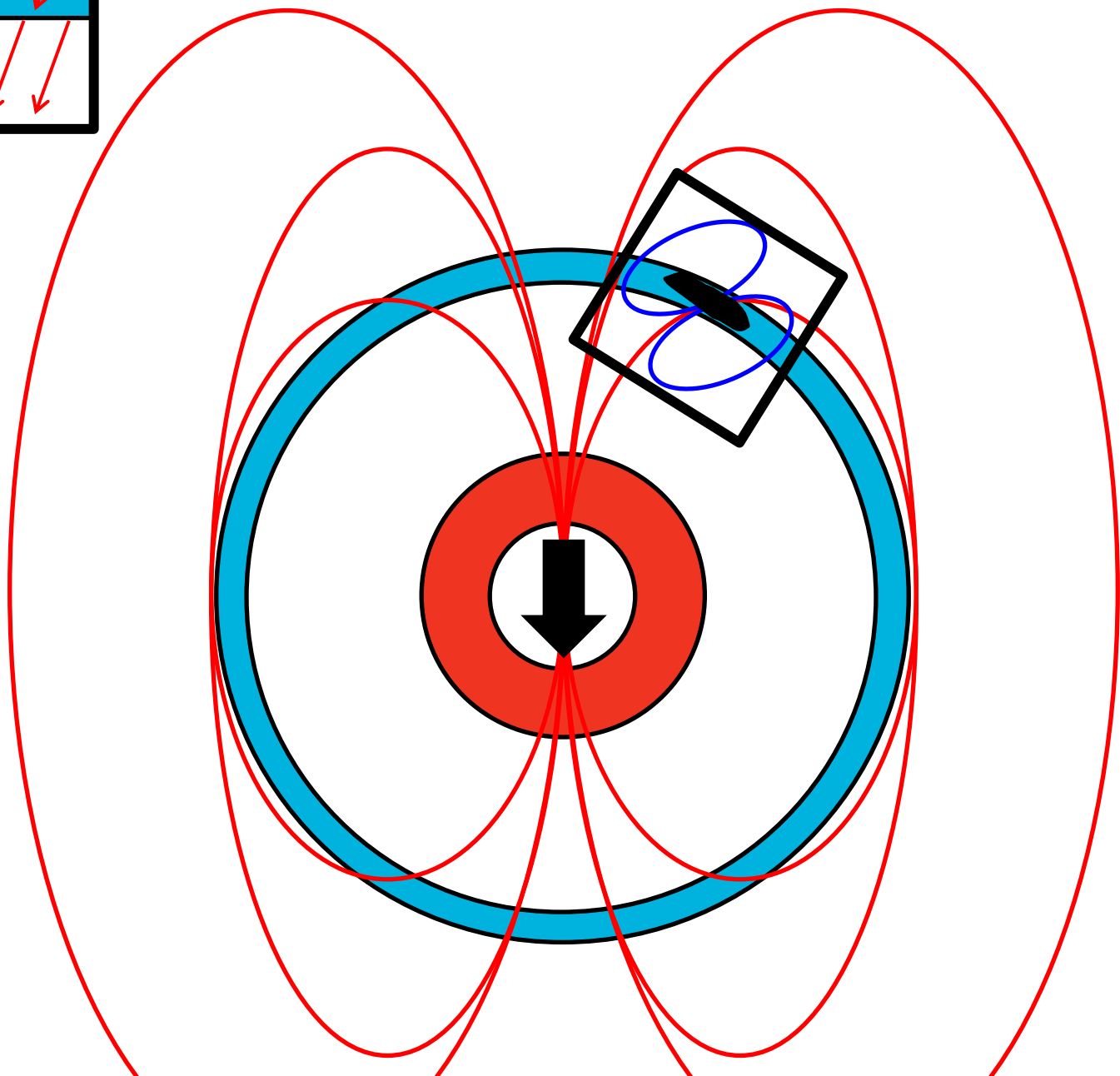
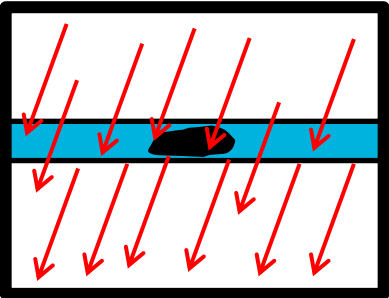
+

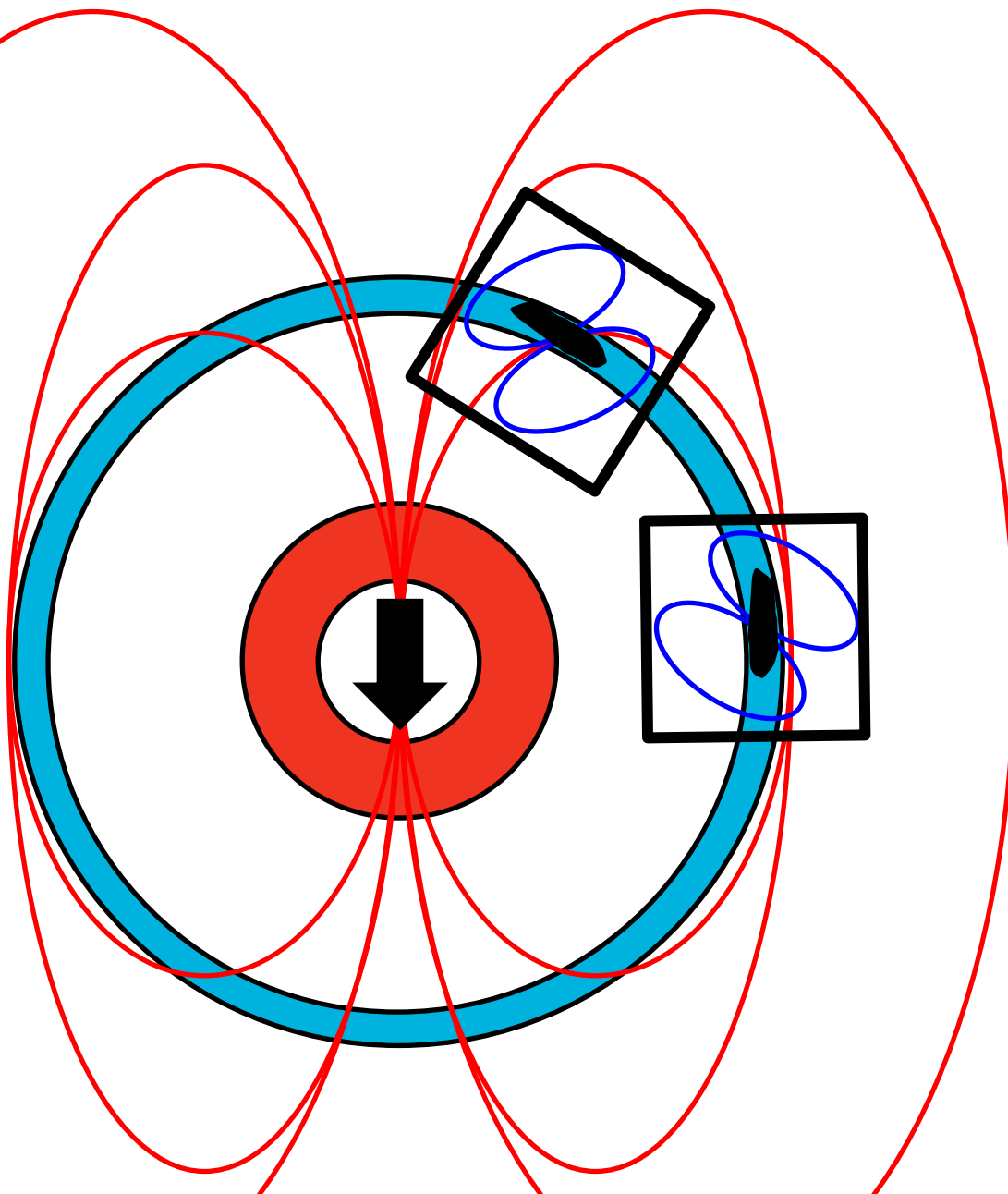
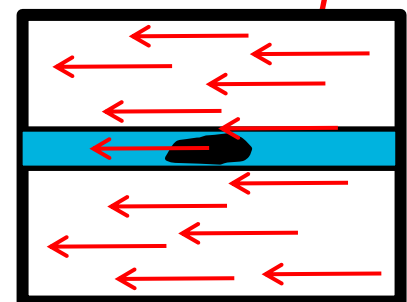
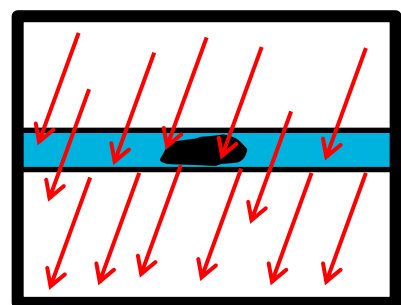
-

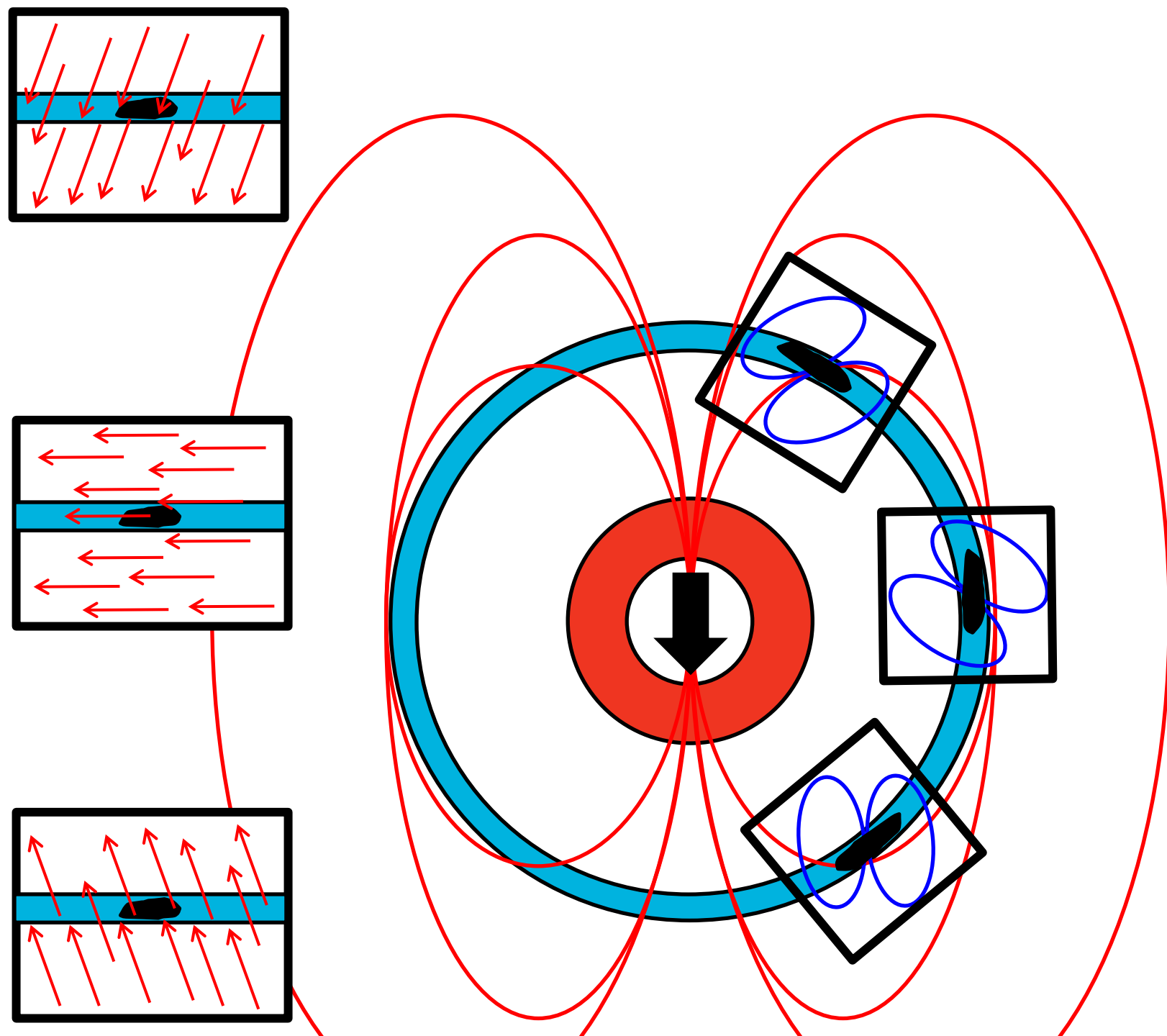


Posição

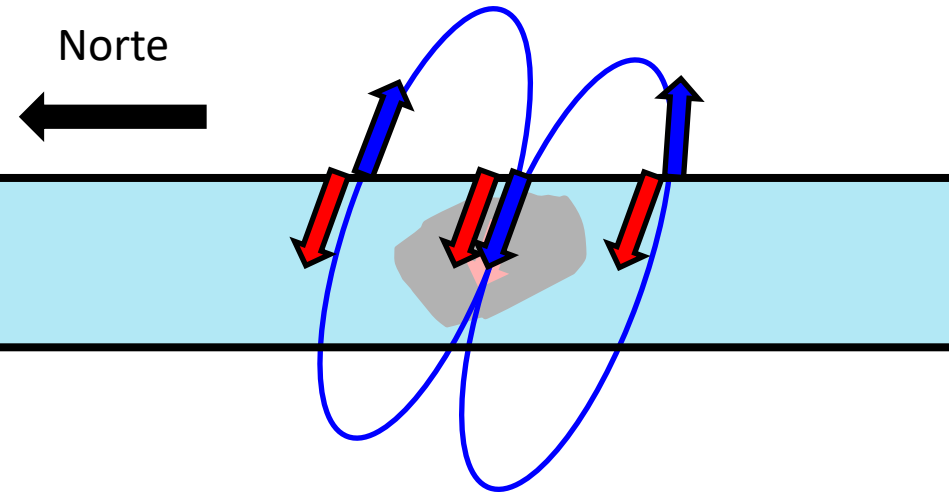
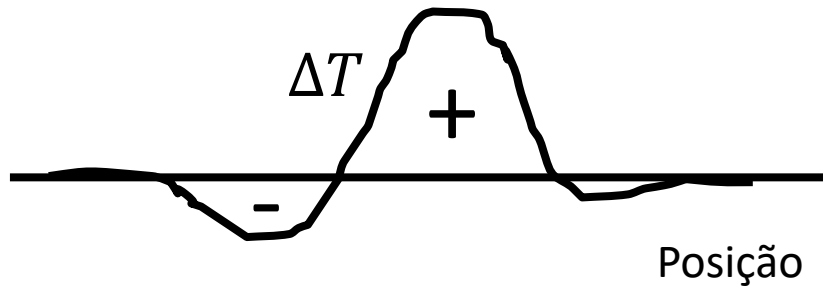




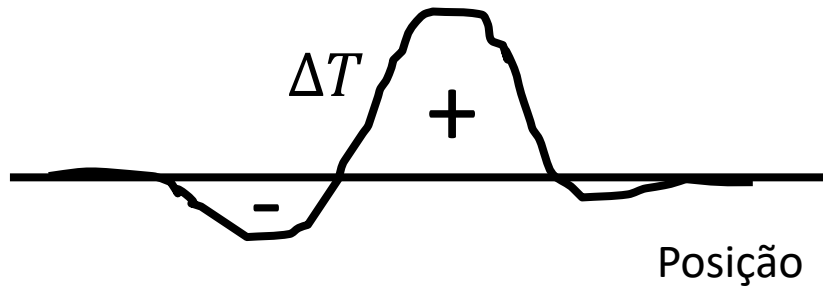




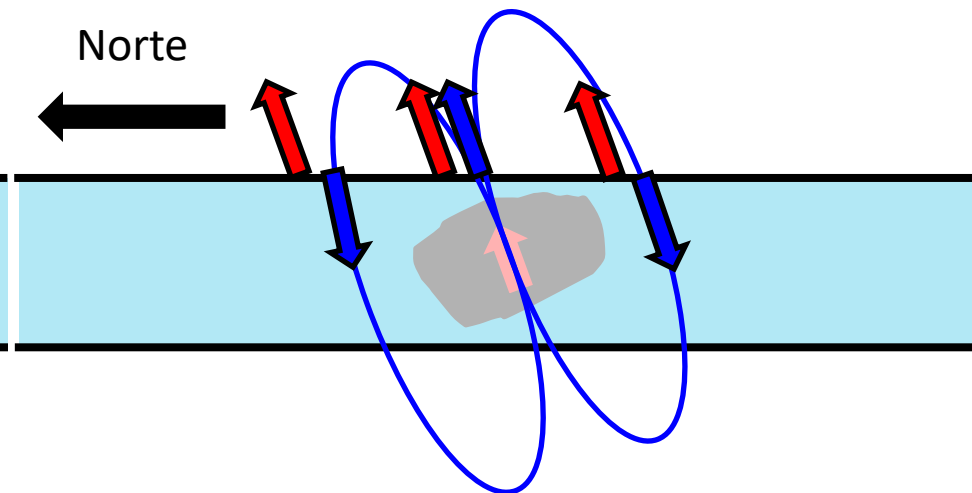
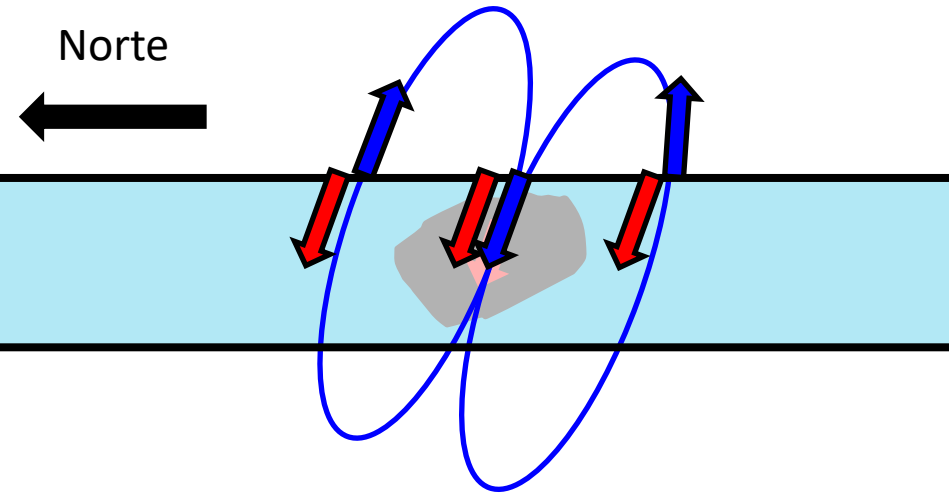
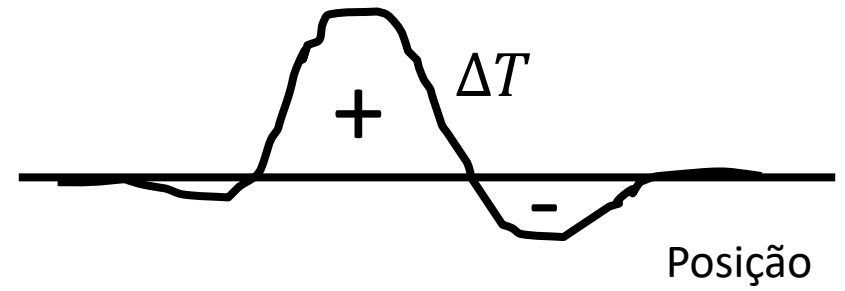
Hemisfério norte



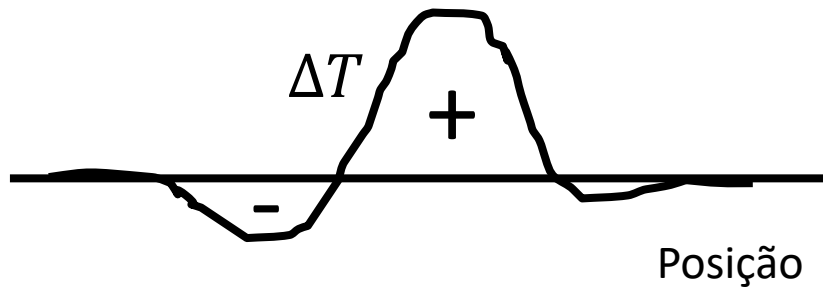
Hemisfério norte



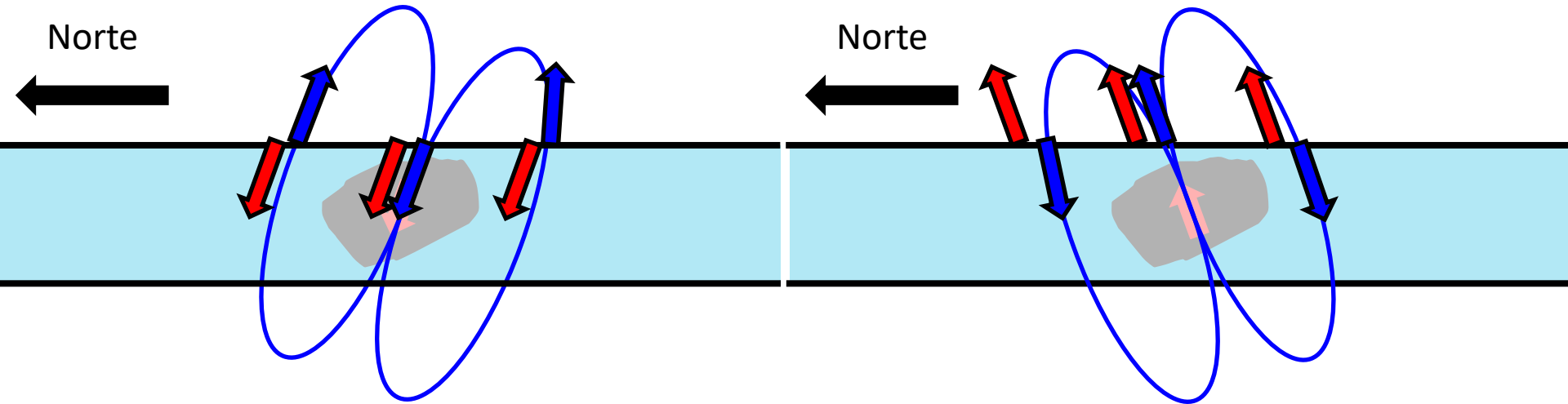
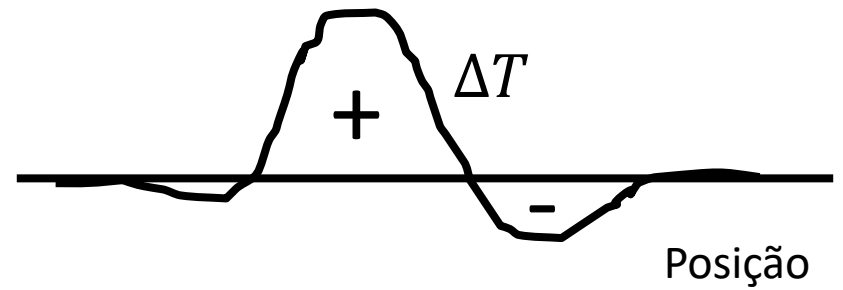
Hemisfério sul



Hemisfério norte

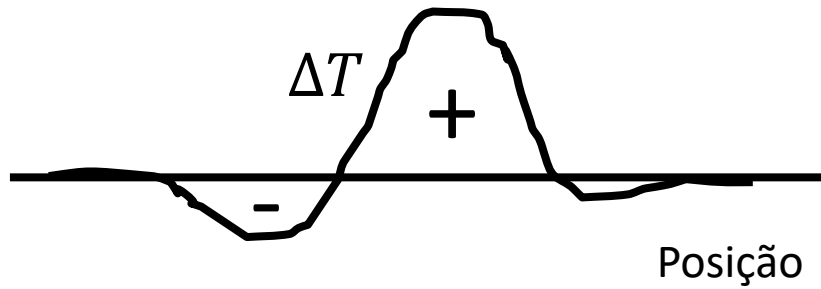


Hemisfério sul

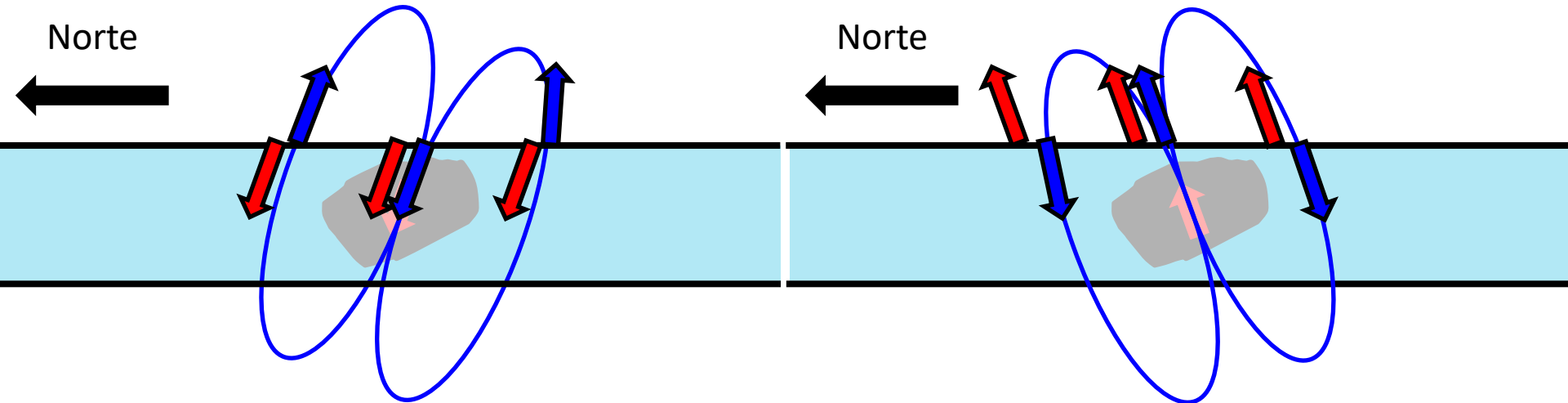
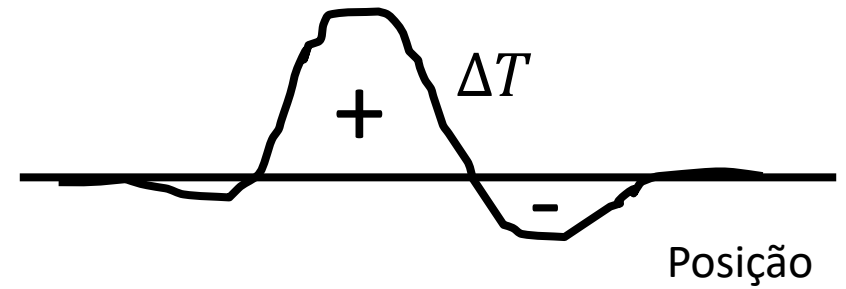


Este padrão é válido apenas para anomalias de campo total produzidas por corpos com magnetização na mesma direção do campo principal

Hemisfério norte



Hemisfério sul



Como seria a anomalia de campo total produzida por um corpo localizado no polo norte e com magnetização na mesma direção do campo principal?  
E se o corpo estivesse no polo sul?

# Referências

- Blakely, R. J., 1996, Potential theory in gravity and magnetic applications: Cambridge University Press.
- Hulot, G., Sabaka, T., Olsen, N., e Fournier, A., 2015, 5.02 - the present and future geomagnetic field, *in* Treatise on Geophysics, second edition ed.: Elsevier, 33-78. doi: 10.1016/B978-0-444-53802-4.00096-8.
- Langel, R. A., e Hinze, W. J., 1998, The magnetic field of the earth's lithosphere: The satellite perspective: Cambridge University Press.
- Nabighian, M. N., Grauch, V. J. S., Hansen, R. O., LaFehr, T. R., Li, Y., Peirce, J. W., Phillips, J. D., e Ruder, M. E., 2005, The historical development of the magnetic method in exploration: GEOPHYSICS, 70, 33ND-61ND.